

**ZÁPADOČESKÁ UNIVERZITA V PLZNI**  
**FAKULTA STROJNÍ**

Studijní program: B 2341 Strojírenství

Studijní zaměření: Programování NC strojů

**BAKALÁŘSKÁ PRÁCE**

Studie návrhu frézovacího nástroje v CAD/CAM systému

Autor: **Radek Veselý**

Vedoucí práce: **doc. Ing. Jiří Česánek, Ph.D.**

Akademický rok 2014/2015

## **Prohlášení o autorství**

Předkládám tímto k posouzení a obhajobě bakalářskou práci, zpracovanou na závěr studia na Fakultě strojní Západočeské univerzity v Plzni.

Prohlašuji, že jsem tuto bakalářskou práci vypracoval samostatně, s použitím odborné literatury a pramenů, uvedených v seznamu, který je součástí této bakalářské práce.

V Plzni dne: .....

podpis autora

## **Poděkování**

Chtěl bych poděkovat panu doc. Ing. Jiřímu Česánskovi, Ph.D. za odborné vedení práce a cenné rady, které mi pomohly tuto práci zkompletovat.

# ANOTAČNÍ LIST BAKALÁŘSKÉ PRÁCE

<b>AUTOR</b>	Příjmení Veselý	Jméno Radek	
<b>STUDIJNÍ OBOR</b>	B2341 - Programování NC strojů		
<b>VEDOUCÍ PRÁCE</b>	Příjmení (včetně titulu) doc. Ing. Česánek, Ph.D.	Jméno Jiří	
<b>PRACOVÍSTĚ</b>	ZČU - FST - KTO		
<b>DRUH PRÁCE</b>	<b>DIPLOMOVÁ</b>	<b>BAKALÁŘSKÁ</b>	<b>Nehodící se škrtněte</b>
<b>NÁZEV PRÁCE</b>	Studie návrhu frézovacího nástroje v CAD/CAM systému		

<b>FAKULTA</b>	strojní	<b>KATEDRA</b>	KTO	<b>ROK ODEVZD.</b>	2015
----------------	---------	----------------	-----	--------------------	------

## POČET STRAN (A4 a ekvivalentů A4)

<b>CELKEM</b>	37	<b>TEXTOVÁ ČÁST</b>	27	<b>GRAFICKÁ ČÁST</b>	10
---------------	----	---------------------	----	----------------------	----

<b>STRUČNÝ POPIS (MAX 10 ŘÁDEK)</b>  <b>ZAMĚŘENÍ, TÉMA, CÍL POZNATKY A PŘÍNOSY</b>	Tato práce obsahuje návrh kulové frézy pro vyměnitelnou břitovou destičku z řezné keramiky. Jsou zde studie konstrukční možnosti nástrojů s mechanicky upnutou řeznou destičkou a dále návrh opracování navrhovaného nástroje. Cílem je studie a aplikování moderních technologií v oblasti obrábění.
<b>KLÍČOVÁ SLOVA</b>  <b>ZPRAVIDLA JEDNOSLOVNÉ POJMY, KTERÉ VYSTIHUJÍ PODSTATU PRÁCE</b>	Vyměnitelná břitová destička, CAD/CAM systém, CNC stroj, řezné materiály, řezná keramika, kulová fréza, frézování.

## SUMMARY OF DIPLOMA (BACHELOR) SHEET

<b>AUTHOR</b>	Surname Veselý		Name Radek
<b>FIELD OF STUDY</b>	B2341 – Programming of NC machines		
<b>SUPERVISOR</b>	Surname (Inclusive of Degrees) doc. Ing. Česánek, Ph.D.		Name Jiří
<b>INSTITUTION</b>	ZČU - FST - KTO		
<b>TYPE OF WORK</b>	<b>DIPLOMA</b>	<b>BACHELOR</b>	<b>Delete when not applicable</b>
<b>TITLE OF THE WORK</b>	The design study of the milling tool in the CAD / CAM system		

<b>FACULTY</b>	Mechanical Engineering	<b>DEPARTMENT</b>	Machining Technology	<b>SUBMITTED IN</b>	2015
----------------	------------------------	-------------------	----------------------	---------------------	------

### NUMBER OF PAGES (A4 and eq. A4)

<b>TOTALLY</b>	37	<b>TEXT PART</b>	27	<b>GRAPHICAL PART</b>	10
----------------	----	------------------	----	-----------------------	----

<b>BRIEF DESCRIPTION</b>  <b>TOPIC, GOAL, RESULTS AND CONTRIBUTIONS</b>	This work contains the concept of the ball nose milling cutter for an indexable cutting insert from the cutting ceramic. They are studies of constructive options with mechanically clamped insert and next the concept of working the concepted tool. The finish of this study is an application of modern technology in the domain of cutting.
<b>KEY WORDS</b>	Indexable cutting insert, CAD/CAM system, CNC machine, cutting materials, cutting ceramic, ball nose milling cutter.

# **Obsah**

1	Úvod.....	8
2	Pravidla pro konstrukci nástrojů s vyměnitelnou břitovou destičkou .....	9
2.1	Upínání VBD .....	9
2.1.1	Upínací systémy dle ISO .....	9
2.1.2	ISO C .....	10
2.1.3	ISO S .....	11
2.1.4	ISO W .....	12
2.1.5	ISO F .....	12
2.1.6	ISO X.....	13
2.2	Řezné materiály VBD.....	13
2.2.1	Řezná keramika .....	14
2.3	Značení VBD .....	14
2.4	Materiál těla nástroje .....	15
2.5	Geometrie nástroje.....	16
2.5.1	Úhel nastavení 90° .....	17
2.5.2	Úhel nastavení 45° .....	17
2.5.3	Úhel nastavení 10° .....	18
2.5.4	Úhel nastavení u fréz s kruhovými břitovými destičkami.....	18
3	Studie návrhu frézovacího nástroje pro řeznou keramiku.....	19
3.1	Kulová fréza .....	19
3.2	Typy kulových fréz dle konstrukčního řešení .....	19
3.2.1	Monolitní kulové frézy.....	19
3.2.2	Kulové frézy s vyměnitelnou hlavicí .....	20
3.2.3	Kulové frézy s vyměnitelnou břitovou destičkou .....	21
3.2.4	Analýza kulové frézy pro VBD ze slinutých karbidů Iscar BallPlus .....	22
3.3	Břitové destičky z řezné keramiky .....	23
3.3.1	Celistvé kruhové vyměnitelné břitové destičky z řezné keramiky.....	23
3.3.2	Základní tvary kruhových destiček z řezné keramiky.....	23
3.3.3	Druhy zakončení hrany keramických destiček.....	24
3.4	Upnutí vyměnitelné břitové destičky z řezné keramiky .....	24
3.4.1	Možné ISO upnutí pro celistvé destičky z řezné keramiky.....	24
3.5	Návrh kulové frézy pro VBD z řezné keramiky.....	24

3.5.1	Materiál těla nástroje .....	25
3.5.2	Stopka nástroje .....	25
3.5.3	Řezná destička.....	25
4	Návrh technologie opracování lůžka pro uložení řezné keramiky .....	28
4.1	Stroj .....	28
4.2	Materiál.....	29
4.3	Polotovar.....	29
4.4	Upnutí .....	29
4.5	Nástroje.....	30
4.6	Technologický postup.....	30
4.6.1	Hrubování a dokončení zkosené čelní plochy na vrchní části .....	30
4.6.2	Hrubování lůžka pro VBD .....	32
4.6.3	Dohrubování a Dokončení lůžka pro VBD .....	33
4.6.4	Vrtání otvoru Ø 3,3 mm pro závit M4 .....	34
4.6.5	Hrubování tvarového zámku pro upínku.....	36
4.6.6	Dohrubování a dokončení tvarového zámku pro upínku .....	37
4.6.7	Sražení hrany otvoru pro závit a otvoru zámku pro upínku .....	38
4.6.8	Vytvoření závitu M4 pro šroub upínky .....	39
4.7	Vytvoření NC programu s využitím CAD/CAM systému .....	40
5	Technické zhodnocení a závěr .....	41
	Seznam použitych zdrojů .....	42
	Seznam obrázků .....	42
	Seznam tabulek .....	44
	Seznam příloh.....	45

## **Seznam použitých zkratek a jednotek**

CNC	Computer Numeric Control
CAD/CAM	computer-aided design and computer-aided manufacturing
VBD	vyměnitelná břitová destička

L	délka	[mm]
$\alpha, \beta, \gamma, \dots$	úhel	[°]
p	tlak	[MPa]

## 1 Úvod

Se zvyšujícími se nároky na výrobu, především požadavky na vysokou produktivitu a přesnost výroby, se moderní obráběcí technologie neustále vyvíjejí. V oboru obrábění se inovují i počítačem řízené stroje, tedy CNC stroje. Tyto stroje jsou inovovány konstrukčním doplněním kinematických částí, což umožňuje rozšíření možností obráběcích strojů. S CNC stroji ve vysoké míře souvisí i vývoj automatického programování pomocí CAD/CAM softwaru (computer-aided design and computer-aided manufacturing). Tyto softwary zvyšují produktivitu v tvorbě programů pro CNC stroje a mají mnoho dalších výhod. Například intuitivní prostředí programu snižuje riziko vnesení chyby do programu. Dalším velkým stále rozvíjejícím se odvětvím v obrábění jsou řezné materiály. Všechny výše uvedené technologie spolu vysoce souvisí a jejich spojení umožňuje dosažení vysoké progresivity ve výrobě.

Cílem této bakalářské práce je vytvoření návrhu obráběcího nástroje s mechanicky upnutou destičkou z řezné keramiky. Tedy nejprve provedení analýzy, počáteční studie možností konstrukčního řešení současných nástrojů. Následně provedení samotného návrhu frézovacího nástroje v CAD/CAM systému CATIA V5, to je jak by mohl nástroj, kulová fréza pro vyměnitelnou břitovou destičku z řezné keramiky vypadat. Poslední částí je provedení návrhu opracování již zmíněného nástroje pro frézování, též zpracovaný v již výše uvedeném CAD/CAM systému s následným vygenerováním NC kódu pro příslušný obráběcí stroj.

## 2 Pravidla pro konstrukci nástrojů s vyměnitelnou břitovou destičkou

Nástroje s vyměnitelnou břitovou destičkou, tedy s mechanicky upnutým břitem, dnes nalézají častější použití pro obrábění díky moderním numericky řízeným strojům. V kombinaci s CNC stroji pak odpadá seřizování rozměrů nástroje při jejich výměně, což značně zkracuje vedlejší časy při výrobě.

Další výhody a nevýhody nástrojů s vyměnitelnou břitovou destičkou:

- + destičky lze lisováním vyrobit v různých tvarech a se speciálními prvky, jakými mohou být například utvařeče třísek,
- + lze zvolit vhodný materiál břitové destičky a tím lepší přizpůsobení obráběnému materiálu,
- + mechanicky lze upnout i materiály, které nelze upnout například pájením, tímto materiélem může být řezná keramika,
- upínací systém je prostorově náročnější, proto nelze využít konstrukce mechanicky upnuté destičky u nástrojů menších rozměrů.

Na konstrukci nástrojů s VBD má vliv několik parametrů. Většina z nich se odvíjí od obráběného materiálu a typu obráběcí operace. Například pro hrubovací obrábění jsou požadavky odlišné než pro dokončovací apod.

Některé ovlivňující faktory při konstrukci nástroje s VBD:

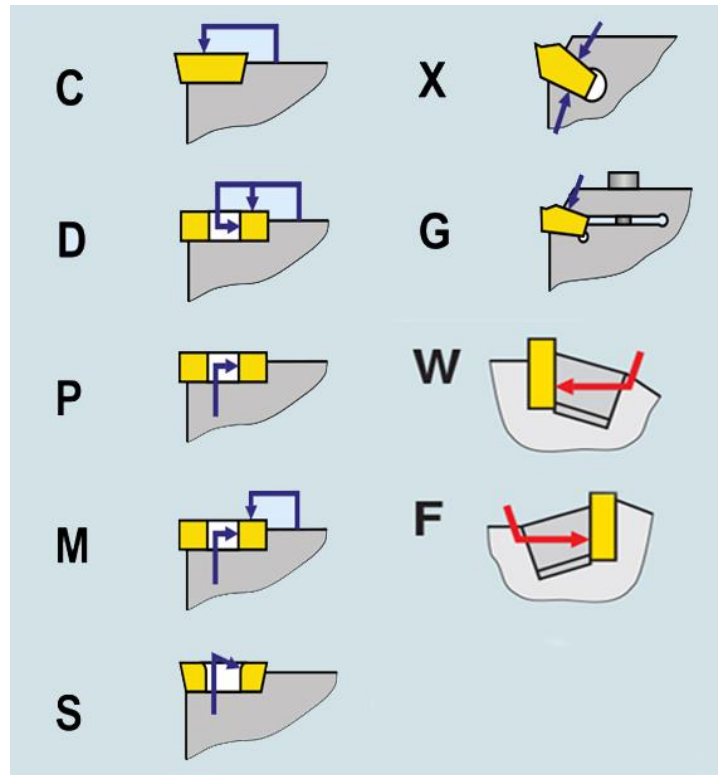
- typ destičky, tvar a rozměrové parametry,
- materiál řezné destičky,
- typ upnutí destičky do těla nástroje,
- materiál těla nástroje.

### 2.1 Upínání VBD

Mechanismus zajišťuje spolehlivé, pevné a tuhé upnutí v celém rozsahu řezných podmínek. Upnutí musí zajistit dobrou opakovatelnost, tedy vysokou přesnost polohy při výměně otupené destičky. Dalším důležitým požadavkem je jednoduchost a rychlosť upínání destičky. Mechanismus upnutí musí být řešen tak, aby co nejméně bránil odchodu třísek z místa řezu. Upnutí VBD je různě konstrukčně řešeno. Nejčastěji se využívá dělení upínacích systémů dle norem ISO.

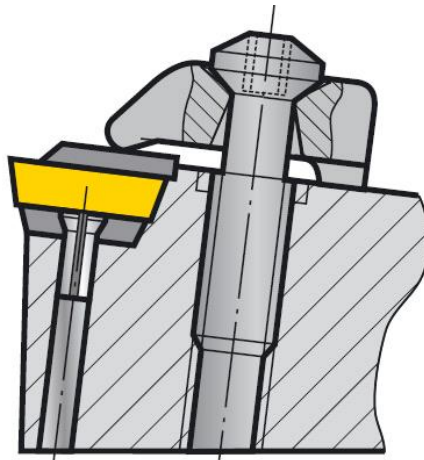
#### 2.1.1 Upínací systémy dle ISO

Dle mezinárodních technických ISO norem se nabízejí upnutí ISO C, D, P, M, S, X, G, W, F. Z čehož pro frézovací nástroje je vhodné a též také nejvíce užívané C, S, W, F, případně i X. Jednotlivé typy upnutí lze vidět na obrázku 1.



Obrázek 1 – přehled upínacích systémů ISO [1]

### 2.1.2 ISO C



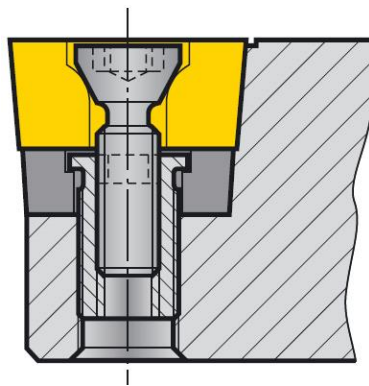
Obrázek 2 – ISO C [1]

Systém upínání ISO C je nejstarším systém upínání pro vyměnitelné břítové destičky. Slouží pro upínání destiček bez otvoru. Je vhodný pro pozitivní i negativní destičky. Upnutí je řešeno pomocí upínky tlačící na čelní plochu destičky a ta je tak zatlačována do lůžka držáku, jak lze vidět na obrázku 2. V oblasti frézování nalézá své místo především u nástrojů, do nichž je vkládána celistvá keramická destička, u níž je obvykle absence otvoru. Upnutí je velice jednoduché, ale jelikož není destička tlačena upínací silou k bočním plochám lůžka, je zde menší přesnost při ustavování destičky. Další nevýhodou může být vyčnívající upínka nad destičkou, což může mít za následek omezený odchod třísek. Praktické využití upnutí ISO C lze vidět na obrázku 3.



Obrázek 3 – ukázka ISO C na frézovacím nástroji [2]

### 2.1.3 ISO S



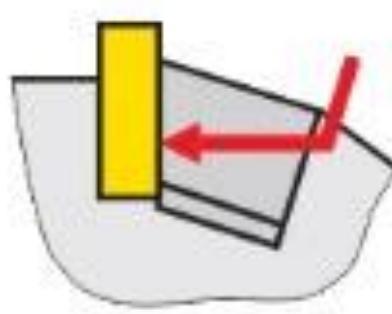
Obrázek 4 – ISO S [1]

Systém ISO S se používá pro destičky opatřené otvorem s kuželovým zahľoubením. Destička je upnuta pomocí šroubu, který je umístěn excentricky od osy destičky. Destička tak dosedne nejprve směrem k opěrným plochám lůžka, což zajistí vhodné působení upínacích sil. Systém upnutí je vidět na obrázku 2. Tento systém upnutí má minimální nároky na rozměry a tak jej lze použít i u nástrojů pro výrobu menších otvorů. Upnutí nijak nezamezuje odchodu třísek. Nevýhodou jsou vysoké nároky na přesnost výroby lůžka a závitového otvoru pro šroub. ISO S je rozšířený u frézovacích nástrojů s vyměnitelnými břitovými destičkami ze slinutých karbidů. Praktické využití je znázorněno na obrázku 5.



Obrázek 5 – Ukázka ISO S na frézovacím nástroji [2]

### 2.1.4 ISO W



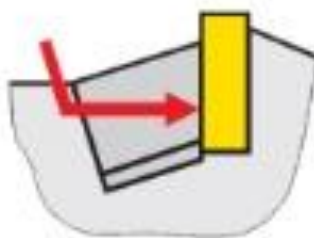
Obrázek 6 – ISO W [1]

Systém ISO W se využívá pro upínání vyměnitelných břイトových destiček bez otvoru. Tento systém je řešen klínem umístěným za destičkou. Klínem se vyvodí síla, která způsobí tlak na destičku. Výhodou je jednoduchost a pevnost upnutí. Nevýhodou může být podstatná rozdílnost, což zamezuje použití u menších nástrojů. Tento systém tedy nalézá použití především u frézovacích hlav, jak lze vidět na obrázku 7.



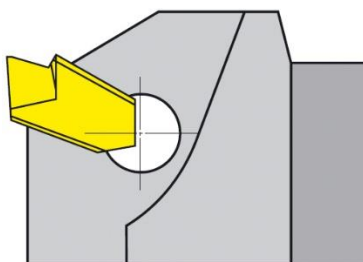
Obrázek 7 – ukázka ISO W na frézovacím nástroji [2]

### 2.1.5 ISO F



Obrázek 8 – ISO F [1]

Upínací systém ISO F je téměř totožný se systémem W, upnutí je tedy řešeno také pomocí klínu tlacičího na destičku. Jediná změna oproti upnutí W je v tom, že klín je umístěn z druhé strany, tedy před destičkou.

**2.1.6 ISO X**

Obrázek 9 – ISO X [1]

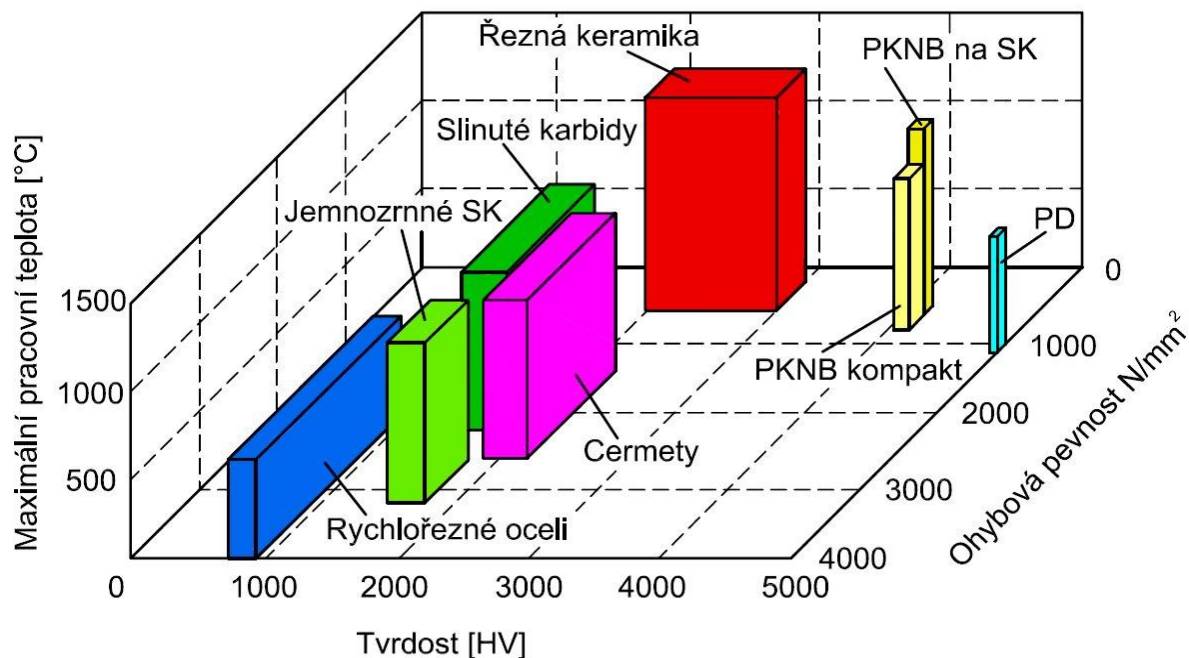
Systém ISO X představuje upnutí pro vyměnitelné břitové destičky bez přídavných prvků. Upnutí zajišťuje síla, jež je vyvozena pružnou deformací drážky, do které se destička vkládá. Pro zlepšení stability v bočním směru je destička opatřena na horní i spodní straně vodicími drážkami. Nalézá využití u kotoučových fréz.



Obrázek 10 - ukázka ISO X na frézovacím nástroji [3]

**2.2 Řezné materiály VBD**

Volba nástrojového materiálu je důležitým faktorem při konstrukci nástroje. Musí splňovat požadavky, které se odvíjejí především od vlastností obráběného materiálu a potřebné kvalitě obroběných ploch. Těmito jsou hlavně tvrdost a houževnatost. Materiál nástroje nesmí chemicky reagovat s materiélem obrobku a musí být odolný vůči teplotním rázům. Základními materiály používanými pro výrobu vyměnitelných břitových destiček jsou slinuté karbidy, cermety, řezná keramika a super tvrdé materiály, kterými jsou kubický nitrid bóru (CBN) a polykrystalický diamant (PKD). Na diagramu jež je na obrázku 11 lze vidět srovnání řezných materiálů z hlediska jejich možné pracovní teploty, tvrdosti a ohybové pevnosti.



Obrázek 11 – Diagram s vlastnostmi řezných materiálů [4]

### 2.2.1 Řezná keramika

Řezná keramika je materiélem vyznačujícím se velmi vysokou tvrdostí, zejména pak odolností proti otěru při využití vysokých řezných rychlostí. Při obrábění se obvykle dosahuje řezných rychlostí i vyšších než 1000 m/min. Při správném použití je možno tedy dosáhnout velmi vysoké produktivity. Mezi hlavní nedostatky řezné keramiky patří především malá lomová houževnatost a malá odolnost vůči tepelným trhlinám. Řezná keramika existuje v několika třídách podle použití. První třídou je oxidová keramika. Skládá se z oxidu hlinitého ( $Al_2O_3$ ) a případou je oxid zirkoničitý ( $ZrO_2$ ), ten v materiálu omezuje vznik trhlin a jejich šíření. Oxidová keramika je chemicky stabilní, ale její značnou nevýhodou je malá odolnost proti tepelným změnám. Dalším druhem řezné keramiky je smíšená keramika. Oproti oxidové keramice je navíc tvořena případou kubických karbidů nebo karbonitridů, které značně navýší houževnatost a tepelnou vodivost v materiálu. Dalším typem je keramika vyztužená pomocí whiskerů. Whiskery jsou karbidy křemíku ( $SiCw$ ), díky čemuž se vyznačuje vyšší houževnatostí oproti předchozím druhům. Sialon ( $SiAlON$ ) je další skupinou keramických řezných materiálů. Sialonová kermika je vhodná pro obrábění žáruvzdorných slitin. Pomocí případu nitridů křemíků využívá schopnost „samovyztužení“, díky níž má dobrou houževnatost.

## 2.3 Značení VBD

Vyměnitelné břitové destičky jsou v dnešní době nenahraditelným komponentem v oblasti obráběcích nástrojů. Vyměnitelné destičky, jako často používaný komponent se značí dle mezinárodního značení ISO, díky kterému je umožněno kombinovat v převážné míře různé výrobce destičky a těla nástroje.

1	2	3	4	5	6	7	8	9
S S	P P	G K	N N	12 12	03 03	08 ED		
							S R	

Obrázek 12 – ISO znační VBD [1]

1. Tvar destičky
2. Úhel hřebu
3. Tolerance
4. Provedení
5. Délka řezné hrany
6. Tloušťka
7. Úhel nastavení, úhel hřbetu fazetky
8. Provedení řezné hrany
9. Směr posuvu

## 2.4 Materiál těla nástroje

Volba konstrukčního materiálu má podstatný vliv na vlastnosti celého nástroje. U materiálu, ze kterého je nástrojový držák zhotoven, je požadována především vysoká pevnost a houževnatost. Dalším faktorem při výběru materiálu je jeho ekonomická náročnost.

Tabulka 1 – Přehled tříd konstrukčních ocelí

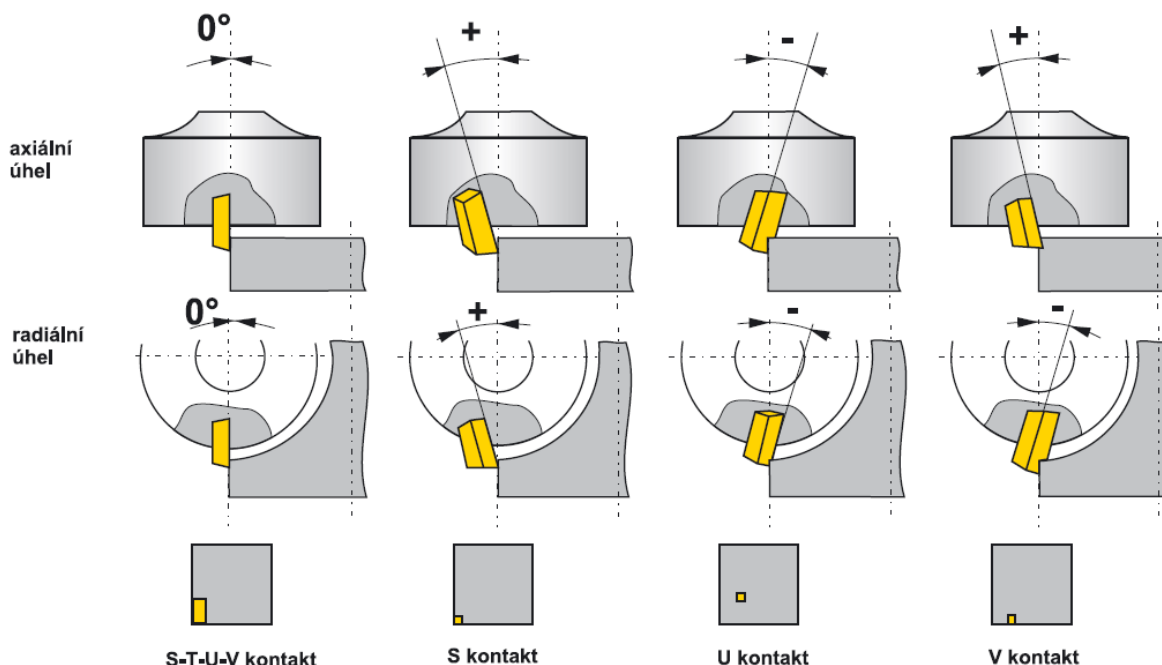
Třída oceli	Stupeň legování	Charakteristika a použití ocelí
10	Nelegované	Nejsou legované. Je u nich zaručená pevnost v tahu. Nemají předepsané chemické složení. Použití pro kolejnice, betonářské oceli.
11		Nelegované. Je u nich zaručena pevnost v tahu. Chemické složení není zaručeno, kromě obsahu fosforu a síry. Použití především jako automatová ocel pro dobrou lámavost třísky.
12		Je u nich zaručeno chemické složení. Vhodné pro cementování a kalení. Použití pro výrobu ozubených kol.
13	Nízkolegované	Ušlechtilá slitinová ocel. Legována manganem a křemíkem. Vhodná k tepelnému zpracování. Použití nalézá především pro pružiny.

14		Ocel legovaná chromem, manganem, křemíkem a hliníkem. Jsou vhodné pro tepelné zpracování. Použití pro výrobu kuličkových a válečkových ložisek.
15		Legovány chromem, vanadem, molybdenem a wolframem. Jsou žárupevné a vhodné pro tepelné zpracování. Použití na vysoce namáhané strojní součástky, například v automobilovém a leteckém průmyslu.
16	Nízko a středně legované	Oceli legovány niklem, chromem, wolframem, vanadem a molybdenem. Vysokojakostní konstrukční oceli pro namáhané součásti, velice odolné proti opotřebení. Vhodné k tepelnému zpracování.
17	Středně a vysokolegované	Vysokolegované oceli chromem a niklem. Díky velkému obsahu chromu jsou korozivzdorné.

Pro konstrukci nástroje jsou nejvhodnější ocele třídy 16, které mají velice dobrý poměr pevnostních charakteristik a houževnatosti a jsou tedy obzvláště vhodné pro více namáhané strojní součásti.

## 2.5 Geometrie nástroje

Místo prvního kontaktu nástroje s obrobkem, faktor, na němž může záviset celý následující proces obrábění. Při špatném zvolení může dojít dokonce k destrukci destičky.



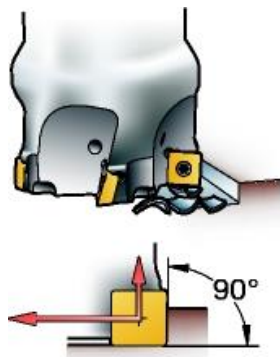
Obrázek 13 – nastavení axiálního a radiálního úhlu pro první kontakt nástroje s obrobkem [1]

Katedra technologie obrábění

Radek Veselý

Geometrie řezného nástroje je velice podstatným faktorem, který z velké míry ovlivňuje charakter řezu. Geometrie nástroje musí být navržena tak, aby se tvořila tříška lámající se ve velikostech, ve kterých bude zajištěn jejich snadný odvod z místa řezu. Polohu břítové destičky určuje úhel nastavení řezné hrany vůči obrobku ( $\kappa_r$ ). Z velké části na něm závisí parametry jako hloubka třísky, velikost řezných sil nebo životnost nástroje. Pro každou konkrétní frézovací operaci jsou specifické jiné úhly nastavení. Mezi ty nejpoužívanější patří  $10^\circ$ ,  $45^\circ$  a  $90^\circ$ . Při snižování úhlu nastavení se snižují radiální síly a tím dochází k plynulejšímu zahájení řezu. Na druhou stranu narůstá axiální síla, která způsobuje zvýšení tlaku na obrobek.

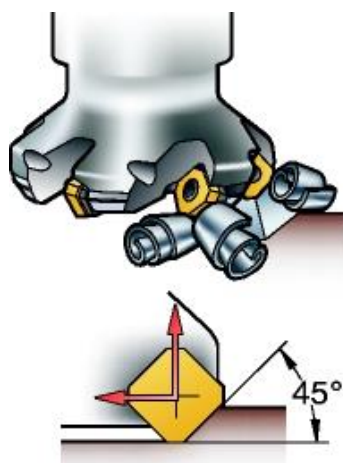
### 2.5.1 Úhel nastavení $90^\circ$



Obrázek 14 – úhel nastavení  $90^\circ$  [5]

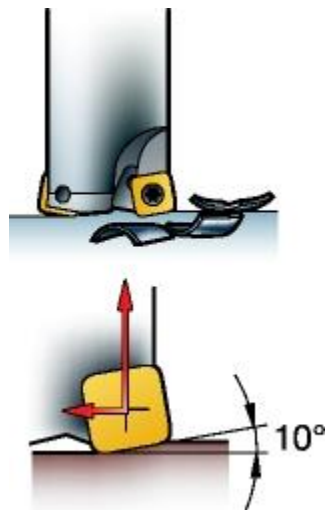
Frézy s úhlem nastavení  $90^\circ$  nalézají uplatnění především při frézování do rohu. Obrábění je vystaveno především radiálním řezným silám, čehož lze využít pro obrábění tenkostěnných součástí.

### 2.5.2 Úhel nastavení $45^\circ$



Obrázek 15 – úhel nastavení  $45^\circ$  [5]

Při úhlu nastavení  $45^\circ$  jsou vyváženy radiální a axiální řezné síly. Používají se pro čelní frézování.

**2.5.3 Úhel nastavení  $10^\circ$** **Obrázek 16 – úhel nastavení  $10^\circ$  [5]**

Frézy s úhlem nastavení  $10^\circ$  umožňují frézování za vysokých rychlostech posuvů. Jsou vhodné také pro ponorné frézování. Lze využít frézy delších délek, protože vznikající axiální síla působí proti vřetenu stroje a tím eliminuje vibrace. Frézy jsou tedy vhodné pro frézování hlubokých otvorů a dutin.

**2.5.4 Úhel nastavení u fréz s kruhovými břitovými destičkami****Obrázek 17 – úhel nastavení u fréz s kruhovým břitem [5]**

Hodnota úhlu nastavení u fréz s kruhovými břitovými destičkami je závislá na hloubce řezu ( $a_p$ ). Se zvyšující se hloubkou řezu roste úhel od nuly do  $90^\circ$ . S úhlem nastavení se také mění směr výsledné řezné síly. Výhodou kruhových břitových destiček je jejich vysoká pevnost, kterou dostávají díky velkému poloměru rohu.

### 3 Studie návrhu frézovacího nástroje pro řeznou keramiku

Navrhovaným nástrojem je kulová fréza s vyměnitelnou břitovou destičkou z řezné keramiky. Nástroj bude obsahovat řeznou hranu kruhového tvaru, a tudíž bude nástroji náležet destička kruhového tvaru.

#### 3.1 Kulová fréza

Kulová nebo také kopírovací fréza je obráběcím nástrojem sloužícím pro obrábění složitých tvarových ploch. Jejich charakteristickým znakem je řezná hrana kruhového tvaru. Použití nalézají například v energetickém či leteckém průmyslu pro obrábění lopatek turbín apod. Další rozsáhlou oblastí využití je výroba zápustek a forem. Použití kulových fréz je prakticky možné pouze s moderními CNC stroji, především s víceosými frézovacími centry. Pro dosažení nejlepší kvality obroběných ploch a přesnost obrobku se využívá automatického programování. Jsou k tomu využity CAD/CAM (computer-aided design and computer-aided manufacturing) systémy. Představiteli jsou například CATIA V5, SOLIDCAM, NX. V těchto stále se rozvíjejících počítačových softwarech lze vymodelovat danou součást a následně na programátorem určené plochy vygenerovat dráhy pro obrábění. Dráhy vygenerované výpočetní technikou by pro jejich složitost nebylo prakticky možné vytvořit ručním programováním.



Obrázek 18 – Obrábění kulovou frézou [8]

#### 3.2 Typy kulových fréz dle konstrukčního řešení

Jako u většiny obráběcích nástrojů se i u kulových fréz na trhu vyskytuje několik konstrukčních provedení. Mezi základní patří frézy monolitní, frézy s vyměnitelnou břitovou destičkou nebo frézy s vyměnitelnou hlavicí.

##### 3.2.1 Monolitní kulové frézy

Monolitní frézy jsou obvykle celé vyrobeny ze slinutých karbidů nebo z rychlořezné oceli. Hlavní výhodou monolitních nástrojů je možnost výroby nástroje i v menších průměrech a to díky absenci upínacích prvků, které se používají například u nástrojů s vyměnitelnými břitovými destičkami. Například výrobce Iscar má v nabídce dvoubřitou verzi monolitní kulové frézy již od průměru 0,4 mm.



Obrázek 19 – monolitní kulová fréza [6]

### 3.2.2 Kulové frézy s vyměnitelnou hlavicí

U tohoto konstrukčního typu se vyměnitelná hlavice připevňuje k příslušné stopce. Pevného upnutí mezi hlavicí a stopkou se nejčastěji docílí zajištěním pomocí závitového spoje. Vyměnitelná hlavice je opatřena vyměnitelnými břitovými destičkami nebo může být monolitní. Monolitní hlavice nalézá použití především u fréz menších rozměrů. Uvedený typy jsou znázorněny na obrázcích 20 a 21.



Obrázek 20 – vyměnitelná hlavice s VBD [7]



Obrázek 21 – monolitní vyměnitelná hlavice [8]

### 3.2.3 Kulové frézy s vyměnitelnou břitovou destičkou

Kulové frézy s vyměnitelnou břitovou destičkou jsou řešeny pomocí držáku nástroje, ve kterém je pomocí speciálního upínacího systému upnuta řezná destička. Takto řešené nástroje se aplikují převážně pro dokončovací obráběcí operace. Existují dvě varianty konstrukčních typů kulových fréz s VBD. První variantou je, že se do držáku vkládá jedna destička kruhového tvaru pokrývající celou řeznou část (viz. Obrázek 23). Používá se především při dokončovacích operacích. Druhá varianta je rozdílná v tom, že se do držáku vkládají dvě destičky (viz. Obr. 22) a používá se pro hrubování.



Obrázek 22 – kulová fréza s dvěmi VBD [7]



Obrázek 23 – kulová fréza s VBD [7]

Držák nástroje je tvořen z jedné strany stopkou, která slouží k upnutí do vřetena stroje pomocí příslušného upínače. Druhá strana je pak tvořena upínacím systémem pro vyměnitelnou břitovou destičku. Destičky u kulových fréz jsou převážně vyráběny ze slinutých karbidů. Lze použít i jiné řezné materiály jako cermetu či řeznou keramiku.

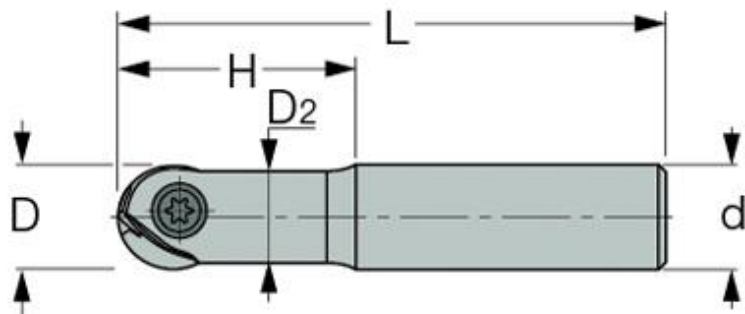


Obrázek 24 – části kulové frézy [9]

### 3.2.4 Analýza kulové frézy pro VBD ze slinutých karbidů Iscar BallPlus

Produkt Iscar BallPlus je základním představitelem kulových fréz pro vyměnitelnou břitovou destičku firmy Iscar. Fréza je nabízena ve třech typech. U typu s označením „A“ je tělo nástroje zúžené a válcové, u typu „B“ a „D“ je dřík nástroje mírně zkosený do kužele. U Typu „B“ činní zkosení 5°. Takto kuželový dřík nástroje je vhodný pro obrábění, kde je požadovaná vysoká stabilita, což jsou především hrubovací operace. U typu „D“ je úhel zkosení pouze 1°. S takto kónickým tvarem těla je nástroj vhodný především pro obrábění hlubokých dutin a strmých stěn.

Rozměry nástroje typu „A“



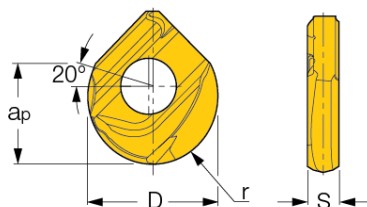
Obrázek 25 – rozměry frézy Iscar BallPlus [8]

- D průměr destičky 12 mm
- D<sub>2</sub> průměr zúžené části stopy 10,6 mm
- d průměr stopky 12 mm
- H Délka zúžené části stopky 30 mm
- L celková délka nástroje 120 mm

Upnutí destičky do držáku nástroje je řešeno pomocí šroubu. Lůžko držáku obsahuje dvě dosedací plochy ve tvaru „V“, na které se při dotažení šroubu dorazí příslušná destička. Tento typ upnutí je jednoduchý, rychlý a přesný.



Obrázek 26 – kulová fréza Iscar BallPlus [8]



Obrázek 27 – VBD do Iscar BallPlus [8]

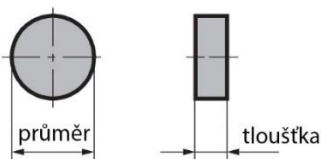
### 3.3 Břitové destičky z řezné keramiky

Vyměnitelné břitové destičky mohou mít různé tvary a rozměry. Mohou mít vybroušeny různé prvky jako utváreče třísek nebo prvky pro upnutí, například otvor nebo důlek. Destičky z řezné keramiky nejčastěji nemají vybroušené prvky, ale jsou celistvé.

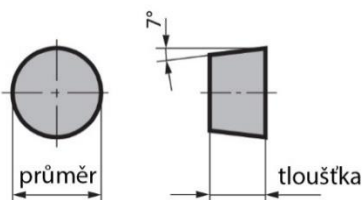
#### 3.3.1 Celistvé kruhové vyměnitelné břitové destičky z řezné keramiky

Kruhové keramické destičky se vyrábějí v různých provedeních. Těmi nejzákladnějšími a nejvíce používanými jsou destičky s pozitivním, nebo negativním úhlem hřbetu. Destičky s pozitivním úhlem hřbetu mají ve většině případů tento úhel  $7^\circ$  (viz. Obr. 30). Tyto destičky mají v označení ISO na druhé pozici písmeno „C“. Destičky označované jako negativní mají úhel hřbetu  $0^\circ$  a v označení ISO nesou písmeno „N“ (viz. Obr. 29). Výhodou negativních destiček je možnost oboustranné použitelnosti. Vyráběj se v různých průměrech a tloušťkách. Nejčastěji používanými jsou destičky o průměru 12,7 mm a tloušťky 4,76 mm nebo o průměru 12,7 mm a tloušťky 7,94 mm. Zakončení hrany keramické destičky může být provedeno radiusem nebo zkosením. V některých případech může být zakončení provedeno ostrou hranou. Typy zakončení jsou znázorněny na obrázku 32.

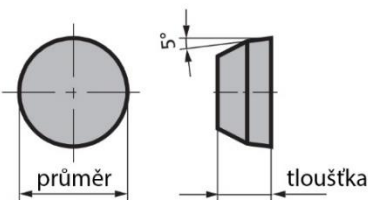
#### 3.3.2 Základní tvary kruhových destiček z řezné keramiky



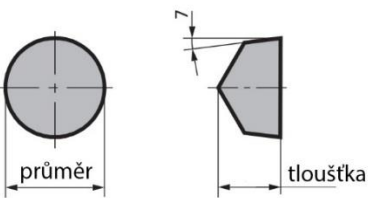
Obrázek 28 – destička RNGN [10]



Obrázek 29 – destička RCGN [10]

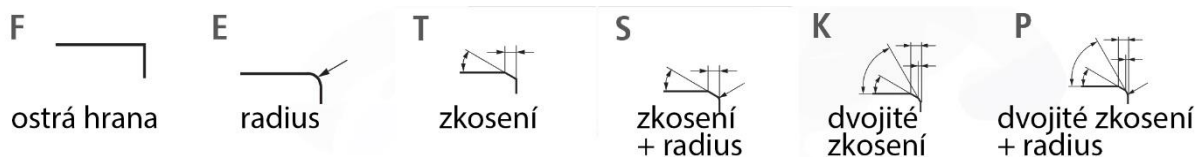


Obrázek 30 – destička RBGN [10]



Obrázek 31 – destička RCGX [10]

### 3.3.3 Druhy zakončení hrany keramických destiček

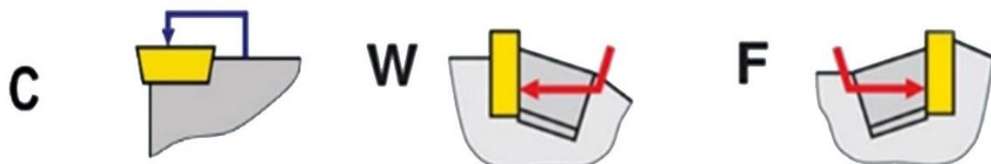


Obrázek 32 – zakončení hrany destiček [10]

## 3.4 Upnutí vyměnitelné břitové destičky z řezné keramiky

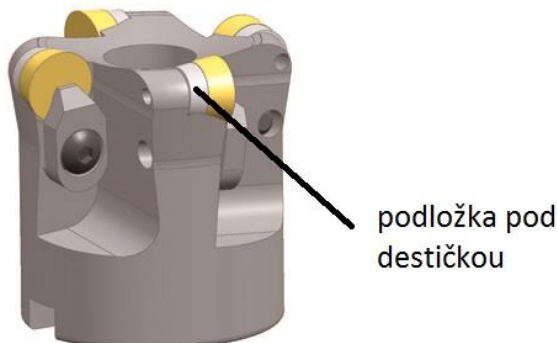
Pro upnutí celistvé keramické destičky se z ISO systémů nabízejí tři druhy, a to C, W a F. U systému „C“ je upnutí realizováno pomocí upínky a u systému „W“ a „F“ je upnutí řešeno pomocí klínu. Lze samozřejmě využít i jiných konstrukcí, mimo normalizované systémy ISO. Jelikož se však jedná o destičku z řezné keramiky, musí upínací síla na destičku vyvijet tlak a nikoliv tah. Při tahovém zatížení na břitovou destičku z řezné keramiky by došlo k jejímu poškození.

### 3.4.1 Možné ISO upnutí pro celistvé destičky z řezné keramiky



Obrázek 33 – výběr z ISO upnutí VBD [1]

Dalšími konstrukčními součástmi používanými při upínání vyměnitelných destiček z řezné keramiky jsou podložky. Umisťují se pod destičku za účelem zachycení řezných sil a prodloužení životnosti nástroje. Chrání držák nástroje při poškození destičky. Především u nástrojů menších rozměrů však nelze podložku kvůli nedostatku prostoru použít.



Obrázek 34 – fréza s keramickými destičkami s podložkami [2]

## 3.5 Návrh kulové frézy pro VBD z řezné keramiky

Návrh frézovacího nástroje je vytvořen pomocí softwaru CATIA V5. Program se řadí mezi PLM softwary. To jsou takové, které jsou schopny „kompletního cyklu výroby“. Lze v nich tvorit návrh, konstrukční řešení, různé analýzy, simulace a tvorbu NC programu pro následnou výrobu.

### 3.5.1 Materiál těla nástroje

Navrhovaný nástroj bude vyroben ze zušlechtěné Chrom-Nikl-Molibdenové oceli s označením ČSN 16 343 (značení dle české technické normy). Tato ocel má v zušlechtěném stavu velice dobrý poměr pevnosti na mezi kluzu a houževnatostí. Je vhodná pro použití za vyšších teplot. Použití nalézá převážně u velmi namáhaných strojních součástek. Mez pevnosti pro materiály o průměru menším než 16 mm je 1200 – 1400 MPa. Tato hodnota bude tedy platná i pro navrhovanou frézu, jež má hodnotu průměru 12 mm. V tabulce 2 je uvedeno chemické složení zmíněného materiálu.

Chemické složení ocele ČSN 16 343 v hotovém výrobku [11]

C	Si	Mn	P	S	Cr	Mo	Ni
0,28-0,4 0,43	Max. 0,43	0,46- 0,84	Max. 0,03	Max. 0,04	1,25- 1,75	0,12- 0,33	1,25- 1,75

Tabulka 2 – chemické složení ocele ČSN 16 343

### 3.5.2 Stopka nástroje

Stopka je část nástroje, jež slouží pro upnutí nástroje do stroje. Stopka bude válcového tvaru o průměru 12 mm a bude po celé délce vyrobena s přesností h6 ( $12^0_{-0,011} \text{ mm}$ ).

### 3.5.3 Řezná destička

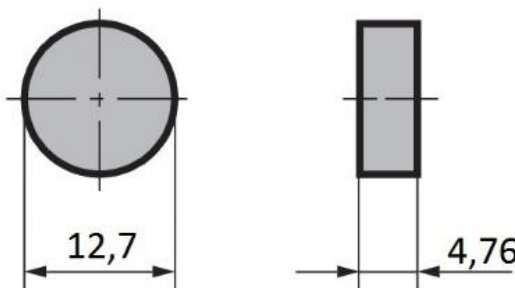
V návrhu kulové frézy je použita kruhová destička z řezné keramiky s negativní geometrií. Má tedy nulový úhel hřbetu. Jejími rozměry jsou průměr 12,7 mm a tloušťka 4,76 mm (viz. Obrázky 37 a 38). Označení dle ISO systému RNGN 12 04 00T. Protože je použita řezná destička negativní geometrie, tedy o hodnotě úhlu hřbetu  $0^\circ$ , je nutné destičku upnout tak aby se úhel hřbetu dodatečně vytvořil.

Rozbor označení destičky RNGN 12 04 00T :

- R kruhový tvar destičky,
- N negativní úhel hřbetu ( $0^\circ$ ),
- G tolerance rozměrů destičky (G: průměr  $\pm 0,025$ , tloušťka  $\pm 0,130$ ),
- N typ upínacího prvku (N: žádný prvek, destička je celistvá),
- 12 průměr destičky - velikost 12 (= 12,7 mm),
- 04 tloušťka destičky – velikost 4 (= 4,76 mm),
- T zkosená hrana destičky (fazetka).

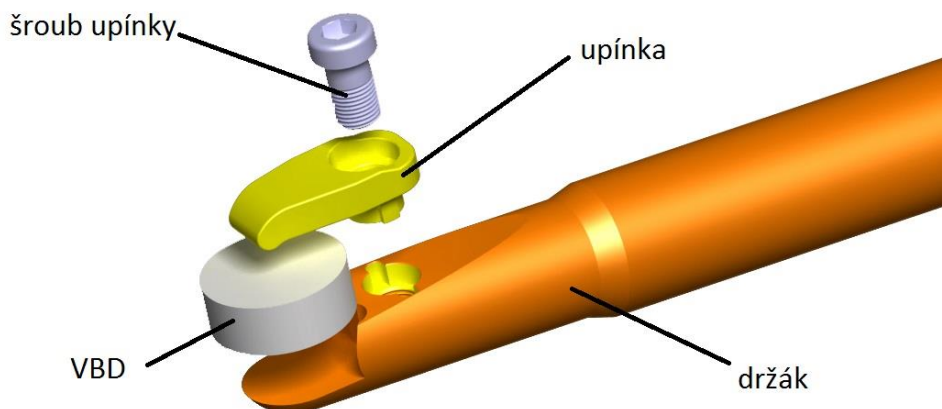


Obrázek 35 – model negativní keramické destičky



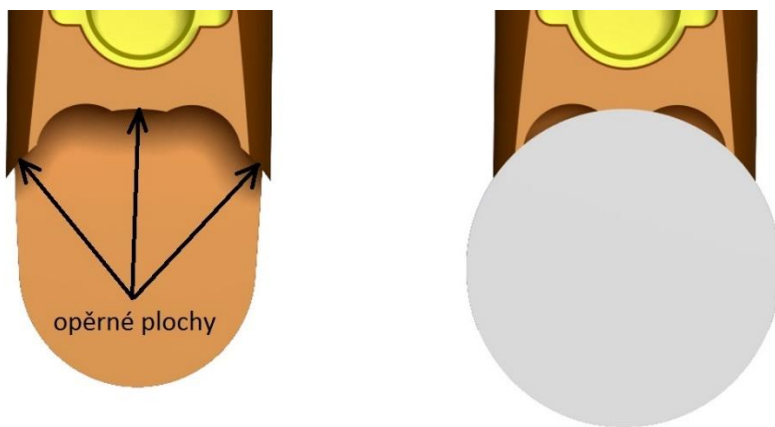
Obrázek 36 – rozměry negativní keramické destičky  
[10]

Konstrukce je řešena pomocí upínacího systému „C“, tedy pomocí upínky. Nástroj je složen z držáku, řezné destičky, upínky a šroubu, kterým je upínka připevněna k držáku.



Obrázek 37 – součásti navrženého nástroje

Pro větší přesnost při výměně destičky nebo při jejím otáčení je vhodné odlehčení mezi bočními opěrnými plochami.



Obrázek 38 – opěrné plochy pod VBD

Dalším prvkem potřebným pro správnou funkčnost upínacího systému je tvarový zámek v otvoru pro dosednutí upínky. Zámek musí zaručit správnou polohu a přesné dosednutí upínky v tělese nástroje.

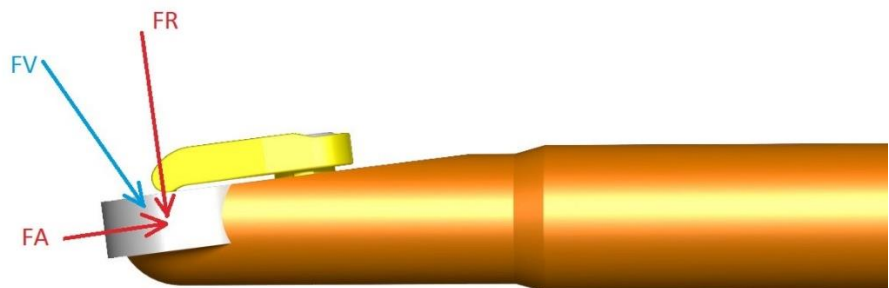


Obrázek 39 – tvarový zámek pro upínku

Katedra technologie obrábění

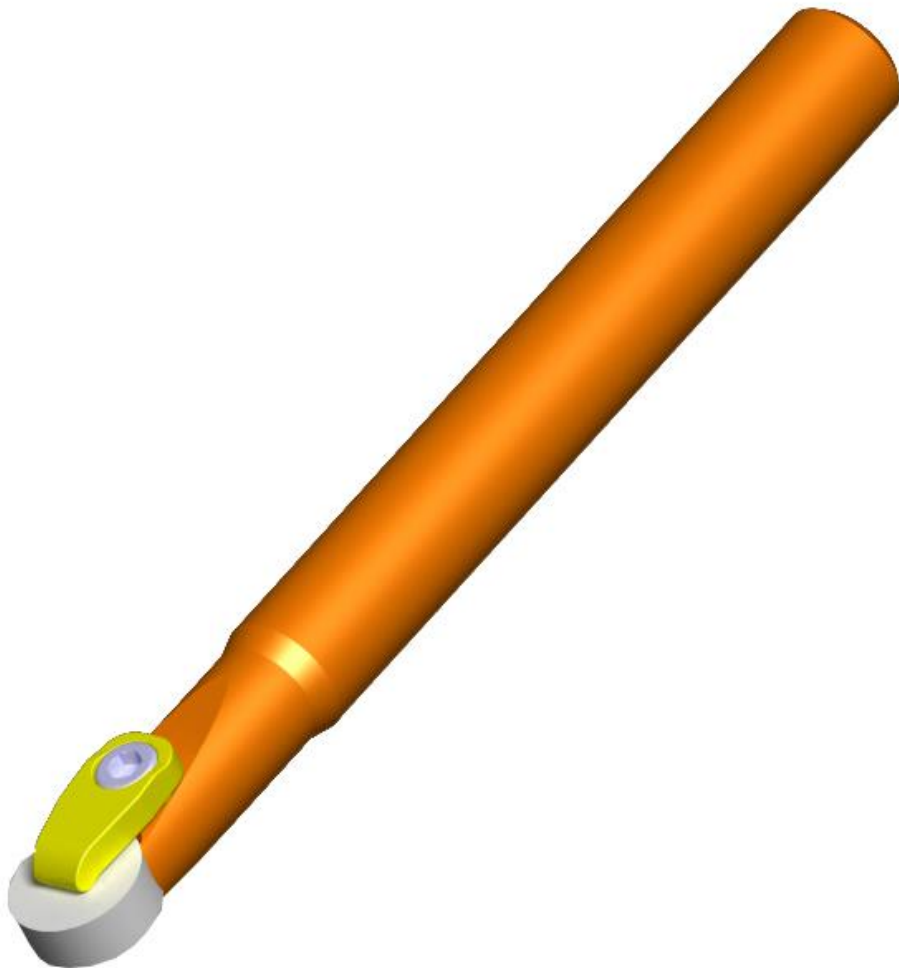
Radek Veselý

Pro dosažení přesného a pevného upnutí je důležitý správný směr upínacích sil od upínky. Síly musí způsobovat tlak jak na spodní plochu, tak i na boční opěrné plochy lůžka. Na destičku tedy musí působit radiální „FR“ i axiální síla „FA“. Tohoto působení lze částečně dosáhnout mírným vyosením upínacího šroubu do směru výsledné síly „FV“.



Obrázek 40 – působení upínacích sil

Vyobrazení celého nástroje.



Obrázek 41 – model nástroje

## 4 Návrh technologie opracování lůžka pro uložení řezné keramiky

Před samotným návrhem je nutné udělat rozbor součásti, tedy ploch, které budou obráběny. Je potřeba zjistit jak se bude daná plocha obrábět a z toho vyplývá použití nevhodnějšího strojů a nástrojů.

Pro opracování lůžka pro VBD je využito frézovacích operací. Dále je pro plně funkční systém vyrobení otvoru pro upínku, který obsahuje závit. Tudíž se využije frézovacích operací, dále vrtání otvoru a řezání závitu.

Některé aspekty, které se musí brát v potaz při zpracování technologie opracování:

- tvar a materiál obráběné součásti,
- polotovar, ze kterého se bude součást vyrábět,
- upnutí součásti ve stroji,
- použitý stroj,
- použité nástroje.

### 4.1 Stroj

Jelikož na součásti nejsou všechno plochy spolu rovnoběžné a otvor pro upínku je umístěn mírně pod úhlem oproti ostatním plochám, bude vhodné použít 5-osý obráběcí stroj. V návaznosti na předchozí soustružnické operace bude vhodným řešením zvolit multifunkční obráběcí stroj s upnutím do sklíčidla, což umožní prakticky celou součást vyrobit na jedno upnutí. Příklad takového stroje je vyobrazen níže na obrázku 43.



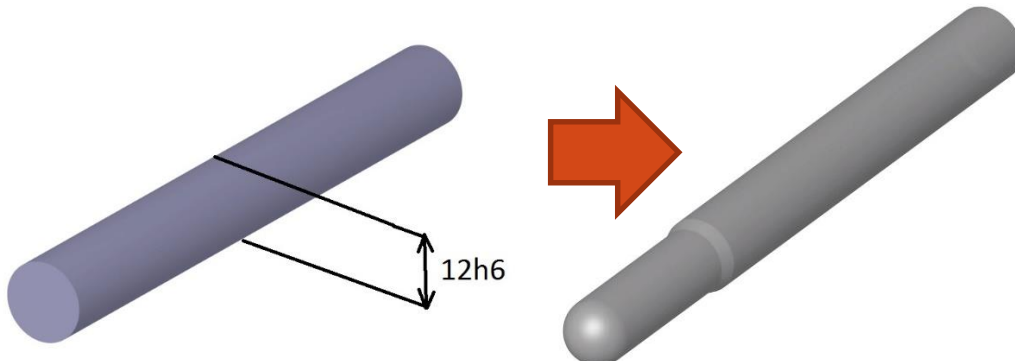
Obrázek 42 – Multifunkční obráběcí centrum Yamazaki Mazak Integrex j300/400 [11]

## 4.2 Materiál

Jak již bylo popsáno výše, v oddílu 3.5.1 bude tělo kulové frézy vyrobeno ze zušlechtěné Chrom-Nikl-Molibdenové oceli s označením ČSN 16 343. Hodnota pevnosti v tahu činí  $1200 \div 1400$  MPa.

## 4.3 Polotovar

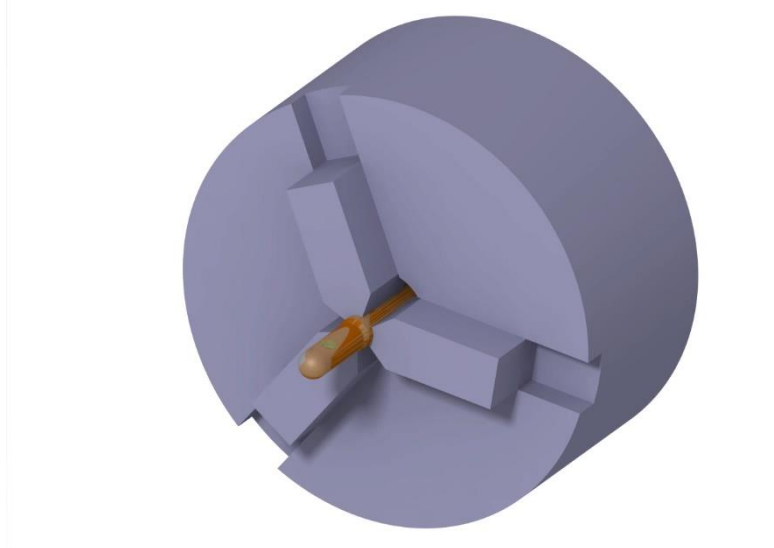
Polotovarem je předem opracovaná tyč na přesný rozměr 12h6, na které se soustružením vytvoří kulová plocha a osazení.



Obrázek 43 - polotovar

## 4.4 Upnutí

Upnutí je realizováno pomocí sklícidla, kterým je osazen použitý multifunkční obráběcí CNC stroj. Jsou použity měkké čelisti, aby nedošlo k poškození již předem obrobeného polotovaru.



Obrázek 44 - upnutí

## 4.5 Nástroje

Nástroje jsou voleny s ohledem k příslušné obráběcí operaci a na materiál obráběné součásti. Řezné parametry nástrojů se musí přizpůsobit obráběnému materiálu. Obráběný materiál má velmi vysokou pevnost (1200÷1400 MPa), tudíž budou použiti nízké řezné parametry. Ke správnému nastavení řezných podmínek je potřeba znát hodnotu posuvové rychlosti ( $v_f$ ). Ta se vypočítá z parametrů, které jsou k nalezení v katalogu výrobce příslušného nástroje. Parametry pro výpočet jsou:

$v_c$  řezná rychlosť [m/min]

$f_z$  posuv na zub [mm]

$z$  počet ostří (zubů)

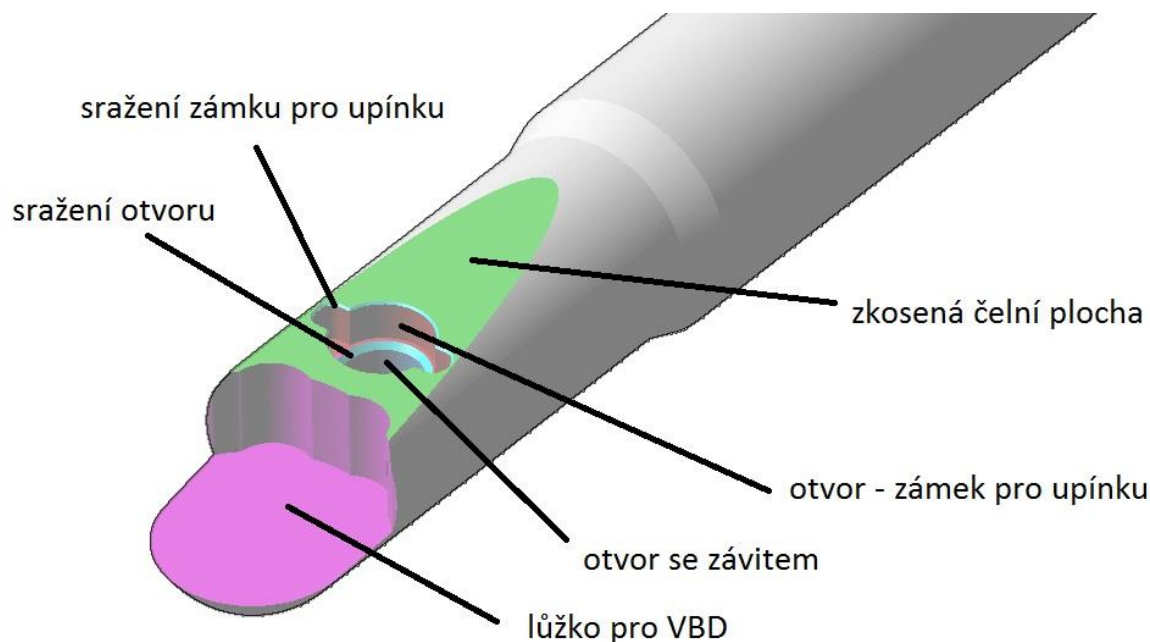
$D$  průměr nástroje [mm]

Výpočet posuvové rychlosti  $F$  a otáček  $n$ :

$$v_f = f_z * z * n \quad \left[ \frac{mm}{min} \right] \quad n = \frac{v_f * 1000}{\pi * D} \quad [min^{-1}]$$

## 4.6 Technologický postup

Opracování se bude týkat všech ploch vyobrazených v obrázku níže



Obrázek 45

### 4.6.1 Hrubování a dokončení zkosené čelní plochy na vrchní části

První frézovací operací je obrobení, což je vyhrubování a dokončení čelního zkosení na vrchu součásti. Při této operaci dojde i k částečnému odhrubování samotného lůžka pro VBD. Jelikož zde nejsou žádná prostorová omezení, je možno použít frézovací nástroj větších rozměrů, čímž

Katedra technologie obrábění

Radek Veselý

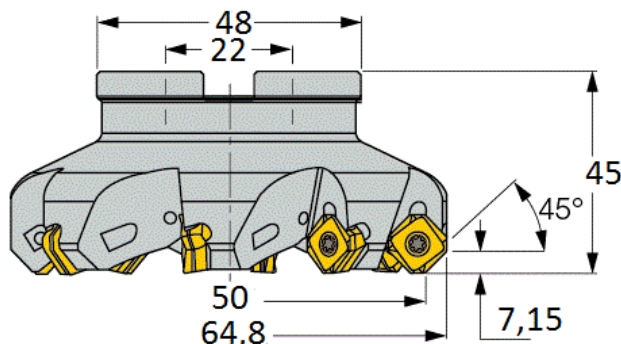
se razantně zkrátí výsledný čas operace. Pro tuto technologickou operaci bude užita čelní fréza o průměru 50 mm s 8 vyměnitelnými břitovými destičkami. Pro dokončení plochy je použit stejný nástroj.

#### 4.6.1.1 Čelní fréza Iscar S845 F45SX D050-05-22-R16

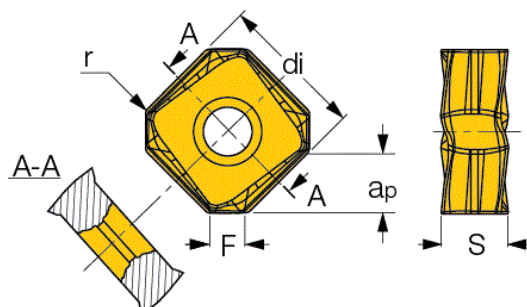
Výrobcem doporučené řezné parametry pro ušlechtilou ocel:

Řezná rychlosť [m/min]	75 – 130
Posuv na zub [mm]	0,3 – 0,5

Tabulka 3 – doporučené řezné parametry Iscar S845 F45SX D050-05-22-R16 [8]



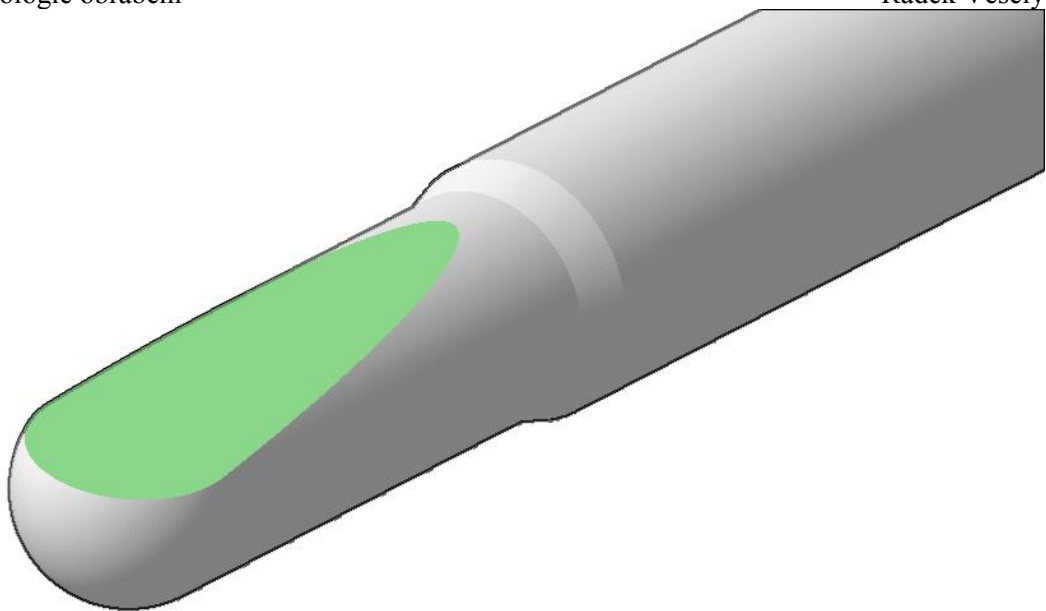
Obrázek 46 – čelní fréza ISCAR S845 F45SX D050-05-22-R16 [8]



Obrázek 47 – řezná destička Iscar S845 SXMU 1606ADTR-MM [8]

Číslo nástroje	T1
Název nástroje	D50 čelní - ISCAR S845 F45SX D050-05-22-R16
Použité VBD	Iscar S845 SXMU 1606ADTR-MM
Řezná rychlosť [m/min]	75
Otáčky za minutu [ $\text{min}^{-1}$ ]	477
Posuvová rychlosť [mm/min]	1146

Tabulka 4 - parametry nástroje Iscar S845 F45SX D050-05-22-R16



Obrázek 48 – stav po skončení předchozích technologických operací

#### 4.6.2 Hrubování lůžka pro VBD

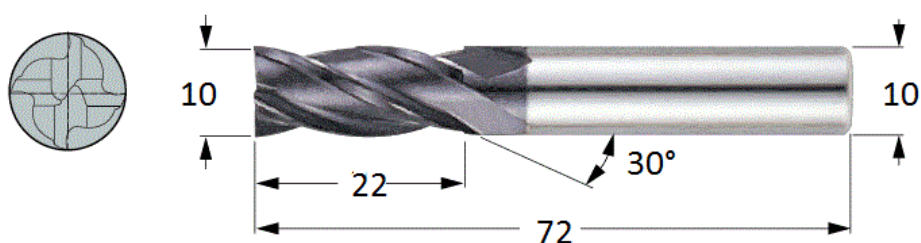
První operací při opracování samotného lůžka pro VBD je hrubování. Na hrubování je vhodné použít co možná největší nástroj, který prostor dovoluje. Zde je použita monolitní celokarbidová fréza o průměru 10 mm se 4 břity. Fréza je vhodná i pro tvrdé materiály a to i s tvrdostí nad 65 HRC. Při této operaci je nutné zanechat přídavek na dokončení. Přídavek je 0,2 mm jak na spodní straně, tak na bočních plochách.

##### 4.6.2.1 Monolitní fréza D10 Iscar EC-A4 100-22C10-72

Výrobcem doporučené řezné parametry pro ušlechtilou ocel:

Řezná rychlosť [m/min]	70 – 120
Posuv na zub [mm]	0,03 – 0,1

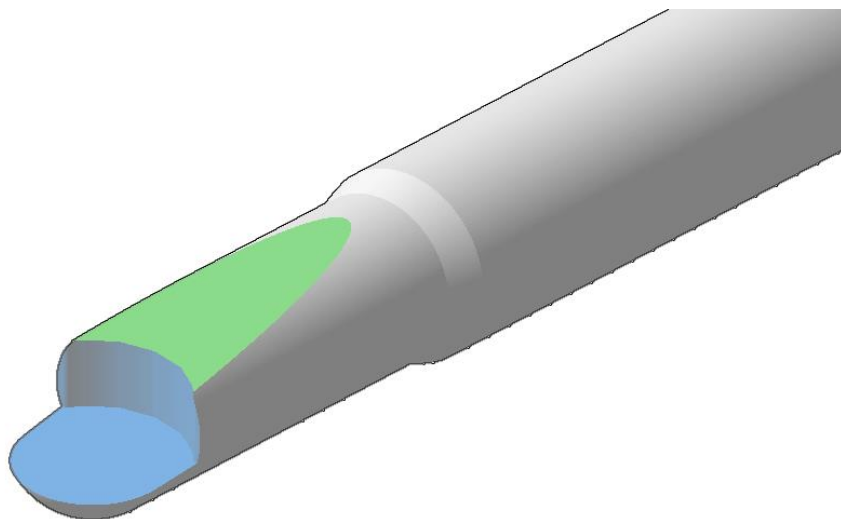
Tabulka 5 - doporučené řezné parametry Iscar EC-A4 100-22C10-72 [8]



Obrázek 49 – fréza D10 Iscar EC-A4 100-22C10-72 [8]

Číslo nástroje	T2
Název nástroje	D10 monolitní - Iscar EC-A4 100-22C10-72
Řezná rychlosť [m/min]	70
Otáčky za minutu [ $\text{min}^{-1}$ ]	2229
Posuvová rychlosť [mm/min]	445

Tabulka 6 - parametry nástroje Iscar EC-A4 100-22C10-72



Obrázek 50 - stav po skončení předchozích technologických operací

#### 4.6.3 Dohrubování a Dokončení lůžka pro VBD

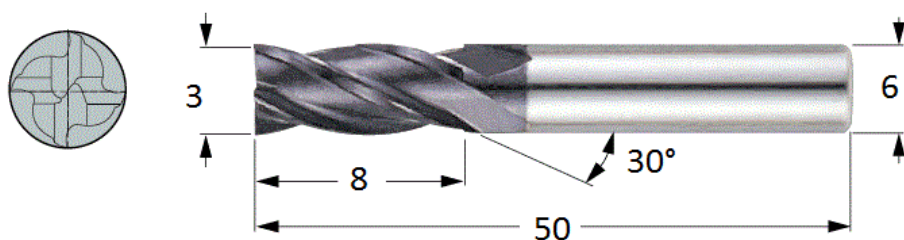
K dohrubování a dokončení lůžka se může využít stejného nástroje. V obou případech se bude jednat o monolitní celokarbidovou frézu se 4 břity jako v předchozím případě, ale však v mnohem menší modifikaci. Použitá fréza bude mít průměr 3mm. Při dohrubování dojde k obrobení výsledného tvaru s malým přídavkem od kontury a dna lůžka. Přídavky jsou zvoleny 0,2 mm. Protože je zde vyžadována vysoká přesnost je vhodné při dokončování obrábění rozdělit do několika kroků s postupným ubíráním malých přídavků.

##### 4.6.3.1 Monolitní fréza D3 Iscar EC-A4 030-080C06-50

Výrobcem doporučené řezné parametry pro ušlechtilou ocel:

Řezná rychlosť [m/min]	70 – 120
Posuv na zub [mm]	0,01 – 0,04

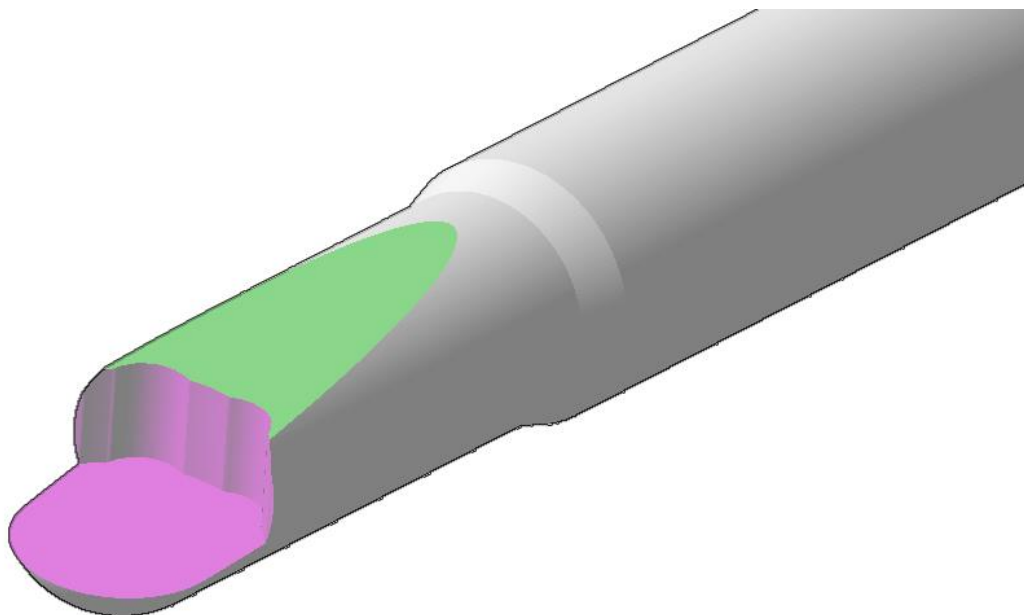
Tabulka 7 – doporučené řezné parametry Iscar EC-A4 030-080C06-50 [8]



Obrázek 51 – fréza D3 Iscar EC-A4 030-080C06-50 [8]

Číslo nástroje	T3
Název nástroje	D3 monolitní - Iscar EC-A4 030-080C06-50
Řezná rychlosť [m/min]	70
Otáčky za minutu [ $\text{min}^{-1}$ ]	7430
Posuvová rychlosť [mm/min]	297

Tabulka 8 - parametry nástroje Iscar EC-A4 030-080C06-50



Obrázek 52 - stav po skončení předchozích technologických operací

#### 4.6.4 Vrtání otvoru Ø 3,3 mm pro závit M4

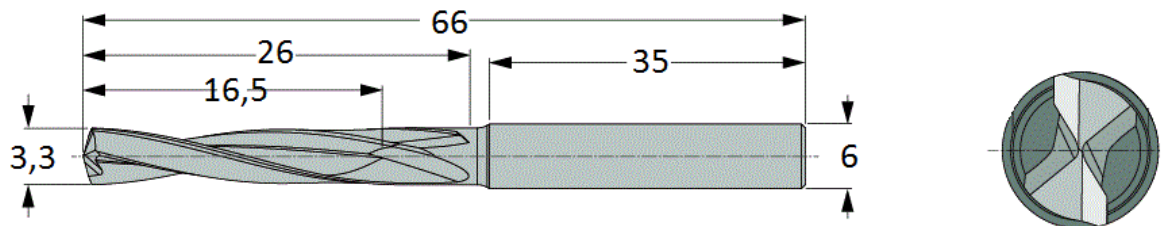
Další operací je vrtání otvoru pro závit a tím i částečné odhrubování kapsy, zámku pro upínku. Vrtání je v tomto případě podstatně výhodnější k prodloužení životnosti monolitní frézy D2,5, která je použita v další operaci. Zvýšená životnost frézy se dosáhne tím, že při předvrstaném otvoru již není potřeba zanořování frézy přímo do materiálu. Pro vrtání otvoru je použit celokarbidový vrták bez vnitřního chlazení vhodný pro tvrdé materiály.

**4.6.4.1 Vrták D3,3 Iscar SCD 033-017-060 AH5**

Výrobcem doporučené řezné parametry pro ušlechtilou ocel:

Řezná rychlosť [m/min]	10 – 15
Posuv na otáčku [mm/ot]	0,02 – 0,04

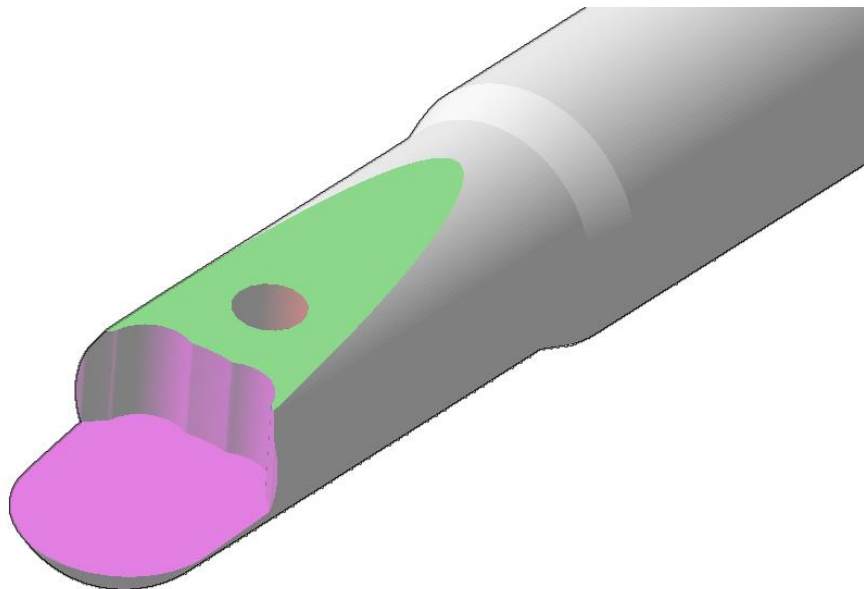
Tabulka 9 – doporučené řezné parametry Iscar SCD 033-017-060 AH5 [8]



Obrázek 53 – vrták D3,3 Iscar SCD 033-017-060 AH5 [8]

Číslo nástroje	T4
Název nástroje	D3,3 vrták - Iscar SCD 033-017-060 AH5
Řezná rychlosť [m/min]	10
Otáčky za minutu [ $\text{min}^{-1}$ ]	965
Posuvová rychlosť [mm/min]	19

Tabulka 10 - parametry nástroje Iscar SCD 033-017-060 AH5



Obrázek 54 - stav po skončení předchozích technologických operací

#### 4.6.5 Hrubování tvarového zámku pro upínku

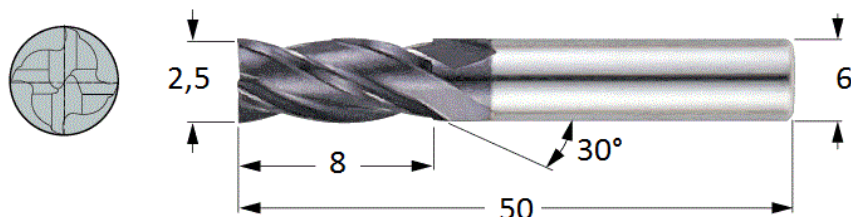
Následující operace slouží k hrubování otvoru a tvarového zámku pro upínku. Jak již bylo zmíněno v předchozím odstavci, v kapse je již vyvrácen otvor o průměru 3,3 mm, což velice usnadní frézovací cyklus. Především se předvrtného otvoru využije pro najízdění frézy, odstraní se zanořování frézy přímo do materiálu, což by zkracovalo životnost nástroje. Použita bude monolitní fréza o průměru 2,5 mm vhodná pro obrábění tvrdých materiálů.

##### 4.6.5.1 Monolitní fréza D2,5 Iscar EC-A4 025-080C06-50

Výrobcem doporučené řezné parametry pro ušlechtilou ocel:

Řezná rychlosť [m/min]	70 – 120
Posuv na zub [mm]	0,01 – 0,04

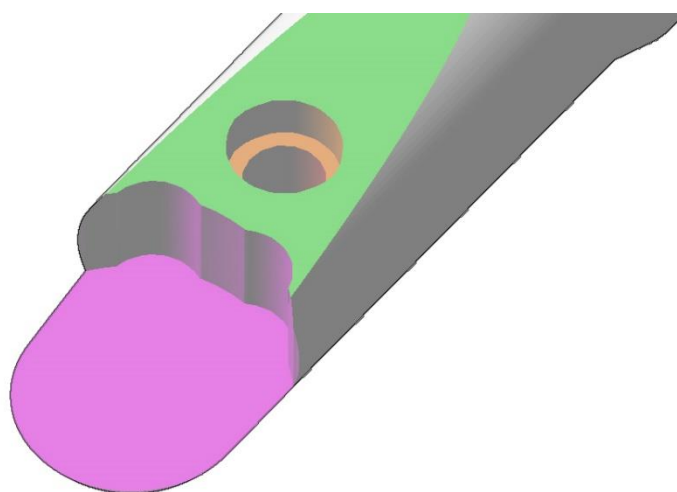
Tabulka 11 – doporučené řezné parametry Iscar EC-A4 025-080C06-50 [8]



Obrázek 55 – fréza D2,5 Iscar EC-A4 025-080C06-50 [8]

Číslo nástroje	T5
Název nástroje	D2,5 monolitní-Iscar EC-A4025-080C06-50
Řezná rychlosť [m/min]	70
Otáčky za minutu [ $\text{min}^{-1}$ ]	8917
Posuvová rychlosť [mm/min]	356

Tabulka 12 - parametry nástroje Iscar EC-A4 025-080C06-50



Obrázek 56 - stav po skončení předchozích technologických operací

#### 4.6.6 Dohrubování a dokončení tvarového zámku pro upínsku

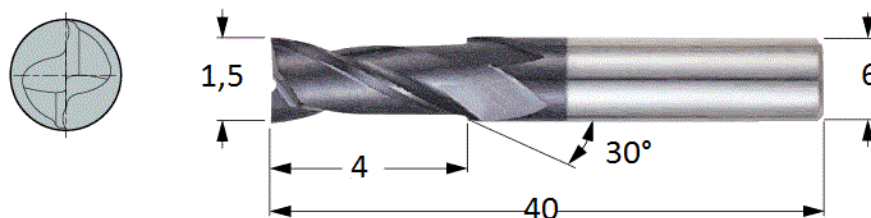
Před dokončením tvarového zámku je nutné jej nejprve dohrubovat. K oběma fázím se použije stejného nástroje a to monolitní frézy o průměru pouhých 1,5 mm, protože radius v rozích zámku činní 0,8 mm. V první fázi se provede hrubování s malým přídavkem a na závěr se provede opracování načisto.

##### 4.6.6.1 Monolitní fréza D1,5 Iscar EC-A2 015-040C06-40

Výrobcem doporučené řezné parametry pro ušlechtilou ocel:

Řezná rychlosť [m/min]	70 – 120
Posuv na zub [mm]	0,00 – 0,02

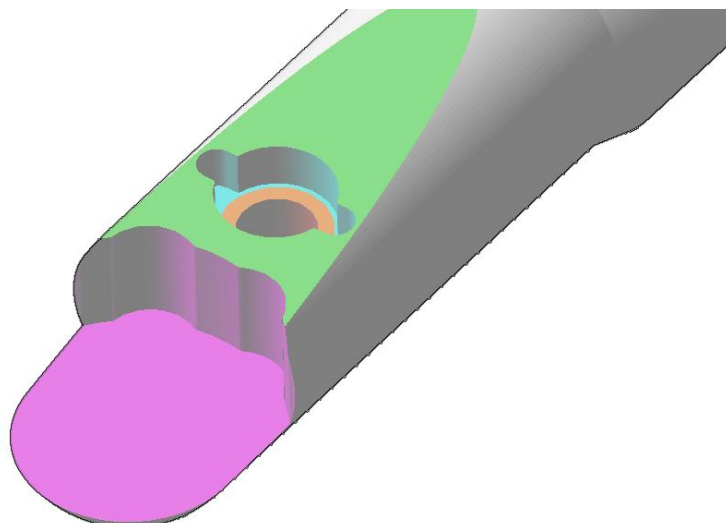
Tabulka 13 – doporučené řezné parametry Iscar EC-A2 015-040C06-40 [8]



Obrázek 57 – fréza D1,5 Iscar EC-A2 015-040C06-40 [8]

Číslo nástroje	T6
Název nástroje	D1,5 monolitní-Iscar EC-A2 015-040C06-40
Řezná rychlosť [m/min]	95
Otáčky za minutu [ $\text{min}^{-1}$ ]	14861
Posuvová rychlosť [mm/min]	148

Tabulka 14 - parametry nástroje Iscar EC-A2 015-040C06-40



Obrázek 58 - stav po skončení předchozích technologických operací

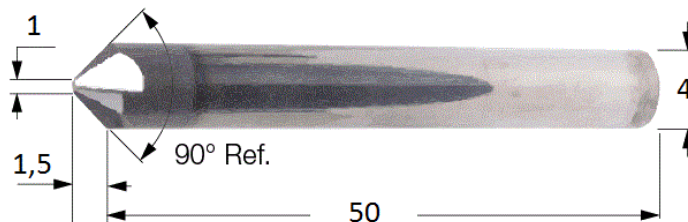
#### 4.6.7 Sražení hrany otvoru pro závit a otvoru zámku pro upínsku

Sražení hrany je v tomto případě nutnou operací, kterou nelze vynechat, jelikož se jedná o funkční části. V první řadě je nutno vytvořit sražení na otvoru, do kterého bude řezán závit. Před řezáním závitu je prakticky nutnou podmínkou vytvoření zkosení, protože by jinak mohl být náběh závitu nefunkční nebo by se časem nefunkčním stal. V druhé řadě se jedná o zkosení na tvarovém zámku pro upínsku. V tomto případě je sražení také nepostradatelné, protože otřep na vrchní části by mohl znemožnit nebo zkomplikovat vkládání upínsky. Pro sražení hran bude použit monolitní celokarbidový kuželový záhlubník s vrcholovým úhlem 90°.

##### 4.6.7.1 Monolitní fréza pro srážení hran Iscar ECF D-1.5/45-4C04 (Záhlubník)

Řezná rychlosť [m/min]	87 – 144
Posuv na otáčku [mm/ot]	0,05

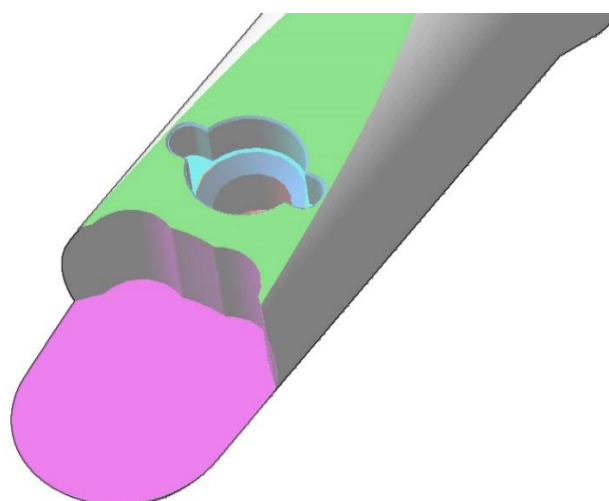
Tabulka 15 – doporučené řezné parametry Iscar ECF D-1.5/45-4C04 [8]



Obrázek 59 - záhlubník Iscar ECF D-1.5/45-4C04 [8]

Číslo nástroje	T7
Název nástroje	Záhlubník 90° - Iscar ECF D-1.5/45-4C04
Řezná rychlosť [m/min]	87
Otáčky za minutu [ $\text{min}^{-1}$ ]	6926
Posuvová rychlosť [mm/min]	346

Tabulka 16 - parametry nástroje Iscar ECF D-1.5/45-4C04



Obrázek 60 - stav po skončení předchozích technologických operací

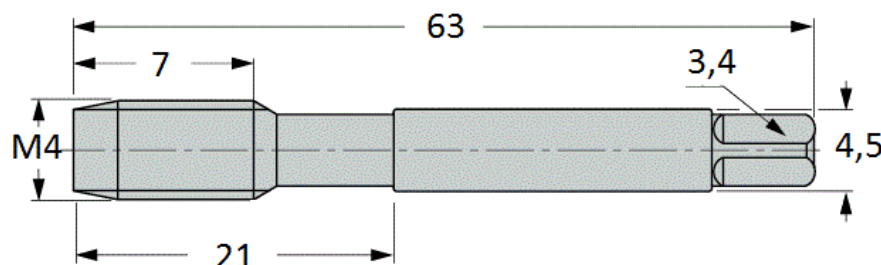
#### 4.6.8 Vytvoření závitu M4 pro šroub upínky

Poslední zbývající operací je vytvoření závitu v otvoru pro šroub, kterým je připevněna upínka. Jelikož se jedná o slepuší díru, musí se při nastavování parametrů brát velký zřetel na hloubku závitu. Je použit strojní závitník pro slepé otvory, který je charakteristický především kratší náběhovou hranou a šroubovací na obvodu pro snadnější odvod třísek.

##### 4.6.8.1 Závitník M4 Iscar TPS M-4X0.7-M

Řezná rychlosť [m/min]	2 – 3
Posuv na otáčku (stoupání závitu) [mm/ot]	0,7

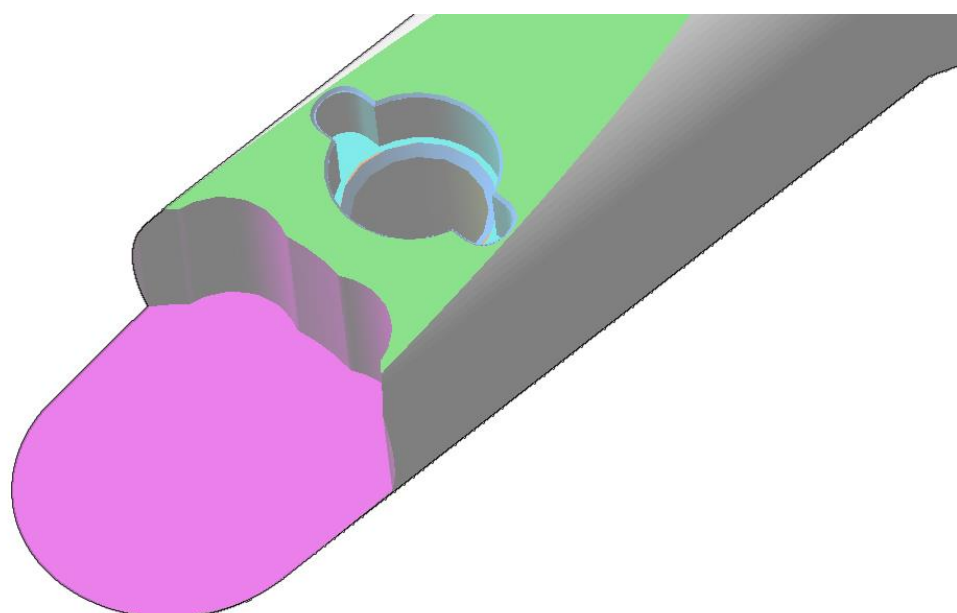
Tabulka 17 – doporučené řezné parametry Iscar TPS M-4X0.7-M [8]



Obrázek 61 – závitník M4 Iscar TPS M-4X0.7-M [8]

Číslo nástroje	T8
Název nástroje	M4x0,7 - Iscar TPS M-4X0.7-M
Řezná rychlosť [m/min]	2
Otáčky za minutu [ $\text{min}^{-1}$ ]	238

Tabulka 18 - parametry nástroje Iscar TPS M-4X0.7-M



Obrázek 62 - stav po skončení předchozích technologických operací

#### **4.7 Vytvoření NC programu s využitím CAD/CAM systému**

- vytvoření modelu součásti,
- vytvoření modelu upínacího zařízení či jiných komponent, slouží pro simulaci,
- vytvoření modelů používaných nástrojů, slouží především pro simulaci,
- vytvoření sestavy z jednotlivých částí, to je upnutí součásti do upínacího zařízení,
- v nastavení pomocí označení se rozliší na části, které jsou obráběnou součástí a které upínacím komponentem,
- vybrání nulového bodu obrobku,
- dle technologického postupu vytvoření programu, sledem vhodným obráběcích operací,
- vygenerování NC kódu pro řídicí systém pomocí příslušného postprocesoru.

## 5 Technické zhodnocení a závěr

Byla provedena studie a návrh frézovacího nástroje pro řeznou keramiku. Frézovacím nástrojem je kulová fréza. Návrh byl proveden u uvedeného nástroje z důvodů možného zvýšení produktivity v oblasti obrábění složitých tvarových ploch.

Možnostem, které jsou nabízeny moderními, stále se vyvíjecími CAD/CAM systémy jsou v neustálém vývoji i nástroje a řezné materiály. Mezi tyto nástroje patří především kulové frézy, které jsou využívány pro obrábění složitých tvarových ploch. K inovacím v oblasti řezných materiálů dochází zejména z důvodu zvyšování produktivity ve výrobě. V oblasti obrábění jde hlavně o využití co nejvyšších řezných parametrů. Těmto parametrym vyhovuje řezná keramika. Při použití řezné keramiky lze využít technologie vysokorychlostního obrábění (HSC), u níž jsou dosažitelné řezné rychlosti mnohonásobně vyšší než u některých konvenčních materiálů, kterým může být například rychlořezná ocel (HSS).

Spojením výše uvedených technologií, to je moderních CNC víceosých obráběcích strojů, CAD/CAM softwarů, kulové frézy a řezného materiálu, jímž je řezná keramika, lze dosáhnout zajímavých výsledků v navýšení produkce v oblasti obrábění složitých tvarových ploch.

Pro podrobnější výzkum daného problému by bylo však potřebné udělat některé výpočty a to především z technologických a ekonomických hledisek. Z pohledu technologického by to pak byly především pevnostní výpočty a z ekonomické stránky různé analýzy výhodnosti.

Byl proveden návrh opracování lůžka s následným zpracováním v CAD/CAM systému CATIA V5. Bylo vybráno vhodné upnutí, vhodné nástroje z katalogu výrobce ISCAR a technologie opracování jednotlivých ploch. Poslední závěrečnou částí je vygenerovaný NC kód pro řídící systém Heidenhain iTNC 530, který je ke shlédnutí v příloze č.2.

## Seznam použitých zdrojů

- [1] Příručka obrábění Pramet [online]. 2004 [cit. 2015-06-21]. Dostupné z: <http://www.pramet.cz/>.
- [2] Katalog NTK Cutting tools [online]. [cit. 2015-06-21]. Dostupné z: <http://www.ntkcuttingtools.com/>.
- [3] Upínací systémy břitových destiček [online]. [cit. 2015-06-21]. Dostupné z: [http://utopm.fsid.cvut.cz/podklady/ON/2013\\_4\\_Upinaci%20systemy\\_britovyh\\_desticek.pdf](http://utopm.fsid.cvut.cz/podklady/ON/2013_4_Upinaci%20systemy_britovyh_desticek.pdf).
- [4] T-support [online]. [cit. 2015-06-21]. Dostupné z: <http://www.t-support.cz/>.
- [5] Příručka obrábění Sandvik [online]. [cit. 2015-06-21]. Dostupné z: [http://www.sandvik.coromant.com/cs-cz/knowledge/milling/application\\_overview/Pages/default.aspx](http://www.sandvik.coromant.com/cs-cz/knowledge/milling/application_overview/Pages/default.aspx).
- [6] Amazon.com [online]. [cit. 2015-06-21]. Dostupné z: <http://ecx.images-amazon.com/images/I/71q2uhAWItL.jpg>.
- [7] Katalog Sandvik [online]. [cit. 2015-06-21]. Dostupné z: <http://www.sandvik.coromant.com/cs-cz>.
- [8] Katalog Iscar [online]. [cit. 2015-06-21]. Dostupné z: <http://www.iscar.cz>.
- [9] Direct industry [online]. [cit. 2015-06-21]. Dostupné z: [http://img.directindustry.com/images\\_di/photo-g/finishing-milling-cutter-ball-nose-17869-2402791.jpg](http://img.directindustry.com/images_di/photo-g/finishing-milling-cutter-ball-nose-17869-2402791.jpg).
- [10] Katalog CeramTec [online]. [cit. 2015-06-21]. Dostupné z: <https://www.ceramtec.com/spk-cutting-materials/>.
- [11] Tech magazín [online]. [cit. 2015-06-22]. Dostupné z: <http://www.techmagazin.cz/109>.

## Seznam obrázků

Obrázek 1 – přehled upínacích systémů ISO [1].....	10
Obrázek 2 – ISO C [1].....	10
Obrázek 3 – ukázka ISO C na frézovacím nástroji [2] .....	11
Obrázek 4 – ISO S [1] .....	11
Obrázek 5 – Ukázka ISO S na frézovacím nástroji [2] .....	11
Obrázek 6 – ISO W [1] .....	12
Obrázek 7 – ukázka ISO W na frézovacím nástroji [2] .....	12
Obrázek 8 – ISO F [1] .....	12
Obrázek 9 – ISO X [1] .....	13
Obrázek 10 - ukázka ISO X na frézovacím nástroji [3] .....	13
Obrázek 11 – Diagram s vlastnostmi řezných materiálů [4] .....	14
Obrázek 12 – ISO znační VBD [1] .....	15

Katedra technologie obrábění	Radek Veselý
Obrázek 13 – nastavení axiálního a radiálního úhlu pro první kontakt nástroje s obrobkem [1]	16
Obrázek 14 – úhel nastavení $90^\circ$ [5]	17
Obrázek 15 – úhel nastavení $45^\circ$ [5]	17
Obrázek 16 – úhel nastavení $10^\circ$ [5]	18
Obrázek 17 – úhel nastavení u fréz s kruhovým břitem [5]	18
Obrázek 18 – Obrábění kulovou frézou [8]	19
Obrázek 19 – monolitní kulová fréza [6]	20
Obrázek 20 – vyměnitelná hlavice s VBD [7]	20
Obrázek 21 – monolitní vyměnitelná hlavice [8]	20
Obrázek 22 – kulová fréza s dvěmi VBD [7]	21
Obrázek 23 – kulová fréza s VBD [7]	21
Obrázek 24 – části kulové frézy [9]	21
Obrázek 25 – rozměry frézy Iscar BallPlus [8]	22
Obrázek 26 – kulová fréza Iscar BallPlus [8]	22
Obrázek 27 – VBD do Iscar BallPlus [8]	22
Obrázek 28 – destička RNGN [10]	23
Obrázek 29 – destička RCGN [10]	23
Obrázek 30 – destička RBGN [10]	23
Obrázek 31 – destička RCGX [10]	23
Obrázek 32 – zakončení hrany destiček [10]	24
Obrázek 33 – výběr z ISO upnutí VBD [1]	24
Obrázek 34 – fréza s keramickými destičkami s podložkami [2]	24
Obrázek 35 – model negativní keramické destičky	25
Obrázek 36 – rozměry negativní keramické destičky [10]	25
Obrázek 37 – součásti navrženého nástroje	26
Obrázek 38 – opěrné plochy pod VBD	26
Obrázek 39 – tvarový zámek pro upínku	26
Obrázek 40 – působení upínacích sil	27
Obrázek 41 – model nástroje	27
Obrázek 42 – Multifunkční obráběcí centrum Yamazaki Mazak Integrex j300/400 [11]	28
Obrázek 43 - polotovar	29
Obrázek 44 - upnutí	29
Obrázek 45	30
Obrázek 46 – čelní fréza ISCAR S845 F45SX D050-05-22-R16 [8]	31

Katedra technologie obrábění	Radek Veselý
Obrázek 47 – řezná destička Iscar S845 SXMU 1606ADTR-MM [8] .....	31
Obrázek 48 – stav po skončení předchozích technologických operací .....	32
Obrázek 49 – fréza D10 Iscar EC-A4 100-22C10-72 [8] .....	32
Obrázek 50 - stav po skončení předchozích technologických operací.....	33
Obrázek 51 – fréza D3 Iscar EC-A4 030-080C06-50 [8] .....	34
Obrázek 52 - stav po skončení předchozích technologických operací.....	34
Obrázek 53 – vrták D3,3 Iscar SCD 033-017-060 AH5 [8].....	35
Obrázek 54 - stav po skončení předchozích technologických operací.....	35
Obrázek 55 – fréza D2,5 Iscar EC-A4 025-080C06-50 [8] .....	36
Obrázek 56 - stav po skončení předchozích technologických operací.....	36
Obrázek 57 – fréza D1,5 Iscar EC-A2 015-040C06-40 [8] .....	37
Obrázek 58 - stav po skončení předchozích technologických operací.....	37
Obrázek 59 - záhlubník Iscar ECF D-1.5/45-4C04 [8] .....	38
Obrázek 60 - stav po skončení předchozích technologických operací.....	38
Obrázek 61 – závitník M4 Iscar TPS M-4X0.7-M [8] .....	39
Obrázek 62 - stav po skončení předchozích technologických operací.....	39

## Seznam tabulek

Tabulka 1 – Přehled tříd konstrukčních ocelí.....	15
Tabulka 2 – chemické složení ocele ČSN 16 343 .....	25
Tabulka 3 – doporučené řezné parametry Iscar S845 F45SX D050-05-22-R16 [8].....	31
Tabulka 4 - parametry nástroje Iscar S845 F45SX D050-05-22-R16.....	31
Tabulka 5 - doporučené řezné parametry Iscar EC-A4 100-22C10-72 [8].....	32
Tabulka 6 - parametry nástroje Iscar EC-A4 100-22C10-72 .....	33
Tabulka 7 – doporučené řezné parametry Iscar EC-A4 030-080C06-50 [8] .....	33
Tabulka 8 - parametry nástroje Iscar EC-A4 030-080C06-50 .....	34
Tabulka 9 – doporučené řezné parametry Iscar SCD 033-017-060 AH5 [8].....	35
Tabulka 10 - parametry nástroje Iscar SCD 033-017-060 AH5.....	35
Tabulka 11 – doporučené řezné parametry Iscar EC-A4 025-080C06-50 [8] .....	36
Tabulka 12 - parametry nástroje Iscar EC-A4 025-080C06-50 .....	36
Tabulka 13 – doporučené řezné parametry Iscar EC-A2 015-040C06-40 [8] .....	37
Tabulka 14 - parametry nástroje Iscar EC-A2 015-040C06-40 .....	37
Tabulka 15 – doporučené řezné parametry Iscar ECF D-1.5/45-4C04 [8] .....	38
Tabulka 16 - parametry nástroje Iscar ECF D-1.5/45-4C04 .....	38

Katedra technologie obrábění	Radek Veselý
Tabulka 17 – doporučené řezné parametry Iscar TPS M-4X0.7-M [8] .....	39
Tabulka 18 - parametry nástroje Iscar TPS M-4X0.7-M .....	39

## **Seznam příloh**

Příloha č.1	Výrobní dokumentace: použité operace v Catia V5
Příloha č.2	Výrobní NC kód pro řídicí systém Heidenhain iTNC 530

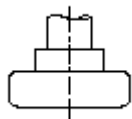
## PŘÍLOHA č. 1

**Výrobní dokumentace: použité operace v CATIA V5**

## Part operation : Part Operation.1

### Tool Change.1

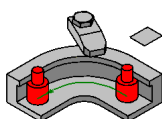
Type : Tool Change



Tool : D50 èelní - ISCAR S845 F45SX  
D050-05-22-R16  
type : Face Mill

### Profile Contouring.1

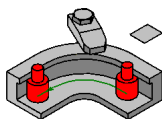
Type : Profile Contouring



Tool : D50 èelní - ISCAR S845 F45SX  
D050-05-22-R16  
type : Face Mill

### Profile Contouring.2

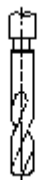
Type : Profile Contouring



Tool : D50 èelní - ISCAR S845 F45SX  
D050-05-22-R16  
type : Face Mill

### Tool Change.2

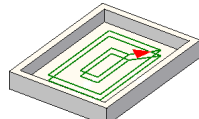
Type : Tool Change



Tool : D10 monolitní - Iscar EC-A4 100-22C10-72  
type : End Mill

### Pocketing.1

Type : Pocketing



Tool : D10 monolitní - Iscar EC-A4 100-22C10-72  
type : End Mill

---

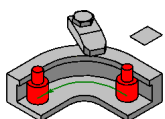
**Tool Change.3**  
Type : Tool Change



Tool : D3 monolitní - Iscar EC-A4 030-080C06-50  
type : End Mill

---

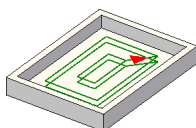
**Profile Contouring.3**  
Type : Profile Contouring



Tool : D3 monolitní - Iscar EC-A4 030-080C06-50  
type : End Mill

---

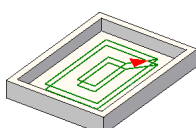
**Pocketing.2**  
Type : Pocketing



Tool : D3 monolitní - Iscar EC-A4 030-080C06-50  
type : End Mill

---

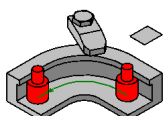
**Pocketing.3**  
Type : Pocketing



Tool : D3 monolitní - Iscar EC-A4 030-080C06-50  
type : End Mill

---

**Profile Contouring.4**  
Type : Profile Contouring



Tool : D3 monolitní - Iscar EC-A4 030-080C06-50  
type : End Mill

**Tool Change.18**

Type : Tool Change



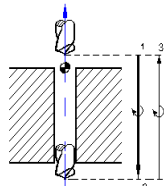
Tool : D3,3 vrták - Iscar SCD 033-017-060

AH5

type : Drill

**Drilling.1**

Type : Drilling



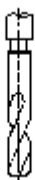
Tool : D3,3 vrták - Iscar SCD 033-017-060

AH5

type : Drill

**Tool Change.7**

Type : Tool Change



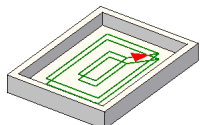
Tool : D2,5 monolitní-Iscar EC-A4025-

080C06-50

type : End Mill

**Pocketing.4**

Type : Pocketing



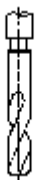
Tool : D2,5 monolitní-Iscar EC-A4025-

080C06-50

type : End Mill

**Tool Change.21**

Type : Tool Change

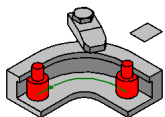


Tool : D1,5 monolitní-Iscar EC-A2 015-

040C06-40

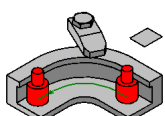
type : End Mill

**Profile Contouring.5**  
Type : Profile Contouring



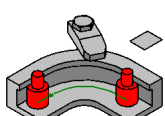
Tool : D1,5 monolitní-Iscar EC-A2 015-040C06-40  
type : End Mill

**Profile Contouring.6**  
Type : Profile Contouring



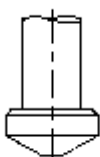
Tool : D1,5 monolitní-Iscar EC-A2 015-040C06-40  
type : End Mill

**Profile Contouring.7**  
Type : Profile Contouring



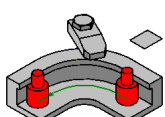
Tool : D1,5 monolitní-Iscar EC-A2 015-040C06-40  
type : End Mill

**Tool Change.15**  
Type : Tool Change



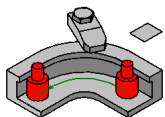
Tool : Záhlubník90° - Iscar ECF D-1.5/45-4C04  
type : Countersink

**Profile Contouring.8**  
Type : Profile Contouring



Tool : Záhlubník90° - Iscar ECF D-1.5/45-4C04  
type : Countersink

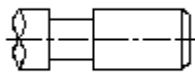
**Profile Contouring.9**  
Type : Profile Contouring



Tool : Záhlubník 90° - Iscar ECF D-1.5/45-4C04  
type : Countersink

---

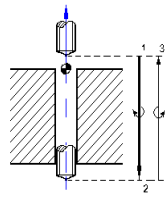
**Tool Change.9**  
Type : Tool Change



Tool : M4x0,7 - Iscar TPS M-4X0.7-M  
type : Tap

---

**Tapping.1**  
Type : Tapping



Tool : M4x0,7 - Iscar TPS M-4X0.7-M  
type : Tap

## PŘÍLOHA č. 2

### Výrobní NC kód pro řídicí systém Heidenhain iTNC 530

Katedra technologie obrábění

0 BEGIN PGM PART MM  
 1 CYCL DEF 7.0 DATUM SHIFT  
 2 CYCL DEF 7.1 X+0  
 3 CYCL DEF 7.2 Y+0  
 4 CYCL DEF 7.3 Z+0  
 5 CYCL DEF 19.0  
 BEARBEITUNGSEBENE  
 6 CYCL DEF 19.1  
 7 L Z+0 R0 FMAX M92  
 8 L Y+0 R0 FMAX M92  
 9 CYCL DEF 7.0 DATUM SHIFT  
 10 CYCL DEF 7.1 X+0  
 11 CYCL DEF 7.2 Y+0  
 12 CYCL DEF 7.3 Z+0  
 13 L Z+0 R0 FMAX M92  
 14 L Y+0 R0 FMAX M92  
 15 TOOL CALL 1 Z S368  
 ; HRUBOVÁNÍ ČELNÍ PLOCHY  
 16 L X+72.838 Y-81.49 Z+7.512  
 R0 FMAX M03  
 17 L X-13.119 Y-31.863 Z-4.675  
 FMAX  
 18 L X+.381 Y-8.48 F300.  
 19 L X+7.599 Y+4.022 F1146.  
 20 L X+21.099 Y+27.404 FMAX  
 21 L X+20.292 Y+27.87 Z-4.789  
 FMAX  
 22 L X+6.792 Y+4.488 F300.  
 23 L X-.426 Y-8.014 F1146.  
 24 L X-13.926 Y-31.396 FMAX  
 25 L X-14.733 Y-30.93 Z-4.903  
 FMAX  
 26 L X-1.233 Y-7.548 F300.  
 27 L X+5.984 Y+4.954 F1146.  
 28 L X+19.484 Y+28.337 F1000.  
 ; DOKONČENÍ ČELNÍ PLOCHY  
 29 L X-15.163 Y-30.682 Z-4.964  
 F300.  
 30 L X-1.663 Y-7.299  
 31 L X+5.554 Y+5.202 F1146.  
 32 L X+19.054 Y+28.585 F1000.  
 33 L X+105.011 Y-21.043  
 Z+7.223 FMAX  
 34 CYCL DEF 7.0 DATUM  
 SHIFT  
 35 CYCL DEF 7.1 X+0  
 36 CYCL DEF 7.2 Y+0  
 37 CYCL DEF 7.3 Z+0  
 38 L Z+0 R0 FMAX M92  
 39 L Y+0 R0 FMAX M92  
 40 TOOL CALL 2 Z S2228  
 ; HRUBOVÁNÍ LŮŽKA  
 41 L X+83.217 Y-54.971  
 Z+16.542 FMAX M03  
 42 L X-2.74 Y-5.344 Z+4.355  
 FMAX  
 43 L X-2.715 Y-5.353 Z+4.145  
 F300.  
 44 L X-2.688 Y-5.357 Z+3.937  
 45 L X-2.657 Y-5.354 Z+3.731  
 46 L X-2.622 Y-5.344 Z+3.526  
 47 L X-2.584 Y-5.329 Z+3.322

Radek Veselý

48 L X-2.543 Y-5.307 Z+3.121  
 49 L X-2.499 Y-5.279 Z+2.923  
 50 L X-2.452 Y-5.246 Z+2.726  
 51 L X-2.402 Y-5.207 Z+2.532  
 52 L X-2.349 Y-5.162 Z+2.342  
 53 L X-2.293 Y-5.111 Z+2.154  
 54 L X-2.235 Y-5.055 Z+1.969  
 55 L X-2.174 Y-4.994 Z+1.787  
 56 L X-2.11 Y-4.928 Z+1.609  
 57 L X-2.044 Y-4.856 Z+1.435  
 58 L X-1.976 Y-4.78 Z+1.264  
 59 L X-1.905 Y-4.698 Z+1.097  
 60 L X-1.832 Y-4.612 Z+.935  
 61 L X-1.757 Y-4.521 Z+.776  
 62 L X-1.681 Y-4.426 Z+.622  
 63 L X-1.602 Y-4.327 Z+.472  
 64 L X-1.521 Y-4.223 Z+.326  
 65 L X-1.439 Y-4.115 Z+.186  
 66 L X-1.355 Y-4.003 Z+.05  
 67 L X-1.27 Y-3.888 Z-.082  
 68 L X-1.183 Y-3.768 Z-.208  
 69 L X-1.095 Y-3.645 Z-.329  
 70 L X-1.005 Y-3.519 Z-.446  
 71 L X-.915 Y-3.389 Z-.557  
 72 L X-.823 Y-3.257 Z-.662  
 73 L X-.731 Y-3.121 Z-.763  
 74 L X-.637 Y-2.982 Z-.858  
 75 L X-.543 Y-2.841 Z-.947  
 76 L X-.448 Y-2.697 Z-1.031  
 77 L X-.352 Y-2.551 Z-1.11  
 78 L X-.256 Y-2.402 Z-1.183  
 79 L X-.16 Y-2.252 Z-1.25  
 80 L X-.063 Y-2.099 Z-1.311  
 81 L X+.034 Y-1.945 Z-1.367  
 82 L X+.131 Y-1.788 Z-1.416  
 83 L X+.229 Y-1.631 Z-1.46  
 84 L X+.326 Y-1.471 Z-1.498  
 85 L X+.423 Y-1.311 Z-1.53  
 86 L X+.52 Y-1.15 Z-1.557  
 87 L X+.617 Y-.987 Z-1.577  
 88 L X+.713 Y-.824 Z-1.591  
 89 L X+.803 Y-.669 Z-1.599  
 90 L X+.893 Y-.515 Z-1.602  
 91 L X+.983 Y-.359 Z-1.605  
 F1000.  
 92 L X+.1074 Y-.204 Z-1.615  
 93 L X+.1165 Y-.05 Z-1.632  
 94 L X+.1257 Y+.103 Z-1.656  
 95 L X+.1349 Y+.254 Z-1.687  
 96 L X+.1441 Y+.404 Z-1.724  
 97 L X+.1533 Y+.552 Z-1.767  
 98 L X+.1624 Y+.699 Z-1.818  
 99 L X+.1715 Y+.843 Z-1.874  
 100 L X+.1809 Y+.99 Z-1.94  
 101 L X+.1903 Y+.134 Z-2.012  
 102 L X+.1995 Y+.1275 Z-2.09  
 103 L X+.2087 Y+.1413 Z-2.176  
 104 L X+.2178 Y+.1547 Z-2.267  
 105 L X+.2267 Y+.1678 Z-2.365  
 106 L X+.2355 Y+.1805 Z-2.469  
 107 L X+.2442 Y+.1928 Z-2.579  
 108 L X+.2527 Y+.2047 Z-2.695

## Katedra technologie obrábění

171 L X-.493 Y-3.745 Z-4.982	233 L X+2.966 Y+3.597 Z+.525	Radek Veselý
172 L X-.596 Y-3.912 Z-4.932	234 L X+3.011 Y+3.712 Z+.674	292 L X-1.006 Y-2.174 Z-1.203
173 L X-.7 Y-4.081 Z-4.89	235 L X+3.053 Y+3.823 Z+.827	293 L X-.91 Y-2.025 Z-1.275
174 L X-.803 Y-4.251 Z-4.854	236 L X+3.092 Y+3.93 Z+.984	294 L X-.813 Y-1.875 Z-1.342
175 L X-.906 Y-4.423 Z-4.826	237 L X+3.129 Y+4.032 Z+1.143	295 L X-.716 Y-1.722 Z-1.404
176 L X-1.009 Y-4.596 Z-4.806	238 L X+3.162 Y+4.129 Z+1.306	296 L X-.619 Y-1.567 Z-1.459
177 L X-.996 Y-4.53 Z-4.628	239 L X+3.192 Y+4.222 Z+1.471	297 L X-.522 Y-1.411 Z-1.509
178 L X-.979 Y-4.457 Z-4.452	240 L X+3.22 Y+4.311 Z+1.639	298 L X-.425 Y-1.253 Z-1.553
179 L X-.958 Y-4.379 Z-4.28	241 L X+3.244 Y+4.395 Z+1.81	299 L X-.327 Y-1.094 Z-1.591
180 L X-.933 Y-4.295 Z-4.111	242 L X+3.265 Y+4.474 Z+1.983	300 L X-.23 Y-.934 Z-1.623
181 L X-.905 Y-4.205 Z-3.946	243 L X+3.283 Y+4.548 Z+2.159	301 L X-.133 Y-.772 Z-1.649
182 L X-.873 Y-4.109 Z-3.784	244 L X+3.298 Y+4.617 Z+2.336	302 L X-.037 Y-.61 Z-1.669
183 L X-.837 Y-4.009 Z-3.627	245 L X+3.31 Y+4.682 Z+2.516	303 L X+.06 Y-.447 Z-1.684
184 L X-.798 Y-3.903 Z-3.473	246 L X+3.318 Y+4.742 Z+2.697	304 L X+.15 Y-.292 Z-1.692
185 L X-.755 Y-3.792 Z-3.325	247 L X+3.324 Y+4.796 Z+2.879	305 L X+.24 Y-.137 Z-1.694
186 L X-.708 Y-3.676 Z-3.181	248 L X+3.327 Y+4.846 Z+3.063	306 L X+.33 Y+.018 Z-1.698
187 L X-.659 Y-3.556 Z-3.042	249 L X+3.326 Y+4.89 Z+3.248	F1000.
188 L X-.605 Y-3.431 Z-2.908	250 L X+3.322 Y+4.93 Z+3.434	307 L X+.421 Y+.173 Z-1.708
189 L X-.549 Y-3.302 Z-2.78	251 L X+3.316 Y+4.964 Z+3.621	308 L X+.512 Y+.327 Z-1.725
190 L X-.49 Y-3.169 Z-2.658	252 L X+3.306 Y+4.993 Z+3.809	309 L X+.604 Y+.48 Z-1.749
191 L X-.427 Y-3.032 Z-2.542	253 L X+3.293 Y+5.017 Z+3.997	310 L X+.696 Y+.631 Z-1.779
192 L X-.361 Y-2.891 Z-2.431	254 L X+3.278 Y+5.035 Z+4.174	311 L X+.787 Y+.781 Z-1.816
193 L X-.293 Y-2.747 Z-2.327	255 L X+3.261 Y+5.048 Z+4.352	312 L X+.879 Y+.929 Z-1.86
194 L X-.222 Y-2.6 Z-2.23	256 L X-2.74 Y-5.344 Z+4.355	313 L X+.971 Y+1.076 Z-1.91
195 L X-.148 Y-2.45 Z-2.138	FMAX	314 L X+1.062 Y+1.22 Z-1.967
196 L X-.072 Y-2.297 Z-2.054	257 L X-3.393 Y-4.967 Z+4.262	315 L X+1.156 Y+1.367 Z-2.032
197 L X+.007 Y-2.142 Z-1.977	FMAX	316 L X+1.25 Y+1.511 Z-2.104
198 L X+.087 Y-1.985 Z-1.906	258 L X-3.369 Y-4.976 Z+4.053	317 L X+1.342 Y+1.652 Z-2.183
199 L X+.17 Y-1.826 Z-1.843	F300.	318 L X+1.434 Y+1.79 Z-2.268
200 L X+.255 Y-1.665 Z-1.787	259 L X-3.341 Y-4.979 Z+3.845	319 L X+1.525 Y+1.924 Z-2.36
201 L X+.342 Y-1.503 Z-1.738	260 L X-3.31 Y-4.976 Z+3.638	320 L X+1.614 Y+2.055 Z-2.458
202 L X+.43 Y-1.339 Z-1.696	261 L X-3.276 Y-4.967 Z+3.433	321 L X+1.702 Y+2.182 Z-2.562
203 L X+.52 Y-1.175 Z-1.662	262 L X-3.238 Y-4.951 Z+3.23	322 L X+1.789 Y+2.305 Z-2.672
204 L X+.612 Y-1.01 Z-1.636	263 L X-3.197 Y-4.93 Z+3.029	323 L X+1.873 Y+2.424 Z-2.788
205 L X+.705 Y-.845 Z-1.617	264 L X-3.153 Y-4.902 Z+2.83	324 L X+1.957 Y+2.538 Z-2.909
206 L X+.798 Y-.68 Z-1.606	265 L X-3.105 Y-4.869 Z+2.634	325 L X+2.038 Y+2.648 Z-3.035
207 L X+.893 Y-.515 Z-1.602	266 L X-3.055 Y-4.83 Z+2.44	326 L X+2.117 Y+2.753 Z-3.167
208 L X+.998 Y-.332 Z-1.598	267 L X-3.002 Y-4.785 Z+2.249	327 L X+2.194 Y+2.853 Z-3.304
209 L X+1.102 Y-.149 Z-1.587	268 L X-2.947 Y-4.734 Z+2.061	328 L X+2.269 Y+2.947 Z-3.446
210 L X+1.204 Y+.032 Z-1.569	269 L X-2.888 Y-4.678 Z+1.876	329 L X+2.342 Y+3.037 Z-3.592
211 L X+1.305 Y+.213 Z-1.544	270 L X-2.827 Y-4.617 Z+1.695	330 L X+2.412 Y+3.122 Z-3.743
212 L X+1.404 Y+.392 Z-1.512	271 L X-2.763 Y-4.551 Z+1.517	331 L X+2.479 Y+3.2 Z-3.897
213 L X+1.501 Y+.57 Z-1.473	272 L X-2.697 Y-4.479 Z+1.342	332 L X+2.544 Y+3.274 Z-4.056
214 L X+1.596 Y+.746 Z-1.427	273 L X-2.629 Y-4.403 Z+1.172	333 L X+2.606 Y+3.341 Z-4.218
215 L X+1.69 Y+.92 Z-1.375	274 L X-2.558 Y-4.321 Z+1.005	334 L X+2.665 Y+3.403 Z-4.384
216 L X+1.781 Y+1.093 Z-1.317	275 L X-2.486 Y-4.235 Z+.842	335 L X+2.721 Y+3.458 Z-4.552
217 L X+1.87 Y+1.264 Z-1.252	276 L X-2.411 Y-4.144 Z+.684	336 L X+2.774 Y+3.508 Z-4.724
218 L X+1.957 Y+1.432 Z-1.181	277 L X-2.334 Y-4.049 Z+.529	337 L X+2.824 Y+3.552 Z-4.898
219 L X+2.042 Y+1.598 Z-1.104	278 L X-2.255 Y-3.95 Z+.379	338 L X+2.725 Y+3.376 Z-4.918
220 L X+2.125 Y+1.761 Z-1.021	279 L X-2.175 Y-3.846 Z+.234	339 L X+2.628 Y+3.201 Z-4.946
221 L X+2.205 Y+1.922 Z-932	280 L X-2.092 Y-3.738 Z+.093	340 L X+2.532 Y+3.026 Z-4.982
222 L X+2.283 Y+2.08 Z-.838	281 L X-2.008 Y-3.626 Z-.043	341 L X+2.438 Y+2.852 Z-5.024
223 L X+2.358 Y+2.235 Z-.738	282 L X-1.923 Y-3.51 Z-.174	342 L X+2.345 Y+2.679 Z-5.074
224 L X+2.431 Y+2.387 Z-.633	283 L X-1.836 Y-3.391 Z-.301	343 L X+2.254 Y+2.507 Z-5.131
225 L X+2.501 Y+2.536 Z-.523	284 L X-1.748 Y-3.268 Z-.422	344 L X+2.165 Y+2.337 Z-5.195
226 L X+2.569 Y+2.681 Z-.408	285 L X-1.659 Y-3.142 Z-.538	345 L X+2.077 Y+2.168 Z-5.266
227 L X+2.634 Y+2.823 Z-.288	286 L X-1.568 Y-3.012 Z-.649	346 L X+1.992 Y+2.002 Z-5.344
228 L X+2.696 Y+2.962 Z-.163	287 L X-1.477 Y-2.88 Z-.755	347 L X+1.91 Y+1.838 Z-5.429
229 L X+2.756 Y+3.097 Z-.034	288 L X-1.384 Y-2.744 Z-.856	348 L X+1.829 Y+1.676 Z-5.52
230 L X+2.813 Y+3.228 Z+.1	289 L X-1.29 Y-2.605 Z-.951	349 L X+1.751 Y+1.517 Z-5.618
231 L X+2.866 Y+3.355 Z+.237	290 L X-1.196 Y-2.464 Z-1.04	350 L X+1.676 Y+1.36 Z-5.722
232 L X+2.917 Y+3.478 Z+.379	291 L X-1.101 Y-2.32 Z-1.124	351 L X+1.603 Y+1.207 Z-5.833
		352 L X+1.533 Y+1.057 Z-5.949

## Katedra technologie obrábění

353 L X+1.465 Y+.91 Z-6.072	415 L X-.398 Y-1.288 Z-1.879	Radek Veselý
354 L X+1.401 Y+.768 Z-6.2	416 L X-.311 Y-1.125 Z-1.83	474 L X-3.994 Y-4.602 Z+3.752
355 L X+1.34 Y+.629 Z-6.334	417 L X-.223 Y-.962 Z-1.789	475 L X-3.963 Y-4.599 Z+3.545
356 L X+1.282 Y+.494 Z-6.474	418 L X-.133 Y-.798 Z-1.755	476 L X-3.929 Y-4.59 Z+3.34
357 L X+1.227 Y+.363 Z-6.618	419 L X-.041 Y-.633 Z-1.729	477 L X-3.891 Y-4.574 Z+3.137
358 L X+1.175 Y+.237 Z-6.768	420 L X+.051 Y-.468 Z-1.71	478 L X-3.85 Y-4.553 Z+2.936
359 L X+1.127 Y+.115 Z-6.923	421 L X+.145 Y-.302 Z-1.698	479 L X-3.806 Y-4.525 Z+2.737
360 L X+1.081 Y+.007 Z-7.041	422 L X+.24 Y-.137 Z-1.694	480 L X-3.759 Y-4.492 Z+2.541
361 L X+1.011 Y-.152 Z-7.191	423 L X+.345 Y+.046 Z-1.691	481 L X-3.709 Y-4.452 Z+2.347
362 L X+.901 Y-.351 Z-7.226	424 L X+.449 Y+.228 Z-1.68	482 L X-3.656 Y-4.407 Z+2.156
363 L X+.865 Y-.415 Z-7.236	425 L X+.551 Y+.409 Z-1.662	483 L X-3.6 Y-4.357 Z+1.968
364 L X+.829 Y-.479 Z-7.239	426 L X+.651 Y+.59 Z-1.637	484 L X-3.541 Y-4.301 Z+1.784
365 L X+.792 Y-.542 Z-7.236	427 L X+.75 Y+.769 Z-1.605	485 L X-3.48 Y-4.24 Z+1.602
366 L X+.754 Y-.605 Z-7.226	428 L X+.848 Y+.947 Z-1.566	486 L X-3.417 Y-4.173 Z+1.424
367 L X+.637 Y-.8 Z-7.191	429 L X+.943 Y+1.123 Z-1.52	487 L X-3.351 Y-4.102 Z+1.25
368 L X+.534 Y-.94 Z-7.041	430 L X+1.036 Y+1.298 Z-1.468	488 L X-3.282 Y-4.025 Z+1.079
369 L X+.464 Y-1.034 Z-6.923	431 L X+1.128 Y+1.47 Z-1.409	489 L X-3.212 Y-3.944 Z+.912
370 L X+.383 Y-1.136 Z-6.768	432 L X+1.217 Y+1.641 Z-1.344	490 L X-3.139 Y-3.858 Z+.749
371 L X+.299 Y-1.244 Z-6.619	433 L X+1.304 Y+1.809 Z-1.273	491 L X-3.064 Y-3.767 Z+.591
372 L X+.214 Y-1.357 Z-6.474	434 L X+1.389 Y+1.975 Z-1.196	492 L X-2.987 Y-3.672 Z+.437
373 L X+.126 Y-1.474 Z-6.335	435 L X+1.471 Y+2.139 Z-1.113	493 L X-2.908 Y-3.572 Z+.287
374 L X+.036 Y-1.597 Z-6.201	436 L X+1.552 Y+2.299 Z-1.025	494 L X-2.828 Y-3.469 Z+.141
375 L X-.055 Y-1.724 Z-6.072	437 L X+1.63 Y+2.457 Z-.93	495 L X-2.746 Y-3.361 Z+.0
376 L X-.149 Y-1.855 Z-5.95	438 L X+1.705 Y+2.612 Z-.831	496 L X-2.662 Y-3.249 Z-.136
377 L X-.243 Y-1.991 Z-5.833	439 L X+1.778 Y+2.764 Z-.726	497 L X-2.576 Y-3.133 Z-.267
378 L X-.34 Y-2.13 Z-5.723	440 L X+1.848 Y+2.913 Z-.615	498 L X-2.49 Y-3.014 Z-.393
379 L X-.437 Y-2.274 Z-5.618	441 L X+1.916 Y+3.059 Z-.5	499 L X-2.401 Y-2.891 Z-.515
380 L X-.536 Y-2.421 Z-5.52	442 L X+1.981 Y+3.201 Z-.38	500 L X-2.312 Y-2.765 Z-.631
381 L X-.636 Y-2.571 Z-5.429	443 L X+2.043 Y+3.339 Z-.256	501 L X-2.221 Y-2.635 Z-.742
382 L X-.737 Y-2.725 Z-5.345	444 L X+2.103 Y+3.474 Z-.127	502 L X-2.13 Y-2.502 Z-.848
383 L X-.838 Y-2.882 Z-5.267	445 L X+2.159 Y+3.605 Z+.007	503 L X-2.037 Y-2.367 Z-.948
384 L X-.94 Y-3.041 Z-5.196	446 L X+2.213 Y+3.732 Z+.145	504 L X-1.944 Y-2.228 Z-1.043
385 L X-1.043 Y-3.204 Z-5.132	447 L X+2.264 Y+3.855 Z+.287	505 L X-1.849 Y-2.087 Z-1.133
386 L X-1.146 Y-3.368 Z-5.075	448 L X+2.312 Y+3.975 Z+.432	506 L X-1.754 Y-1.943 Z-1.217
387 L X-1.249 Y-3.535 Z-5.025	449 L X+2.358 Y+4.09 Z+.582	507 L X-1.659 Y-1.797 Z-1.295
388 L X-1.353 Y-3.703 Z-4.982	450 L X+2.4 Y+4.2 Z+.735	508 L X-1.563 Y-1.648 Z-1.368
389 L X-1.456 Y-3.874 Z-4.947	451 L X+2.439 Y+4.307 Z+.891	509 L X-1.466 Y-1.497 Z-1.435
390 L X-1.559 Y-4.046 Z-4.919	452 L X+2.475 Y+4.409 Z+.105	510 L X-1.369 Y-1.345 Z-1.496
391 L X-1.662 Y-4.219 Z-4.898	453 L X+2.509 Y+4.507 Z+.1213	511 L X-1.272 Y-1.19 Z-1.552
392 L X-1.649 Y-4.152 Z-4.72	454 L X+2.539 Y+4.6 Z+1.379	512 L X-1.175 Y-1.034 Z-1.602
393 L X-1.632 Y-4.08 Z-4.545	455 L X+2.566 Y+4.688 Z+.1547	513 L X-1.078 Y-.876 Z-1.646
394 L X-1.611 Y-4.002 Z-4.373	456 L X+2.59 Y+4.772 Z+.1718	514 L X-.981 Y-.717 Z-1.684
395 L X-1.587 Y-3.917 Z-4.204	457 L X+2.612 Y+4.851 Z+.1891	515 L X-.883 Y-.557 Z-1.716
396 L X-1.558 Y-3.828 Z-4.038	458 L X+2.63 Y+4.925 Z+.2066	516 L X-.786 Y-.395 Z-1.742
397 L X-1.526 Y-3.732 Z-3.877	459 L X+2.645 Y+4.995 Z+.2244	517 L X-.69 Y-.233 Z-1.762
398 L X-1.49 Y-3.632 Z-3.719	460 L X+2.656 Y+5.059 Z+.2423	518 L X-.594 Y-.07 Z-1.776
399 L X-1.451 Y-3.526 Z-3.566	461 L X+2.665 Y+5.119 Z+.2604	519 L X-.503 Y+.085 Z-1.784
400 L X-1.408 Y-3.415 Z-3.417	462 L X+2.671 Y+5.173 Z+.2786	520 L X-.413 Y+.24 Z-1.787
401 L X-1.362 Y-3.299 Z-3.273	463 L X+2.673 Y+5.223 Z+.297	521 L X-.323 Y+.395 Z-1.791
402 L X-1.312 Y-3.179 Z-3.135	464 L Y+5.268 Z+3.155	F1000.
403 L X-1.259 Y-3.054 Z-3.001	465 L X+2.669 Y+5.307 Z+.341	522 L X-.232 Y+.55 Z-1.801
404 L X-1.202 Y-2.925 Z-2.873	466 L X+2.662 Y+5.341 Z+.3528	523 L X-.141 Y+.704 Z-1.818
405 L X-1.143 Y-2.792 Z-2.751	467 L X+2.653 Y+5.37 Z+.3716	524 L X-.049 Y+.857 Z-1.841
406 L X-1.08 Y-2.655 Z-2.634	468 L X+2.64 Y+5.394 Z+.3904	525 L X+.042 Y+1.008 Z-1.872
407 L X-1.015 Y-2.514 Z-2.524	469 L X+2.625 Y+5.412 Z+.4082	526 L X+.134 Y+1.158 Z-1.909
408 L X-.946 Y-2.37 Z-2.42	470 L X+2.608 Y+5.426 Z+.4259	527 L X+.226 Y+1.307 Z-1.953
409 L X-.875 Y-2.223 Z-2.322	471 L X-3.393 Y-4.967 Z+.4262	528 L X+.318 Y+1.453 Z-2.003
410 L X-.802 Y-2.073 Z-2.231	FMAX	529 L X+.409 Y+1.597 Z-2.06
411 L X-.725 Y-1.92 Z-2.147	472 L X-4.046 Y-4.589 Z+.417	530 L X+.503 Y+1.744 Z-2.125
412 L X-.647 Y-1.765 Z-2.069	FMAX	531 L X+.596 Y+1.888 Z-2.197
413 L X-.566 Y-1.608 Z-1.999	473 L X-4.022 Y-4.599 Z+.396	532 L X+.689 Y+2.029 Z-2.276
414 L X-.483 Y-1.449 Z-1.935	F300.	533 L X+.781 Y+2.167 Z-2.361
		534 L X+.871 Y+2.301 Z-2.453

## Katedra technologie obrábění

	Radek Veselý
535 L X+.961 Y+2.432 Z-2.551	597 L X-1.39 Y-2.348 Z-5.437
536 L X+1.049 Y+2.559 Z-2.654	598 L X-1.491 Y-2.505 Z-5.359
537 L X+1.135 Y+2.682 Z-2.764	599 L X-1.594 Y-2.664 Z-5.288
538 L X+1.22 Y+2.801 Z-2.88	600 L X-1.696 Y-2.826 Z-5.224
539 L X+1.303 Y+2.915 Z-3.001	601 L X-1.799 Y-2.991 Z-5.167
540 L X+1.385 Y+3.025 Z-3.128	602 L X-1.903 Y-3.158 Z-5.117
541 L X+1.464 Y+3.13 Z-3.26	603 L X-2.006 Y-3.326 Z-5.075
542 L X+1.541 Y+3.23 Z-3.397	604 L X-2.11 Y-3.497 Z-5.04
543 L X+1.616 Y+3.325 Z-3.539	605 L X-2.213 Y-3.669 Z-5.011
544 L X+1.688 Y+3.414 Z-3.685	606 L X-2.316 Y-3.842 Z-4.991
545 L X+1.759 Y+3.499 Z-3.835	607 L X-2.302 Y-3.775 Z-4.813
546 L X+1.826 Y+3.578 Z-3.99	608 L X-2.285 Y-3.703 Z-4.638
547 L X+1.891 Y+3.651 Z-4.149	609 L X-2.265 Y-3.624 Z-4.465
548 L X+1.953 Y+3.718 Z-4.311	610 L X-2.24 Y-3.54 Z-4.296
549 L X+2.012 Y+3.78 Z-4.476	611 L X-2.212 Y-3.45 Z-4.131
550 L X+2.068 Y+3.836 Z-4.645	612 L X-2.18 Y-3.355 Z-3.969
551 L X+2.121 Y+3.885 Z-4.816	613 L X-2.144 Y-3.254 Z-3.812
552 L X+2.171 Y+3.929 Z-4.99	614 L X-2.104 Y-3.149 Z-3.659
553 L X+2.072 Y+3.753 Z-5.011	615 L X-2.061 Y-3.038 Z-3.51
554 L X+1.975 Y+3.578 Z-5.039	616 L X-2.015 Y-2.922 Z-3.366
555 L X+1.879 Y+3.403 Z-5.074	617 L X-1.965 Y-2.802 Z-3.227
556 L X+1.784 Y+3.229 Z-5.117	618 L X-1.912 Y-2.677 Z-3.094
557 L X+1.692 Y+3.056 Z-5.167	619 L X-1.856 Y-2.548 Z-2.966
558 L X+1.601 Y+2.884 Z-5.224	620 L X-1.796 Y-2.414 Z-2.843
559 L X+1.511 Y+2.714 Z-5.288	621 L X-1.734 Y-2.277 Z-2.727
560 L X+1.424 Y+2.546 Z-5.359	622 L X-1.668 Y-2.137 Z-2.617
561 L X+1.339 Y+2.379 Z-5.437	623 L X-1.6 Y-1.993 Z-2.512
562 L X+1.256 Y+2.215 Z-5.521	624 L X-1.529 Y-1.846 Z-2.415
563 L X+1.176 Y+2.053 Z-5.613	625 L X-1.455 Y-1.696 Z-2.324
564 L X+1.098 Y+1.894 Z-5.71	626 L X-1.379 Y-1.543 Z-2.239
565 L X+1.022 Y+1.737 Z-5.815	627 L X-1.3 Y-1.388 Z-2.162
566 L X+.949 Y+1.584 Z-5.925	628 L X-1.219 Y-1.231 Z-2.091
567 L X+.879 Y+1.434 Z-6.042	629 L X-1.136 Y-1.071 Z-2.028
568 L X+.812 Y+1.288 Z-6.164	630 L X-1.051 Y-.911 Z-1.972
569 L X+.748 Y+1.145 Z-6.293	631 L X-.965 Y-.748 Z-1.923
570 L X+.687 Y+1.006 Z-6.427	632 L X-.876 Y-.585 Z-1.882
571 L X+.629 Y+.871 Z-6.566	633 L X-.786 Y-.421 Z-1.848
572 L X+.574 Y+.74 Z-6.711	634 L X-.695 Y-.256 Z-1.821
573 L X+.522 Y+.614 Z-6.861	635 L X-.602 Y-.091 Z-1.802
574 L X+.474 Y+.493 Z-7.015	636 L X-.508 Y+.075 Z-1.791
575 L X+.428 Y+.384 Z-7.134	637 L X-.413 Y+.24 Z-1.787
576 L X+.358 Y+.225 Z-7.284	638 L X-.308 Y+.423 Z-1.783
577 L X+.248 Y+.027 Z-7.319	639 L X-.205 Y+.605 Z-1.773
578 L X+.212 Y-.037 Z-7.328	640 L X-.102 Y+.787 Z-1.754
579 L X+.176 Y-.101 Z-7.331	641 L X-.002 Y+.967 Z-1.729
580 L X+.138 Y-.165 Z-7.328	642 L X+.097 Y+1.146 Z-1.697
581 L X+.101 Y-.228 Z-7.319	643 L X+.194 Y+1.324 Z-1.658
582 L X-.016 Y-.422 Z-7.284	644 L X+.29 Y+1.5 Z-1.613
583 L X-.119 Y-.563 Z-7.134	645 L X+.383 Y+1.675 Z-1.56
584 L X-.19 Y-.657 Z-7.015	646 L X+.474 Y+1.847 Z-1.502
585 L X-.271 Y-.759 Z-6.861	647 L X+.564 Y+2.018 Z-1.437
586 L X-.354 Y-.867 Z-6.711	648 L X+.651 Y+2.186 Z-1.366
587 L X-.44 Y-.98 Z-6.567	649 L X+.736 Y+2.352 Z-1.289
588 L X-.527 Y-1.097 Z-6.427	650 L X+.818 Y+2.516 Z-1.206
589 L X-.617 Y-1.22 Z-6.293	651 L X+.898 Y+2.676 Z-1.117
590 L X-.709 Y-1.347 Z-6.165	652 L X+.976 Y+2.834 Z-1.023
591 L X-.802 Y-1.478 Z-6.042	653 L X+1.052 Y+2.989 Z-.923
592 L X-.897 Y-1.613 Z-5.926	654 L X+1.125 Y+3.141 Z-.818
593 L X-.993 Y-1.753 Z-5.815	655 L X+1.195 Y+3.29 Z-.708
594 L X-1.09 Y-1.896 Z-5.711	656 L X+1.262 Y+3.436 Z-.593
595 L X-1.189 Y-2.044 Z-5.613	657 L X+1.327 Y+3.578 Z-.473
596 L X-1.289 Y-2.194 Z-5.522	658 L X+1.39 Y+3.716 Z-.348

## Katedra technologie obrábění

	Radek Veselý
718 L X-2.69 Y-1.989 Z-1.041	779 L X+.445 Y+2.271 Z-5.803
719 L X-2.597 Y-1.851 Z-1.136	780 L X+.369 Y+2.115 Z-5.907
720 L X-2.503 Y-1.71 Z-1.225	781 L X+.296 Y+1.961 Z-6.018
721 L X-2.408 Y-1.566 Z-1.309	782 L X+.226 Y+1.811 Z-6.134
722 L X-2.312 Y-1.419 Z-1.388	783 L X+.159 Y+1.665 Z-6.257
723 L X-2.216 Y-1.271 Z-1.461	784 L X+.095 Y+1.522 Z-6.385
724 L X-2.12 Y-1.12 Z-1.528	785 L X+.033 Y+1.383 Z-6.519
725 L X-2.023 Y-1.968 Z-1.589	786 L X-.025 Y+1.248 Z-6.659
726 L X-1.926 Y-1.813 Z-1.645	787 L X-.08 Y+1.118 Z-6.804
727 L X-1.828 Y-.657 Z-1.694	788 L X-.131 Y+.991 Z-6.953
728 L X-1.731 Y-.499 Z-1.738	789 L X-.18 Y+.87 Z-7.108
729 L X-1.634 Y-.34 Z-1.776	790 L X-.225 Y+.762 Z-7.226
730 L X-1.537 Y-.18 Z-1.808	791 L X-.296 Y+.603 Z-7.377
731 L X-1.44 Y-.018 Z-1.835	792 L X-.406 Y+.404 Z-7.411
732 L X-1.343 Y+.144 Z-1.855	793 L X-.441 Y+.34 Z-7.421
733 L X-1.247 Y+.308 Z-1.869	794 L X-.478 Y+.276 Z-7.424
734 L X-1.156 Y+.462 Z-1.877	795 L X-.515 Y+.212 Z-7.421
735 L X-1.067 Y+.617 Z-1.88	796 L X-.552 Y+.149 Z-7.411
736 L X-.976 Y+.772 Z-1.883	797 L X-.67 Y-.045 Z-7.377
F1000.	798 L X-.772 Y-.186 Z-7.226
737 L X-.886 Y+.927 Z-1.893	799 L X-.843 Y-.279 Z-7.108
738 L X-.794 Y+.1081 Z-1.91	800 L X-.924 Y-.382 Z-6.953
739 L X-.703 Y+.1234 Z-1.934	801 L X-1.007 Y-.49 Z-6.804
740 L X-.611 Y+.1386 Z-1.964	802 L X-1.093 Y-.602 Z-6.659
741 L X-.519 Y+.1536 Z-2.002	803 L X-1.181 Y-.72 Z-6.52
742 L X-.427 Y+.1684 Z-2.045	804 L X-1.27 Y-.842 Z-6.386
743 L X-.336 Y+.183 Z-2.095	805 L X-1.362 Y-.969 Z-6.257
744 L X-.244 Y+.1974 Z-2.152	806 L X-1.455 Y-1.101 Z-6.135
745 L X-.15 Y+.2.121 Z-2.217	807 L X-1.55 Y-1.236 Z-6.018
746 L X-.057 Y+.2.265 Z-2.29	808 L X-1.646 Y-1.376 Z-5.908
747 L X+.036 Y+.2.406 Z-2.368	809 L X-1.744 Y-1.519 Z-5.804
748 L X+.127 Y+.2.544 Z-2.454	810 L X-1.843 Y-1.666 Z-5.706
749 L X+.218 Y+.2.679 Z-2.545	811 L X-1.942 Y-1.817 Z-5.614
750 L X+.307 Y+.2.809 Z-2.643	812 L X-2.043 Y-1.971 Z-5.53
751 L X+.395 Y+.2.936 Z-2.747	813 L X-2.145 Y-2.127 Z-5.452
752 L X+.482 Y+.3.059 Z-2.857	814 L X-2.247 Y-2.287 Z-5.381
753 L X+.567 Y+.3.178 Z-2.973	815 L X-2.35 Y-2.449 Z-5.317
754 L X+.65 Y+.3.292 Z-3.094	816 L X-2.453 Y-2.614 Z-5.26
755 L X+.731 Y+.3.402 Z-3.221	817 L X-2.556 Y-2.78 Z-5.21
756 L X+.811 Y+.3.507 Z-3.353	818 L X-2.659 Y-2.949 Z-5.167
757 L X+.888 Y+.3.607 Z-3.489	819 L X-2.763 Y-3.12 Z-5.132
758 L X+.963 Y+.3.702 Z-3.631	820 L X-2.866 Y-3.291 Z-5.104
759 L X+.035 Y+.3.792 Z-3.777	821 L X-2.969 Y-3.464 Z-5.083
760 L X+.105 Y+.3.876 Z-3.928	822 L X-2.956 Y-3.398 Z-4.905
761 L X+.173 Y+.3.955 Z-4.083	823 L X-2.939 Y-3.326 Z-4.73
762 L X+.237 Y+.4.028 Z-4.241	824 L X-2.918 Y-3.247 Z-4.558
763 L X+.299 Y+.4.095 Z-4.403	825 L X-2.893 Y-3.163 Z-4.389
764 L X+.358 Y+.4.157 Z-4.569	826 L X-2.865 Y-3.073 Z-4.224
765 L X+.415 Y+.4.213 Z-4.737	827 L X-2.833 Y-2.978 Z-4.062
766 L X+.468 Y+.4.262 Z-4.909	828 L X-2.797 Y-2.877 Z-3.904
767 L X+.517 Y+.4.306 Z-5.083	829 L X-2.758 Y-2.771 Z-3.751
768 L X+.419 Y+.4.13 Z-5.104	830 L X-2.715 Y-2.661 Z-3.603
769 L X+.322 Y+.3.955 Z-5.132	831 L X-2.668 Y-2.545 Z-3.459
770 L X+.226 Y+.3.78 Z-5.167	832 L X-2.618 Y-2.424 Z-3.32
771 L X+.131 Y+.3.606 Z-5.21	833 L X-2.565 Y-2.3 Z-3.186
772 L X+.038 Y+.3.433 Z-5.259	834 L X-2.509 Y-2.17 Z-3.058
773 L X+.947 Y+.3.261 Z-5.316	835 L X-2.449 Y-2.037 Z-2.936
774 L X+.858 Y+.3.091 Z-5.38	836 L X-2.387 Y-1.9 Z-2.82
775 L X+.771 Y+.2.923 Z-5.451	837 L X-2.321 Y-1.76 Z-2.709
776 L X+.686 Y+.2.756 Z-5.529	838 L X-2.253 Y-1.616 Z-2.605
777 L X+.603 Y+.2.592 Z-5.614	839 L X-2.182 Y-1.469 Z-2.507
778 L X+.523 Y+.2.43 Z-5.705	840 L X-2.108 Y-1.319 Z-2.416
	FMAX

## Katedra technologie obrábění

902 L X-5.353 Y-3.835 Z+3.984  
 FMAX  
 903 L X-5.329 Y-3.845 Z+3.775  
 F300.  
 904 L X-5.301 Y-3.848 Z+3.567  
 905 L X-5.27 Y-3.845 Z+3.36  
 906 L X-5.235 Y-3.836 Z+3.155  
 907 L X-5.198 Y-3.82 Z+2.952  
 908 L X-5.157 Y-3.798 Z+2.751  
 909 L X-5.112 Y-3.771 Z+2.552  
 910 L X-5.065 Y-3.737 Z+2.356  
 911 L X-5.015 Y-3.698 Z+2.162  
 912 L X-4.962 Y-3.653 Z+1.971  
 913 L X-4.906 Y-3.603 Z+1.783  
 914 L X-4.848 Y-3.547 Z+1.598  
 915 L X-4.787 Y-3.486 Z+1.417  
 916 L X-4.723 Y-3.419 Z+1.239  
 917 L X-4.657 Y-3.348 Z+1.064  
 918 L X-4.589 Y-3.271 Z+.894  
 919 L X-4.518 Y-3.19 Z+.727  
 920 L X-4.445 Y-3.104 Z+.564  
 921 L X-4.371 Y-3.013 Z+.406  
 922 L X-4.294 Y-2.918 Z+.251  
 923 L X-4.215 Y-2.818 Z+.101  
 924 L X-4.134 Y-2.714 Z-.044  
 925 L X-4.052 Y-2.606 Z-.185  
 926 L X-3.968 Y-2.495 Z-.321  
 927 L X-3.883 Y-2.379 Z-.452  
 928 L X-3.796 Y-2.26 Z-.579  
 929 L X-3.708 Y-2.137 Z-.7  
 930 L X-3.619 Y-2.01 Z-.816  
 931 L X-3.528 Y-1.881 Z-.927  
 932 L X-3.436 Y-1.748 Z-1.033  
 933 L X-3.344 Y-1.612 Z-1.133  
 934 L X-3.25 Y-1.474 Z-1.228  
 935 L X-3.156 Y-1.332 Z-1.318  
 936 L X-3.061 Y-1.189 Z-1.402  
 937 L X-2.965 Y-1.042 Z-1.48  
 938 L X-2.869 Y-.894 Z-1.553  
 939 L X-2.773 Y-.743 Z-1.62  
 940 L X-2.676 Y-.59 Z-1.682  
 941 L X-2.579 Y-.436 Z-1.737  
 942 L X-2.482 Y-.28 Z-1.787  
 943 L X-2.384 Y-.122 Z-1.831  
 944 L X-2.287 Y+.037 Z-1.869  
 945 L X-2.19 Y+.198 Z-1.901  
 946 L X-2.093 Y+.359 Z-1.927  
 947 L X-1.996 Y+.522 Z-1.947  
 948 L X-1.9 Y+.685 Z-1.962  
 949 L X-1.81 Y+.839 Z-1.97  
 950 L X-1.72 Y+.994 Z-1.972  
 951 L X-1.63 Y+1.15 Z-1.976  
 F1000.  
 952 L X-1.539 Y+1.304 Z-1.986  
 953 L X-1.448 Y+1.458 Z-2.003  
 954 L X-1.356 Y+1.611 Z-2.027  
 955 L X-1.264 Y+1.763 Z-2.057  
 956 L X-1.172 Y+1.913 Z-2.094  
 957 L X-1.081 Y+2.061 Z-2.138  
 958 L X-.989 Y+2.207 Z-2.188  
 959 L X-.898 Y+2.351 Z-2.245  
 960 L X-.804 Y+2.498 Z-2.31

961 L X-.71 Y+2.642 Z-2.382  
 962 L X-.618 Y+2.783 Z-2.461  
 963 L X-.526 Y+2.921 Z-2.546  
 964 L X-.435 Y+3.056 Z-2.638  
 965 L X-.346 Y+3.187 Z-2.736  
 966 L X-.258 Y+3.314 Z-2.84  
 967 L X-.171 Y+3.437 Z-2.95  
 968 L X-.086 Y+3.555 Z-3.065  
 969 L X-.003 Y+3.669 Z-3.187  
 970 L X+.078 Y+3.779 Z-3.313  
 971 L X+.157 Y+3.884 Z-3.445  
 972 L X+.235 Y+3.984 Z-3.582  
 973 L X+.309 Y+4.079 Z-3.724  
 974 L X+.382 Y+4.169 Z-3.87  
 975 L X+.452 Y+4.253 Z-4.021  
 976 L X+.519 Y+4.332 Z-4.175  
 977 L X+.584 Y+4.405 Z-4.334  
 978 L X+.646 Y+4.473 Z-4.496  
 979 L X+.705 Y+4.534 Z-4.661  
 980 L X+.761 Y+4.59 Z-4.83  
 981 L X+.814 Y+4.64 Z-5.002  
 982 L X+.864 Y+4.683 Z-5.176  
 983 L X+.766 Y+4.507 Z-5.196  
 984 L X+.668 Y+4.332 Z-5.224  
 985 L X+.572 Y+4.157 Z-5.26  
 986 L X+.478 Y+3.983 Z-5.302  
 987 L X+.385 Y+3.81 Z-5.352  
 988 L X+.294 Y+3.639 Z-5.409  
 989 L X+.205 Y+3.468 Z-5.473  
 990 L X+.118 Y+3.3 Z-5.544  
 991 L X+.033 Y+3.133 Z-5.622  
 992 L X-.05 Y+2.969 Z-5.706  
 993 L X-.131 Y+2.807 Z-5.798  
 994 L X-.209 Y+2.648 Z-5.896  
 995 L X-.284 Y+2.492 Z-6.  
 996 L X-.357 Y+2.339 Z-6.11  
 997 L X-.427 Y+2.189 Z-6.227  
 998 L X-.494 Y+2.042 Z-6.35  
 999 L X-.559 Y+1.899 Z-6.478  
 1000 L X-.62 Y+1.76 Z-6.612  
 1001 L X-.678 Y+1.625 Z-6.752  
 1002 L X-.733 Y+1.495 Z-6.896  
 1003 L X-.785 Y+1.368 Z-7.046  
 1004 L X-.833 Y+1.247 Z-7.201  
 1005 L X-.878 Y+1.139 Z-7.319  
 1006 L X-.949 Y+.98 Z-7.469  
 1007 L X-1.059 Y+.781 Z-7.504  
 1008 L X-1.094 Y+.717 Z-7.514  
 1009 L X-1.131 Y+.653 Z-7.517  
 1010 L X-1.168 Y+.589 Z-7.514  
 1011 L X-1.206 Y+.526 Z-7.504  
 1012 L X-1.323 Y+.332 Z-7.469  
 1013 L X-1.425 Y+.191 Z-7.319  
 1014 L X-1.496 Y+.098 Z-7.201  
 1015 L X-1.577 Y-.005 Z-7.046  
 1016 L X-1.661 Y-.112 Z-6.896  
 1017 L X-1.746 Y-.225 Z-6.752  
 1018 L X-1.834 Y-.343 Z-6.612  
 1019 L X-1.924 Y-.465 Z-6.478  
 1020 L X-2.015 Y-.592 Z-6.35  
 1021 L X-2.108 Y-.724 Z-6.228  
 1022 L X-2.203 Y-.859 Z-6.111  
 1023 L X-2.299 Y-.999 Z-6.  
 1024 L X-2.397 Y-1.142 Z-5.896  
 1025 L X-2.496 Y-1.289 Z-5.798  
 1026 L X-2.596 Y-1.44 Z-5.707  
 1027 L X-2.696 Y-1.593 Z-5.622  
 1028 L X-2.798 Y-1.75 Z-5.545  
 1029 L X-2.9 Y-1.91 Z-5.474  
 1030 L X-3.003 Y-2.072 Z-5.41  
 1031 L X-3.106 Y-2.237 Z-5.353  
 1032 L X-3.209 Y-2.403 Z-5.303  
 1033 L X-3.313 Y-2.572 Z-5.26  
 1034 L X-3.416 Y-2.742 Z-5.225  
 1035 L X-3.519 Y-2.914 Z-5.197  
 1036 L X-3.622 Y-3.087 Z-5.176  
 1037 L X-3.609 Y-3.021 Z-4.998  
 1038 L X-3.592 Y-2.948 Z-4.823  
 1039 L X-3.571 Y-2.87 Z-4.651  
 1040 L X-3.547 Y-2.786 Z-4.482  
 1041 L X-3.518 Y-2.696 Z-4.316  
 1042 L X-3.486 Y-2.601 Z-4.155  
 1043 L X-3.45 Y-2.5 Z-3.997  
 1044 L X-3.411 Y-2.394 Z-3.844  
 1045 L X-3.368 Y-2.283 Z-3.695  
 1046 L X-3.322 Y-2.168 Z-3.551  
 1047 L X-3.272 Y-2.047 Z-3.413  
 1048 L X-3.219 Y-1.922 Z-3.279  
 1049 L X-3.162 Y-1.793 Z-3.151  
 1050 L X-3.103 Y-1.66 Z-3.029  
 1051 L X-3.04 Y-1.523 Z-2.912  
 1052 L X-2.975 Y-1.383 Z-2.802  
 1053 L X-2.906 Y-1.239 Z-2.698  
 1054 L X-2.835 Y-1.091 Z-2.6  
 1055 L X-2.761 Y-.941 Z-2.509  
 1056 L X-2.685 Y-.789 Z-2.425  
 1057 L X-2.607 Y-.634 Z-2.347  
 1058 L X-2.526 Y-.476 Z-2.277  
 1059 L X-2.443 Y-.317 Z-2.213  
 1060 L X-2.358 Y-.156 Z-2.157  
 1061 L X-2.271 Y+.006 Z-2.108  
 1062 L X-2.183 Y+.169 Z-2.067  
 1063 L X-2.093 Y+.334 Z-2.033  
 1064 L X-2.001 Y+.499 Z-2.006  
 1065 L X-1.909 Y+.664 Z-1.987  
 1066 L X-1.815 Y+.829 Z-1.976  
 1067 L X-1.72 Y+.994 Z-1.972  
 1068 L X-1.615 Y+1.177 Z-1.969  
 1069 L X-1.511 Y+1.359 Z-1.958  
 1070 L X-1.409 Y+1.541 Z-1.94  
 1071 L X-1.308 Y+1.721 Z-1.915  
 1072 L X-1.209 Y+1.901 Z-1.882  
 1073 L X-1.112 Y+2.078 Z-1.843  
 1074 L X-1.017 Y+2.255 Z-1.798  
 1075 L X-.924 Y+2.429 Z-1.746  
 1076 L X-.832 Y+2.602 Z-1.687  
 1077 L X-.743 Y+2.772 Z-1.622  
 1078 L X-.656 Y+2.941 Z-1.551  
 1079 L X-.571 Y+3.107 Z-1.474  
 1080 L X-.488 Y+3.27 Z-1.391  
 1081 L X-.408 Y+3.431 Z-1.302  
 1082 L X-.33 Y+3.589 Z-1.208  
 1083 L X-.255 Y+3.744 Z-1.108  
 1084 L X-.182 Y+3.896 Z-1.003

Radek Veselý

## Katedra technologie obrábění

1085 L X-.112 Y+4.045 Z-.893	1144 L X-4.361 Y-1.76 Z-.793	Radek Veselý
1086 L X-.044 Y+4.19 Z-.778	1145 L X-4.272 Y-1.633 Z-.909	1205 L X-.536 Y+3.677 Z-5.637
1087 L X+.021 Y+4.332 Z-.658	1146 L X-4.181 Y-1.504 Z-1.02	1206 L X-.621 Y+3.511 Z-5.714
1088 L X+.083 Y+4.471 Z-.534	1147 L X-4.09 Y-1.371 Z-1.126	1207 L X-.704 Y+3.346 Z-5.799
1089 L X+.143 Y+4.605 Z-.404	1148 L X-3.997 Y-1.235 Z-1.226	1208 L X-.784 Y+3.185 Z-5.89
1090 L X+.199 Y+4.736 Z-.271	1149 L X-3.904 Y-1.097 Z-1.321	1209 L X-.862 Y+3.025 Z-5.988
1091 L X+.253 Y+4.864 Z-.133	1150 L X-3.809 Y-.955 Z-1.411	1210 L X-.938 Y+2.869 Z-6.093
1092 L X+.304 Y+4.987 Z+.009	1151 L X-3.714 Y-.811 Z-1.495	1211 L X-1.01 Y+2.716 Z-6.203
1093 L X+.353 Y+5.106 Z+.154	1152 L X-3.619 Y-.665 Z-1.573	1212 L X-1.08 Y+2.566 Z-6.32
1094 L X+.398 Y+5.221 Z+.304	1153 L X-3.523 Y-.517 Z-1.646	1213 L X-1.148 Y+2.419 Z-6.442
1095 L X+.44 Y+5.332 Z+.457	1154 L X-3.426 Y-.366 Z-1.713	1214 L X-1.212 Y+2.276 Z-6.571
1096 L X+.479 Y+5.438 Z+.613	1155 L X-3.329 Y-.213 Z-1.774	1215 L X-1.273 Y+2.137 Z-6.705
1097 L X+.516 Y+5.54 Z+.773	1156 L X-3.232 Y-.059 Z-1.83	1216 L X-1.331 Y+2.002 Z-6.844
1098 L X+.549 Y+5.638 Z+.935	1157 L X-3.135 Y+.098 Z-1.88	1217 L X-1.386 Y+1.872 Z-6.989
1099 L X+.579 Y+5.731 Z+1.101	1158 L X-3.038 Y+.255 Z-1.923	1218 L X-1.438 Y+1.746 Z-7.139
1100 L X+.606 Y+5.82 Z+1.269	1159 L X-2.94 Y+.414 Z-1.961	1219 L X-1.486 Y+1.624 Z-7.293
1101 L X+.631 Y+5.903 Z+1.44	1160 L X-2.843 Y+.575 Z-1.994	1220 L X-1.532 Y+1.516 Z-7.412
1102 L X+.652 Y+5.982 Z+1.613	1161 L X-2.746 Y+.736 Z-2.02	1221 L X-1.602 Y+1.357 Z-7.562
1103 L X+.67 Y+6.057 Z+1.788	1162 L X-2.65 Y+.899 Z-2.04	1222 L X-1.712 Y+1.158 Z-7.597
1104 L X+.685 Y+6.126 Z+1.966	1163 L X-2.553 Y+1.062 Z-2.054	1223 L X-1.748 Y+1.094 Z-7.606
1105 L X+.697 Y+6.191 Z+2.145	1164 L X-2.463 Y+1.216 Z-2.062	1224 L X-1.784 Y+1.03 Z-7.609
1106 L X+.705 Y+6.25 Z+2.326	1165 L X-2.373 Y+1.371 Z-2.065	1225 L X-1.821 Y+.966 Z-7.606
1107 L X+.711 Y+6.305 Z+2.509	1166 L X-2.283 Y+1.527 Z-2.068	1226 L X-1.859 Y+.904 Z-7.597
1108 L X+.713 Y+6.354 Z+2.692	F1000.	1227 L X-1.976 Y+.709 Z-7.562
1109 L Y+6.399 Z+2.878	1167 L X-2.192 Y+1.682 Z-2.079	1228 L X-2.079 Y+.569 Z-7.412
1110 L X+.709 Y+6.438 Z+3.064	1168 L X-2.101 Y+1.835 Z-2.096	1229 L X-2.149 Y+.475 Z-7.293
1111 L X+.703 Y+6.473 Z+3.251	1169 L X-2.009 Y+1.988 Z-2.119	1230 L X-2.231 Y+.372 Z-7.139
1112 L X+.693 Y+6.502 Z+3.438	1170 L X-1.917 Y+2.14 Z-2.15	1231 L X-2.314 Y+.265 Z-6.989
1113 L X+.68 Y+6.526 Z+3.626	1171 L X-1.826 Y+2.29 Z-2.187	1232 L X-2.4 Y+.152 Z-6.844
1114 L X+.665 Y+6.544 Z+3.804	1172 L X-1.734 Y+2.438 Z-2.23	1233 L X-2.487 Y+.034 Z-6.705
1115 L X+.648 Y+6.557 Z+3.981	1173 L X-1.642 Y+2.584 Z-2.281	1234 L X-2.577 Y-.088 Z-6.571
1116 L X-5.353 Y-3.835 Z+3.984	1174 L X-1.551 Y+2.729 Z-2.337	1235 L X-2.668 Y-.215 Z-6.443
FMAX	1175 L X-1.457 Y+2.875 Z-2.403	1236 L X-2.762 Y-.346 Z-6.32
1117 L X-6.006 Y-3.458 Z+3.892	1176 L X-1.364 Y+3.02 Z-2.475	1237 L X-2.856 Y-.482 Z-6.204
FMAX	1177 L X-1.271 Y+3.161 Z-2.554	1238 L X-2.953 Y-.622 Z-6.093
1118 L X-5.982 Y-3.468 Z+3.682	1178 L X-1.179 Y+3.299 Z-2.639	1239 L X-3.05 Y-.765 Z-5.989
F300.	1179 L X-1.089 Y+3.433 Z-2.73	1240 L X-3.149 Y-.912 Z-5.891
1119 L X-5.954 Y-3.471 Z+3.474	1180 L X-.999 Y+3.564 Z-2.828	1241 L X-3.249 Y-1.063 Z-5.8
1120 L X-5.923 Y-3.468 Z+3.268	1181 L X-.911 Y+3.691 Z-2.932	1242 L X-3.35 Y-1.216 Z-5.715
1121 L X-5.889 Y-3.458 Z+3.062	1182 L X-.825 Y+3.814 Z-3.042	1243 L X-3.451 Y-1.373 Z-5.637
1122 L X-5.851 Y-3.443 Z+2.859	1183 L X-.74 Y+3.932 Z-3.158	1244 L X-3.553 Y-1.533 Z-5.566
1123 L X-5.81 Y-3.421 Z+2.658	1184 L X-.656 Y+4.047 Z-3.279	1245 L X-3.656 Y-1.695 Z-5.502
1124 L X-5.766 Y-3.394 Z+2.459	1185 L X-.575 Y+4.156 Z-3.406	1246 L X-3.759 Y-1.859 Z-5.445
1125 L X-5.719 Y-3.36 Z+2.263	1186 L X-.496 Y+4.261 Z-3.538	1247 L X-3.863 Y-2.026 Z-5.395
1126 L X-5.668 Y-3.321 Z+2.069	1187 L X-.419 Y+4.361 Z-3.675	1248 L X-3.966 Y-2.195 Z-5.353
1127 L X-5.615 Y-3.276 Z+1.878	1188 L X-.344 Y+4.456 Z-3.816	1249 L X-4.069 Y-2.365 Z-5.317
1128 L X-5.56 Y-3.226 Z+1.691	1189 L X-.271 Y+4.546 Z-3.963	1250 L X-4.173 Y-2.537 Z-5.289
1129 L X-5.501 Y-3.17 Z+1.506	1190 L X-.201 Y+4.63 Z-4.113	1251 L X-4.275 Y-2.71 Z-5.269
1130 L X-5.44 Y-3.108 Z+1.324	1191 L X-.134 Y+4.709 Z-4.268	1252 L X-4.262 Y-2.644 Z-5.091
1131 L X-5.377 Y-3.042 Z+1.146	1192 L X-.069 Y+4.782 Z-4.426	1253 L X-4.245 Y-2.571 Z-4.916
1132 L X-5.31 Y-2.97 Z+.972	1193 L X-.007 Y+4.85 Z-4.589	1254 L X-4.224 Y-2.493 Z-4.743
1133 L X-5.242 Y-2.894 Z+.801	1194 L X+.052 Y+4.911 Z-4.754	1255 L X-4.2 Y-2.409 Z-4.574
1134 L X-5.171 Y-2.812 Z+.634	1195 L X+.108 Y+4.967 Z-4.923	1256 L X-4.171 Y-2.319 Z-4.409
1135 L X-5.099 Y-2.726 Z+.472	1196 L X+.161 Y+5.017 Z-5.094	1257 L X-4.139 Y-2.224 Z-4.247
1136 L X-5.024 Y-2.636 Z+.313	1197 L X+.211 Y+5.06 Z-5.268	1258 L X-4.104 Y-2.123 Z-4.09
1137 L X-4.947 Y-2.54 Z+.159	1198 L X+.112 Y+4.885 Z-5.289	1259 L X-4.064 Y-2.017 Z-3.936
1138 L X-4.868 Y-2.441 Z+.009	1199 L X+.015 Y+4.709 Z-5.317	1260 L X-4.021 Y-1.906 Z-3.788
1139 L X-4.788 Y-2.337 Z-.137	1200 L X-.081 Y+4.534 Z-5.352	1261 L X-3.975 Y-1.79 Z-3.644
1140 L X-4.705 Y-2.229 Z-.277	1201 L X-.175 Y+4.36 Z-5.395	1262 L X-3.925 Y-1.67 Z-3.505
1141 L X-4.622 Y-2.117 Z-.414	1202 L X-.268 Y+4.187 Z-5.445	1263 L X-3.872 Y-1.545 Z-3.372
1142 L X-4.536 Y-2.002 Z-.545	1203 L X-.359 Y+4.016 Z-5.502	1264 L X-3.815 Y-1.416 Z-3.244
1143 L X-4.449 Y-1.882 Z-.671	1204 L X-.448 Y+3.846 Z-5.566	1265 L X-3.756 Y-1.283 Z-3.121
		1266 L X-3.693 Y-1.146 Z-3.005

## Katedra technologie obrábění

1267 L X-3.628 Y-1.005 Z-2.894	1329 L X+.012 Y+6.921 Z+3.711	Radek Veselý
1268 L X-3.559 Y-.861 Z-2.79	1330 L X-.006 Y+6.934 Z+3.889	1381 L X+2.539 Y-.538 Z-10.811
1269 L X-3.488 Y-.714 Z-2.693	1331 L X+85.951 Y-42.693	1382 L X+2.453 Y-.693 Z-10.839
1270 L X-3.415 Y-.564 Z-2.602	Z+16.076 FMAX	1383 L X+2.366 Y-.849 Z-10.859
1271 L X-3.338 Y-.412 Z-2.517	1332 CYCL DEF 7.0 DATUM	1384 L X+2.278 Y-1.005 Z-10.873
1272 L X-3.26 Y-.256 Z-2.44	SHIFT	1385 L X+2.189 Y-1.16 Z-10.88
1273 L X-3.179 Y-.099 Z-2.369	1333 CYCL DEF 7.1 X+	1386 L X+2.1 Y-1.316
1274 L X-3.096 Y+.06 Z-2.306	1334 CYCL DEF 7.2 Y+	1387 L X+2.009 Y-1.471 Z-10.873
1275 L X-3.011 Y+.221 Z-2.25	1335 CYCL DEF 7.3 Z+	1388 L X+1.918 Y-1.625 Z-10.859
1276 L X-2.924 Y+.383 Z-2.201	1336 L Z+0 R0 FMAX M92	1389 L X+1.827 Y-1.778 Z-10.839
1277 L X-2.836 Y+.547 Z-2.159	1337 L Y+0 R0 FMAX M92	1390 L X+1.735 Y-1.93 Z-10.811
1278 L X-2.746 Y+.711 Z-2.125	1338 TOOL CALL 4 Z S7427	1391 L X+1.681 Y-2.02 Z-10.796
1279 L X-2.654 Y+.876 Z-2.099	; DOHRUBOVANI LUZKA	1392 L X+1.628 Y-2.111 Z-10.788
1280 L X-2.562 Y+1.041 Z-2.08	1339 L X+4.926 Y+4.956 Z-5.278	1393 L X+1.575 Y-2.202 Z-10.786
1281 L X-2.468 Y+1.206 Z-2.069	FMAX M03	1394 L X+1.523 Y-2.293 Z-10.791
1282 L X-2.373 Y+1.371 Z-2.065	1340 L X+3.775 Y+2.011 Z-9.151	1395 L X+1.472 Y-2.384 Z-10.802
1283 L X-2.268 Y+1.554 Z-2.061	F300.	1396 L X+1.437 Y-2.448 Z-10.813
1284 L X-2.164 Y+1.737 Z-2.05	1341 L X+3.732 Y+1.901 Z-9.29	1397 L X+1.402 Y-2.511 Z-10.828
1285 L X-2.062 Y+1.918 Z-2.032	F297.	1398 L X+1.354 Y-2.6 Z-10.854
1286 L X-1.962 Y+2.098 Z-2.007	1342 L X+3.685 Y+1.787 Z-9.425	1399 L X+1.308 Y-2.688 Z-10.886
1287 L X-1.863 Y+2.278 Z-1.975	1343 L X+3.635 Y+1.668 Z-9.555	1400 L X+1.264 Y-2.775 Z-10.924
1288 L X-1.766 Y+2.456 Z-1.936	1344 L X+3.582 Y+1.546 Z-9.679	1401 L X+1.22 Y-2.862 Z-10.97
1289 L X-1.67 Y+2.632 Z-1.89	1345 L X+3.525 Y+1.419 Z-9.799	1402 L X+1.179 Y-2.945 Z-11.02
1290 L X-1.577 Y+2.806 Z-1.838	1346 L X+3.493 Y+1.347 Z-9.869	1403 L X+1.159 Y-2.984 Z-11.041
1291 L X-1.486 Y+2.979 Z-1.78	1347 L X+3.464 Y+1.278 Z-9.944	1404 L X+1.138 Y-3.025 Z-11.055
1292 L X-1.396 Y+3.149 Z-1.715	1348 L X+3.438 Y+1.213 Z-	1405 L X+1.114 Y-3.067 Z-11.061
1293 L X-1.309 Y+3.318 Z-1.644	10.023	1406 L X+1.09 Y-3.108 Z-11.059
1294 L X-1.224 Y+3.484 Z-1.567	1349 L X+3.415 Y+1.152 Z-	1407 L X+1.065 Y-3.149 Z-11.05
1295 L X-1.142 Y+3.647 Z-1.484	10.106	1408 L X+1.041 Y-3.187 Z-11.033
1296 L X-1.061 Y+3.808 Z-1.395	1350 L X+3.395 Y+1.096 Z-	1409 L X+1.017 Y-3.222 Z-11.009
1297 L X-.984 Y+3.966 Z-1.301	10.192	1410 L X+.995 Y-3.253 Z-10.979
1298 L X-.908 Y+4.121 Z-1.201	1351 L X+3.382 Y+1.06 Z-10.254	1411 L X+.975 Y-3.279 Z-10.943
1299 L X-.835 Y+4.273 Z-1.096	1352 L X+3.372 Y+1.026 Z-	1412 L X+.958 Y-3.299 Z-10.903
1300 L X-.765 Y+4.422 Z-.986	10.318	1413 L X+.944 Y-3.313 Z-10.859
1301 L X-.697 Y+4.567 Z-.871	1353 L X+3.359 Y+.981 Z-10.412	1414 L X+.933 Y-3.32 Z-10.812
1302 L X-.632 Y+4.709 Z-.751	1354 L X+3.35 Y+.941 Z-10.508	1415 L X+.911 Y-3.332 Z-10.709
1303 L X-.57 Y+4.848 Z-.626	1355 L X+3.344 Y+.906 Z-10.607	1416 L X+.887 Y-3.349 Z-10.607
1304 L X-.511 Y+4.983 Z-.497	1356 L X+3.341 Y+.876 Z-10.71	1417 L X+.86 Y-3.372 Z-10.508
1305 L X-.454 Y+5.114 Z-.363	1357 L X+3.342 Y+.852 Z-10.812	1418 L X+.83 Y-3.4 Z-10.411
1306 L X-.4 Y+5.241 Z-.226	1358 L X+3.341 Y+.839 Z-10.859	1419 L X+.797 Y-3.433 Z-10.317
1307 L X-.349 Y+5.364 Z-.084	1359 L X+3.336 Y+.82 Z-10.903	1420 L X+.773 Y-3.46 Z-10.253
1308 L X-.301 Y+5.483 Z+.062	1360 L X+3.327 Y+.795 Z-10.943	1421 L X+.748 Y-3.489 Z-10.191
1309 L X-.256 Y+5.598 Z-.211	1361 L X+3.315 Y+.765 Z-10.979	1422 L X+.709 Y-3.534 Z-10.105
1310 L X-.213 Y+5.709 Z-.364	1362 L X+3.299 Y+.73 Z-11.009	1423 L X+.669 Y-3.584 Z-10.022
1311 L X-.174 Y+5.816 Z-.52	1363 L X+3.281 Y+.692 Z-11.033	1424 L X+.626 Y-3.639 Z-9.944
1312 L X-.138 Y+5.918 Z+.68	1364 L X+3.26 Y+.652 Z-11.05	1425 L X+.58 Y-3.699 Z-9.868
1313 L X-.104 Y+6.015 Z+.843	1365 L X+3.237 Y+.61 Z-11.059	1426 L X+.534 Y-3.763 Z-9.799
1314 L X-.074 Y+6.108 Z+1.008	1366 L X+3.213 Y+.568 Z-11.061	1427 L X+.452 Y-3.875 Z-9.679
1315 L X-.047 Y+6.197 Z+1.176	1367 L X+3.188 Y+.527 Z-11.055	1428 L X+.372 Y-3.982 Z-9.555
1316 L X-.023 Y+6.281 Z+1.347	1368 L X+3.164 Y+.488 Z-11.041	1429 L X+.295 Y-4.084 Z-9.425
1317 L X-.002 Y+6.36 Z+1.52	1369 L X+3.14 Y+.451 Z-11.02	1430 L X+.219 Y-4.182 Z-9.29
1318 L X+.016 Y+6.434 Z+1.696	1370 L X+3.088 Y+.374 Z-10.969	1431 L X+.146 Y-4.275 Z-9.151
1319 L X+.031 Y+6.503 Z+1.873	1371 L X+3.035 Y+.294 Z-10.924	1432 L X-1.829 Y-6.744 Z-5.278
1320 L X+.043 Y+6.568 Z+2.052	1372 L X+2.982 Y+.211 Z-10.886	FMAX
1321 L X+.052 Y+6.627 Z+2.233	1373 L X+2.929 Y+.126 Z-10.854	1433 L X-2.221 Y-6.518 Z-5.333
1322 L X+.058 Y+6.682 Z+2.416	1374 L X+2.875 Y+.04 Z-10.828	FMAX
1323 L X+.06 Y+6.732 Z+2.6	1375 L X+2.837 Y-.021 Z-10.813	1434 L X-.246 Y-4.049 Z-9.207
1324 L Y+6.776 Z+2.785	1376 L X+2.8 Y-.083 Z-10.802	F300.
1325 L X+.056 Y+6.816 Z+2.971	1377 L X+2.747 Y-.173 Z-10.791	1435 L X-.173 Y-3.956 Z-9.346
1326 L X+.049 Y+6.85 Z+3.158	1378 L X+2.694 Y-.263 Z-10.786	F297.
1327 L X+.04 Y+6.879 Z+3.346	1379 L X+2.642 Y-.354 Z-10.788	1436 L X-.097 Y-3.858 Z-9.48
1328 L X+.027 Y+6.903 Z+3.534	1380 L X+2.589 Y-.447 Z-10.797	1437 L X-.019 Y-3.756 Z-9.61

## Katedra technologie obrábění

1439 L X+.142 Y-.3.537 Z-9.924	1501 L X+2.868 Y+.878 Z-11.105	Radek Veselý
1440 L X+.189 Y-.3.472 Z-9.924	1502 L X+2.889 Y+.919 Z-11.089	1544 L X+2.557 Y+1.329 Z-
1441 L X+.234 Y-.3.413 Z-9.999	1503 L X+2.907 Y+.956 Z-11.065	10.821
1442 L X+.277 Y-.3.357 Z-10.078	1504 L X+2.923 Y+.991 Z-11.035	1545 L X+2.558 Y+1.305 Z-
1443 L X+.318 Y-.3.307 Z-10.161	1505 L X+2.935 Y+1.021 Z-	10.923
1444 L X+.356 Y-.3.262 Z-10.248	10.999	1546 L X+2.557 Y+1.292 Z-10.97
1445 L X+.382 Y-.3.233 Z-10.31	1506 L X+2.944 Y+1.046 Z-	1547 L X+2.552 Y+1.272 Z-
1446 L X+.406 Y-.3.207 Z-10.374	10.959	11.014
1447 L X+.438 Y-.3.173 Z-10.468	1507 L X+2.949 Y+1.066 Z-	1548 L X+2.543 Y+1.247 Z-
1448 L X+.468 Y-.3.145 Z-10.564	10.914	11.055
1449 L X+.495 Y-.3.123 Z-10.663	1508 L X+2.95 Y+1.079 Z-10.868	1549 L X+2.531 Y+1.217 Z-11.09
1450 L X+.52 Y-.3.105 Z-10.766	1509 L X+2.949 Y+1.103 Z-	1550 L X+2.515 Y+1.183 Z-
1451 L X+.541 Y-.3.094 Z-10.868	10.765	11.121
1452 L X+.552 Y-.3.087 Z-10.914	1510 L X+2.952 Y+1.133 Z-	1551 L X+2.497 Y+1.145 Z-
1453 L X+.566 Y-.3.073 Z-10.959	10.663	11.144
1454 L X+.583 Y-.3.053 Z-10.999	1511 L X+2.958 Y+1.168 Z-	1552 L X+2.476 Y+1.105 Z-
1455 L X+.603 Y-.3.027 Z-11.035	10.564	11.161
1456 L X+.625 Y-.2.996 Z-11.065	1512 L X+2.967 Y+1.208 Z-	1553 L X+2.453 Y+1.063 Z-11.17
1457 L X+.649 Y-.2.961 Z-11.089	10.467	1554 L X+2.429 Y+1.021 Z-
1458 L X+.673 Y-.2.923 Z-11.105	1513 L X+2.98 Y+1.253 Z-10.373	11.172
1459 L X+.698 Y-.2.882 Z-11.115	1514 L X+2.991 Y+1.287 Z-	1555 L X+2.404 Y+.98 Z-11.166
1460 L X+.722 Y-.2.84 Z-11.116	10.309	1556 L X+2.38 Y+.94 Z-11.152
1461 L X+.746 Y-.2.798 Z-11.11	1515 L X+3.003 Y+1.323 Z-	1557 L X+2.356 Y+.904 Z-11.131
1462 L X+.767 Y-.2.757 Z-11.096	10.246	1558 L X+2.304 Y+.826 Z-11.08
1463 L X+.787 Y-.2.718 Z-11.075	1516 L X+3.023 Y+1.379 Z-10.16	1559 L X+2.251 Y+.746 Z-11.036
1464 L X+.828 Y-.2.635 Z-11.025	1517 L X+3.046 Y+1.439 Z-	1560 L X+2.198 Y+.664 Z-10.997
1465 L X+.871 Y-.2.549 Z-10.98	10.078	1561 L X+2.145 Y+.579 Z-10.965
1466 L X+.916 Y-.2.462 Z-10.941	1518 L X+3.072 Y+1.504 Z-10.	1562 L X+2.091 Y+.493 Z-10.939
1467 L X+.963 Y-.2.373 Z-10.909	1519 L X+3.102 Y+1.574 Z-9.924	1563 L X+2.054 Y+.431 Z-10.924
1468 L X+1.011 Y-.2.283 Z-10.883	1520 L X+3.134 Y+1.646 Z-9.854	1564 L X+2.016 Y+.369 Z-10.913
1469 L X+1.045 Y-.2.22 Z-10.869	1521 L X+3.19 Y+1.772 Z-9.735	1565 L X+1.963 Y+.28 Z-10.902
1470 L X+1.08 Y-.2.157 Z-10.857	1522 L X+3.243 Y+1.895 Z-9.61	1566 L X+1.91 Y+.19 Z-10.897
1471 L X+1.131 Y-.2.066 Z-10.846	1523 L X+3.293 Y+2.013 Z-9.48	1567 L X+1.858 Y+.099 Z-10.899
1472 L X+1.183 Y-.1.975 Z-10.842	1524 L X+3.34 Y+2.127 Z-9.346	1568 L X+1.805 Y+.005 Z-10.908
1473 L X+1.235 Y-.1.885 Z-10.844	1525 L X+3.383 Y+2.237 Z-9.207	1569 L X+1.755 Y-.085 Z-10.923
1474 L X+1.29 Y-.1.793 Z-10.852	1526 L X+4.534 Y+5.182 Z-5.333	1570 L X+1.669 Y-.241 Z-10.95
1475 L X+1.343 Y-.1.704 Z-10.867	FMAX	1571 L X+1.582 Y-.396 Z-10.971
1476 L X+1.435 Y-.1.552 Z-10.894	1527 L X+4.142 Y+5.409 Z-5.389	1572 L X+1.494 Y-.552 Z-10.984
1477 L X+1.526 Y-.1.399 Z-10.915	FMAX	1573 L X+1.405 Y-.708 Z-10.991
1478 L X+1.617 Y-.1.244 Z-10.929	1528 L X+2.991 Y+2.464 Z-9.262	1574 L X+1.316 Y-.863
1479 L X+1.708 Y-.1.09 Z-10.936	F300.	1575 L X+1.225 Y-1.018 Z-10.984
1480 L X+1.797 Y-.934	1529 L X+2.948 Y+2.354 Z-9.401	1576 L X+1.134 Y-1.172 Z-10.971
1481 L X+1.886 Y-.778 Z-10.929	F297.	1577 L X+1.043 Y-1.325 Z-10.95
1482 L X+1.974 Y-.623 Z-10.915	1530 L X+2.901 Y+2.239 Z-9.536	1578 L X+.951 Y-1.477 Z-10.923
1483 L X+2.061 Y-.467 Z-10.894	1531 L X+2.851 Y+2.121 Z-9.666	1579 L X+.897 Y-1.567 Z-10.908
1484 L X+2.147 Y-.312 Z-10.867	1532 L X+2.798 Y+1.998 Z-9.79	1580 L X+.844 Y-1.658 Z-10.899
1485 L X+2.198 Y-.22 Z-10.852	1533 L X+2.742 Y+1.872 Z-9.91	1581 L X+.791 Y-1.75 Z-10.897
1486 L X+2.25 Y-.128 Z-10.844	1534 L X+2.709 Y+1.799 Z-9.98	1582 L X+.739 Y-1.841 Z-10.902
1487 L X+2.302 Y-.036 Z-10.842	1535 L X+2.68 Y+1.73 Z-10.055	1583 L X+.688 Y-1.932 Z-10.913
1488 L X+2.355 Y+.054 Z-10.846	1536 L X+2.654 Y+1.665 Z-	1584 L X+.653 Y-1.995 Z-10.924
1489 L X+2.409 Y+.144 Z-10.857	10.134	1585 L X+.618 Y-2.058 Z-10.939
1490 L X+2.446 Y+.206 Z-10.869	1537 L X+2.631 Y+1.605 Z-	1586 L X+.57 Y-2.148 Z-10.965
1491 L X+2.484 Y+.267 Z-10.883	10.217	1587 L X+.524 Y-2.236 Z-10.997
1492 L X+2.537 Y+.353 Z-10.909	1538 L X+2.611 Y+1.549 Z-	1588 L X+.48 Y-2.322 Z-11.035
1493 L X+2.59 Y+.438 Z-10.942	10.303	1589 L X+.436 Y-2.41 Z-11.081
1494 L X+2.643 Y+.52 Z-10.98	1539 L X+2.599 Y+1.512 Z-	1590 L X+.395 Y-2.492 Z-11.131
1495 L X+2.697 Y+.601 Z-11.025	10.366	1591 L X+.376 Y-2.531 Z-11.152
1496 L X+2.748 Y+.678 Z-11.075	1540 L X+2.588 Y+1.478 Z-10.43	1592 L X+.354 Y-2.572 Z-11.166
1497 L X+2.772 Y+.714 Z-11.096	1541 L X+2.575 Y+1.434 Z-	1593 L X+.33 Y-2.614 Z-11.172
1498 L X+2.796 Y+.753 Z-11.11	10.523	1594 L X+.306 Y-2.656 Z-11.17
1499 L X+2.821 Y+.795 Z-11.116	1542 L X+2.566 Y+1.394 Z-10.62	1595 L X+.281 Y-2.696 Z-11.161
1500 L X+2.845 Y+.837 Z-11.115	1543 L X+2.56 Y+1.359 Z-10.718	1596 L X+.257 Y-2.735 Z-11.144
		1597 L X+.233 Y-2.77 Z-11.121

## Katedra technologie obrábění

1598 L X+.211 Y-2.8 Z-11.09	1656 L X+.227 Y-1.831 Z-10.994	Radek Veselý
1599 L X+.191 Y-2.826 Z-11.055	1657 L X+.261 Y-1.768 Z-10.98	1704 L X+2.239 Y+1.832 Z-
1600 L X+.174 Y-2.846 Z-11.014	1658 L X+.296 Y-1.704 Z-10.968	10.272
1601 L X+.16 Y-2.86 Z-10.97	1659 L X+.347 Y-1.614 Z-10.957	1705 L X+2.262 Y+1.892 Z-
1602 L X+.149 Y-2.868 Z-10.923	1660 L X+.399 Y-1.523 Z-10.953	10.189
1603 L X+.127 Y-2.879 Z-10.82	1661 L X+.451 Y-1.432 Z-10.955	1706 L X+2.288 Y+1.956 Z-
1604 L X+.103 Y-2.897 Z-10.719	1662 L X+.506 Y-1.34 Z-10.963	10.111
1605 L X+.076 Y-2.919 Z-10.619	1663 L X+.559 Y-1.251 Z-10.978	1707 L X+2.318 Y+2.026 Z-
1606 L X+.046 Y-2.947 Z-10.522	1664 L X+.651 Y-1.099 Z-11.006	10.035
1607 L X+.013 Y-2.981 Z-10.428	1665 L X+.742 Y-.946 Z-11.026	1708 L X+2.35 Y+2.098 Z-9.965
1608 L X-.011 Y-3.007 Z-10.364	1666 L X+.833 Y-.792 Z-11.04	1709 L X+2.406 Y+2.225 Z-9.846
1609 L X-.036 Y-3.036 Z-10.302	1667 L X+.924 Y-.637 Z-11.047	1710 L X+2.459 Y+2.347 Z-9.721
1610 L X-.075 Y-3.081 Z-10.216	1668 L X+1.013 Y-.482	1711 L X+2.509 Y+2.466 Z-9.592
1611 L X-.115 Y-3.131 Z-10.134	1669 L X+1.102 Y-.326 Z-11.04	1712 L X+2.556 Y+2.58 Z-9.457
1612 L X-.158 Y-3.186 Z-10.055	1670 L X+1.19 Y-.17 Z-11.026	1713 L X+2.599 Y+2.69 Z-9.318
1613 L X-.204 Y-3.247 Z-9.979	1671 L X+1.277 Y-.014 Z-11.006	1714 L X+3.75 Y+5.635 Z-5.445
1614 L X-.25 Y-3.31 Z-9.91	1672 L X+1.363 Y+.141 Z-10.978	FMAX
1615 L X-.332 Y-3.422 Z-9.79	1673 L X+1.414 Y+.233 Z-10.963	1715 L X+3.359 Y+5.861 Z-5.5
1616 L X-.411 Y-3.529 Z-9.666	1674 L X+1.466 Y+.325 Z-10.955	FMAX
1617 L X-.489 Y-3.632 Z-9.536	1675 L X+1.519 Y+.416 Z-10.953	1716 L X+2.207 Y+2.916 Z-9.373
1618 L X-.565 Y-3.73 Z-9.401	1676 L X+1.572 Y+.507 Z-10.957	F300.
1619 L X-.638 Y-3.822 Z-9.262	1677 L X+1.625 Y+.597 Z-10.969	1717 L X+2.164 Y+2.806 Z-9.513
1620 L X-2.613 Y-6.292 Z-5.389	1678 L X+1.662 Y+.659 Z-10.98	F297.
FMAX	1679 L X+1.7 Y+.72 Z-10.995	1718 L X+2.117 Y+2.692 Z-9.647
1621 L X-3.005 Y-6.065 Z-5.445	1680 L X+1.753 Y+.806 Z-11.021	1719 L X+2.067 Y+2.574 Z-9.777
FMAX	1681 L X+1.806 Y+.89 Z-11.053	1720 L X+2.014 Y+2.451 Z-9.902
1622 L X-1.03 Y-3.596 Z-9.318	1682 L X+1.859 Y+.972 Z-11.091	1721 L X+1.958 Y+2.325 Z-
F300.	1683 L X+1.913 Y+1.054 Z-	10.021
1623 L X-.957 Y-3.503 Z-9.457	11.136	1722 L X+1.926 Y+2.252 Z-
F297.	1684 L X+1.964 Y+1.13 Z-11.187	10.091
1624 L X-.881 Y-3.406 Z-9.592	1685 L X+1.988 Y+1.167 Z-	1723 L X+1.896 Y+2.183 Z-
1625 L X-.803 Y-3.303 Z-9.721	11.207	10.166
1626 L X-.724 Y-3.196 Z-9.846	1686 L X+2.012 Y+1.206 Z-	1724 L X+1.87 Y+2.118 Z-10.245
1627 L X-.642 Y-3.084 Z-9.965	11.221	1725 L X+1.847 Y+2.057 Z-
1628 L X-.595 Y-3.02 Z-10.036	1687 L X+2.037 Y+1.247 Z-	10.328
1629 L X-.55 Y-2.96 Z-10.11	11.227	1726 L X+1.827 Y+2.001 Z-
1630 L X-.507 Y-2.905 Z-10.189	1688 L X+2.061 Y+1.289 Z-	10.414
1631 L X-.466 Y-2.854 Z-10.272	11.226	1727 L X+1.815 Y+1.965 Z-
1632 L X-.428 Y-2.809 Z-10.359	1689 L X+2.084 Y+1.331 Z-	10.477
1633 L X-.402 Y-2.78 Z-10.421	11.217	1728 L X+1.804 Y+1.931 Z-
1634 L X-.378 Y-2.754 Z-10.485	1690 L X+2.105 Y+1.371 Z-11.2	10.541
1635 L X-.346 Y-2.721 Z-10.579	1691 L X+2.123 Y+1.409 Z-	1729 L X+1.791 Y+1.886 Z-
1636 L X-.316 Y-2.693 Z-10.675	11.176	10.634
1637 L X-.289 Y-2.67 Z-10.774	1692 L X+2.139 Y+1.444 Z-	1730 L X+1.782 Y+1.846 Z-
1638 L X-.264 Y-2.653 Z-10.877	11.146	10.731
1639 L X-.243 Y-2.641 Z-10.979	1693 L X+2.151 Y+1.474 Z-11.11	1731 L X+1.776 Y+1.812 Z-
1640 L X-.232 Y-2.634 Z-11.026	1694 L X+2.16 Y+1.499 Z-11.07	10.829
1641 L X-.218 Y-2.62 Z-11.07	1695 L X+2.165 Y+1.518 Z-	1732 L X+1.773 Y+1.781 Z-
1642 L X-.201 Y-2.6 Z-11.11	11.026	10.933
1643 L X-.181 Y-2.574 Z-11.146	1696 L X+2.166 Y+1.531 Z-	1733 L X+1.774 Y+1.757 Z-
1644 L X-.159 Y-2.543 Z-11.176	10.979	11.035
1645 L X-.135 Y-2.508 Z-11.2	1697 L X+2.165 Y+1.556 Z-	1734 L X+1.773 Y+1.744 Z-
1646 L X-.111 Y-2.47 Z-11.217	10.876	11.081
1647 L X-.086 Y-2.43 Z-11.226	1698 L X+2.168 Y+1.585 Z-	1735 L X+1.768 Y+1.725 Z-
1648 L X-.062 Y-2.388 Z-11.227	10.774	11.125
1649 L X-.038 Y-2.346 Z-11.221	1699 L X+2.174 Y+1.62 Z-10.675	1736 L X+1.759 Y+1.7 Z-11.166
1650 L X-.016 Y-2.305 Z-11.207	1700 L X+2.184 Y+1.66 Z-10.578	1737 L X+1.747 Y+1.67 Z-11.202
1651 L X+.003 Y-2.266 Z-11.187	1701 L X+2.196 Y+1.705 Z-	1738 L X+1.731 Y+1.635 Z-
1652 L X+.044 Y-2.182 Z-11.136	10.484	11.232
1653 L X+.087 Y-2.096 Z-11.091	1702 L X+2.207 Y+1.739 Z-10.42	1739 L X+1.713 Y+1.597 Z-
1654 L X+.132 Y-2.009 Z-11.053	1703 L X+2.219 Y+1.776 Z-	11.255
1655 L X+.179 Y-1.92 Z-11.02	10.358	1740 L X+1.692 Y+1.557 Z-
		11.272

## Katedra technologie obrábění

1741 L X+1.669 Y+1.515 Z-	1795 L X-.771 Y-2.528 Z-10.539	Radek Veselý
11.281	1796 L X-.795 Y-2.555 Z-10.476	1853 L X-.042 Y-.493 Z-11.137
1742 L X+1.645 Y+1.473 Z-	1797 L X-.82 Y-2.583 Z-10.413	1854 L X+.049 Y-.339 Z-11.151
11.283	1798 L X-.859 Y-2.629 Z-10.327	1855 L X+.14 Y-.184 Z-11.158
1743 L X+1.621 Y+1.432 Z-	1799 L X-.899 Y-2.679 Z-10.245	1856 L X+.23 Y-.029
11.277	1800 L X-.942 Y-2.733 Z-10.166	1857 L X+.318 Y+.127 Z-11.151
1744 L X+1.596 Y+1.393 Z-	1801 L X-.988 Y-2.794 Z-10.09	1858 L X+.406 Y+.283 Z-11.137
11.263	1802 L X-1.034 Y-2.858 Z-10.021	1859 L X+.493 Y+.438 Z-11.117
1745 L X+1.572 Y+1.357 Z-	1803 L X-1.116 Y-2.969 Z-9.902	1860 L X+.579 Y+.594 Z-11.089
11.242	1804 L X-1.195 Y-3.077 Z-9.777	1861 L X+.63 Y+.686 Z-11.074
1746 L X+1.52 Y+1.279 Z-11.191	1805 L X-1.273 Y-3.179 Z-9.647	1862 L X+.682 Y+.777 Z-11.066
1747 L X+1.467 Y+1.199 Z-	1806 L X-1.348 Y-3.277 Z-9.513	1863 L X+.735 Y+.869 Z-11.064
11.147	1807 L X-1.422 Y-3.37 Z-9.373	1864 L X+.788 Y+.96 Z-11.069
1748 L X+1.414 Y+1.116 Z-	1808 L X-3.397 Y-5.839 Z-5.5	1865 L X+.841 Y+1.049 Z-11.08
11.108	FMAX	1866 L X+.878 Y+1.111 Z-11.091
1749 L X+1.361 Y+1.032 Z-	1809 L X-3.789 Y-5.613 Z-5.556	1867 L X+.916 Y+1.173 Z-11.106
11.076	FMAX	1868 L X+.969 Y+1.259 Z-11.132
1750 L X+1.307 Y+.945 Z-11.05	1810 L X-1.814 Y-3.143 Z-9.429	1869 L X+1.022 Y+1.343 Z-
1751 L X+1.27 Y+.884 Z-11.035	F300.	11.164
1752 L X+1.232 Y+.822 Z-11.024	1811 L X-1.74 Y-3.051 Z-9.568	1870 L X+1.075 Y+1.425 Z-
1753 L X+1.179 Y+.732 Z-11.013	F297.	11.202
1754 L X+1.126 Y+.642 Z-11.008	1812 L X-1.665 Y-2.953 Z-9.703	1871 L X+1.129 Y+1.506 Z-
1755 L X+1.074 Y+.552 Z-11.01	1813 L X-1.587 Y-2.85 Z-9.832	11.248
1756 L X+1.021 Y+.458 Z-11.019	1814 L X-1.508 Y-2.743 Z-9.957	1872 L X+1.18 Y+1.583 Z-11.298
1757 L X+.971 Y+.367 Z-11.034	1815 L X-1.426 Y-2.631 Z-10.076	1873 L X+1.204 Y+1.619 Z-
1758 L X+.885 Y+.212 Z-11.061	1816 L X-1.379 Y-2.567 Z-10.147	11.319
1759 L X+.798 Y+.056 Z-11.082	1817 L X-1.334 Y-2.507 Z-10.222	1874 L X+1.229 Y+1.659 Z-
1760 L X+.71 Y-.099 Z-11.095	1818 L X-1.291 Y-2.452 Z-10.301	11.332
1761 L X+.622 Y-.255 Z-11.102	1819 L X-1.25 Y-2.402 Z-10.384	1875 L X+1.253 Y+1.7 Z-11.339
1762 L X+.532 Y-.411	1820 L X-1.212 Y-2.356 Z-10.47	1876 L X+1.277 Y+1.742 Z-
1763 L X+.441 Y-.566 Z-11.095	1821 L X-1.186 Y-2.328 Z-10.532	11.337
1764 L X+.35 Y-.72 Z-11.082	1822 L X-1.162 Y-2.301 Z-10.596	1877 L X+1.3 Y+1.783 Z-11.328
1765 L X+.259 Y-.873 Z-11.061	1823 L X-1.13 Y-2.268 Z-10.69	1878 L X+1.321 Y+1.824 Z-
1766 L X+.168 Y-1.025 Z-11.034	1824 L X-1.1 Y-2.24 Z-10.786	11.311
1767 L X+.113 Y-1.115 Z-11.019	1825 L X-1.073 Y-2.218 Z-10.885	1879 L X+1.339 Y+1.862 Z-
1768 L X+.06 Y-1.206 Z-11.01	1826 L X-1.048 Y-2.2 Z-10.988	11.287
1769 L X+.007 Y-1.297 Z-11.008	1827 L X-1.027 Y-2.189 Z-11.09	1880 L X+1.355 Y+1.896 Z-
1770 L X-.045 Y-1.388 Z-11.013	1828 L X-1.016 Y-2.181 Z-11.137	11.257
1771 L X-.096 Y-1.479 Z-11.024	1829 L X-1.002 Y-2.167 Z-11.181	1881 L X+1.367 Y+1.926 Z-
1772 L X-.131 Y-1.543 Z-11.036	1830 L X-.985 Y-2.147 Z-11.221	11.221
1773 L X-.166 Y-1.606 Z-11.05	1831 L X-.965 Y-2.122 Z-11.257	1882 L X+1.376 Y+1.951 Z-
1774 L X-.213 Y-1.695 Z-11.076	1832 L X-.943 Y-2.091 Z-11.287	11.181
1775 L X-.26 Y-1.783 Z-11.108	1833 L X-.919 Y-2.056 Z-11.311	1883 L X+1.381 Y+1.971 Z-
1776 L X-.304 Y-1.87 Z-11.147	1834 L X-.895 Y-2.018 Z-11.328	11.137
1777 L X-.348 Y-1.957 Z-11.192	1835 L X-.87 Y-1.977 Z-11.337	1884 L X+1.382 Y+1.984 Z-11.09
1778 L X-.389 Y-2.04 Z-11.242	1836 L X-.845 Y-1.935 Z-11.339	1885 L X+1.381 Y+2.008 Z-
1779 L X-.408 Y-2.079 Z-11.263	1837 L X-.822 Y-1.893 Z-11.332	10.987
1780 L X-.43 Y-2.12 Z-11.277	1838 L X-.8 Y-1.852 Z-11.319	1886 L X+1.384 Y+2.038 Z-
1781 L X-.453 Y-2.162 Z-11.283	1839 L X-.781 Y-1.813 Z-11.298	10.885
1782 L X-.478 Y-2.203 Z-11.281	1840 L X-.74 Y-1.729 Z-11.247	1887 L X+1.39 Y+2.073 Z-10.786
1783 L X-.503 Y-2.244 Z-11.272	1841 L X-.696 Y-1.644 Z-11.202	1888 L X+1.4 Y+2.113 Z-10.689
1784 L X-.527 Y-2.282 Z-11.255	1842 L X-.652 Y-1.556 Z-11.164	1889 L X+1.412 Y+2.158 Z-
1785 L X-.551 Y-2.317 Z-11.232	1843 L X-.605 Y-1.468 Z-11.131	10.595
1786 L X-.573 Y-2.348 Z-11.202	1844 L X-.557 Y-1.378 Z-11.105	1890 L X+1.423 Y+2.192 Z-
1787 L X-.593 Y-2.374 Z-11.166	1845 L X-.523 Y-1.315 Z-11.091	10.531
1788 L X-.61 Y-2.394 Z-11.125	1846 L X-.488 Y-1.252 Z-11.079	1891 L X+1.435 Y+2.228 Z-
1789 L X-.624 Y-2.408 Z-11.081	1847 L X-.437 Y-1.161 Z-11.069	10.469
1790 L X-.635 Y-2.415 Z-11.035	1848 L X-.385 Y-1.07 Z-11.064	1892 L X+1.455 Y+2.284 Z-
1791 L X-.656 Y-2.427 Z-10.931	1849 L X-.332 Y-.98 Z-11.066	10.383
1792 L X-.681 Y-2.444 Z-10.83	1850 L X-.278 Y-.887 Z-11.074	1893 L X+1.478 Y+2.344 Z-10.3
1793 L X-.708 Y-2.467 Z-10.73	1851 L X-.224 Y-.798 Z-11.089	1894 L X+1.504 Y+2.409 Z-
1794 L X-.738 Y-2.495 Z-10.633	1852 L X-.133 Y-.646 Z-11.117	10.222

Katedra technologie obrábění

1895 L X+1.534 Y+2.479 Z-  
10.146  
1896 L X+1.566 Y+2.551 Z-  
10.076  
1897 L X+1.622 Y+2.677 Z-9.957  
1898 L X+1.675 Y+2.8 Z-9.832  
1899 L X+1.725 Y+2.918 Z-9.703  
1900 L X+1.772 Y+3.033 Z-9.568  
1901 L X+1.815 Y+3.142 Z-9.429  
1902 L X+2.967 Y+6.087 Z-5.556  
FMAX  
1903 L X+2.575 Y+6.314 Z-5.611  
FMAX  
1904 L X+1.423 Y+3.369 Z-9.484  
F300.  
1905 L X+1.38 Y+3.259 Z-9.624  
F297.  
1906 L X+1.333 Y+3.145 Z-9.758  
1907 L X+1.283 Y+3.026 Z-9.888  
1908 L X+1.23 Y+2.904 Z-10.013  
1909 L X+1.174 Y+2.777 Z-  
10.132  
1910 L X+1.142 Y+2.704 Z-  
10.202  
1911 L X+1.112 Y+2.635 Z-  
10.277  
1912 L X+1.086 Y+2.571 Z-  
10.356  
1913 L X+1.063 Y+2.51 Z-10.439  
1914 L X+1.043 Y+2.454 Z-  
10.525  
1915 L X+1.031 Y+2.418 Z-  
10.588  
1916 L X+1.02 Y+2.383 Z-10.652  
1917 L X+1.008 Y+2.339 Z-  
10.746  
1918 L X+.998 Y+2.299 Z-10.842  
1919 L X+.992 Y+2.264 Z-10.94  
1920 L X+.989 Y+2.234 Z-11.044  
1921 L X+.99 Y+2.21 Z-11.146  
1922 L X+.989 Y+2.197 Z-11.192  
1923 L X+.984 Y+2.178 Z-11.236  
1924 L X+.975 Y+2.153 Z-11.277  
1925 L X+.963 Y+2.122 Z-11.313  
1926 L X+.947 Y+2.088 Z-11.343  
1927 L X+.929 Y+2.05 Z-11.367  
1928 L X+.908 Y+2.01 Z-11.383  
1929 L X+.885 Y+1.968 Z-11.393  
1930 L X+.861 Y+1.926 Z-11.394  
1931 L X+.837 Y+1.885 Z-11.388  
1932 L X+.812 Y+1.846 Z-11.374  
1933 L X+.788 Y+1.809 Z-11.353  
1934 L X+.736 Y+1.732 Z-11.303  
1935 L X+.683 Y+1.651 Z-11.258  
1936 L X+.63 Y+1.569 Z-11.219  
1937 L X+.577 Y+1.484 Z-11.187  
1938 L X+.523 Y+1.398 Z-11.161  
1939 L X+.486 Y+1.336 Z-11.146  
1940 L X+.448 Y+1.274 Z-11.135  
1941 L X+.395 Y+1.185 Z-11.124  
1942 L X+.342 Y+1.095 Z-11.12  
1943 L X+.29 Y+1.004 Z-11.121

Radek Veselý

1944 L X+.238 Y+.911 Z-11.13  
1945 L X+.187 Y+.82 Z-11.145  
1946 L X+.101 Y+.665 Z-11.172  
1947 L X+.015 Y+.509 Z-11.193  
1948 L X-.073 Y+.353 Z-11.207  
1949 L X-.162 Y+.197 Z-11.213  
1950 L X-.252 Y+.042  
1951 L X-.343 Y-.113 Z-11.207  
1952 L X-.433 Y-.267 Z-11.193  
1953 L X-.525 Y-.42 Z-11.172  
1954 L X-.616 Y-.572 Z-11.145  
1955 L X-.671 Y-.662 Z-11.13  
1956 L X-.724 Y-.753 Z-11.121  
1957 L X-.777 Y-.844 Z-11.12  
1958 L X-.829 Y-.936 Z-11.124  
1959 L X-.88 Y-1.027 Z-11.135  
1960 L X-.915 Y-1.09 Z-11.147  
1961 L X-.95 Y-1.153 Z-11.161  
1962 L X-.997 Y-1.242 Z-11.187  
1963 L X-1.044 Y-1.33 Z-11.22  
1964 L X-1.088 Y-1.417 Z-11.258  
1965 L X-1.132 Y-1.504 Z-11.303  
1966 L X-1.173 Y-1.587 Z-11.353  
1967 L X-1.192 Y-1.626 Z-11.374  
1968 L X-1.214 Y-1.667 Z-11.388  
1969 L X-1.237 Y-1.709 Z-11.394  
1970 L X-1.262 Y-1.751 Z-11.393  
1971 L X-1.286 Y-1.791 Z-11.383  
1972 L X-1.311 Y-1.83 Z-11.367  
1973 L X-1.335 Y-1.864 Z-11.343  
1974 L X-1.357 Y-1.895 Z-11.313  
1975 L X-1.377 Y-1.921 Z-11.277  
1976 L X-1.394 Y-1.941 Z-11.236  
1977 L X-1.408 Y-1.955 Z-11.192  
1978 L X-1.419 Y-1.962 Z-11.146  
1979 L X-1.44 Y-1.974 Z-11.042  
1980 L X-1.465 Y-1.991 Z-10.941  
1981 L X-1.492 Y-2.014 Z-10.841  
1982 L X-1.522 Y-2.042 Z-10.745  
1983 L X-1.555 Y-2.076 Z-10.651  
1984 L X-1.579 Y-2.102 Z-10.587  
1985 L X-1.604 Y-2.131 Z-10.524  
1986 L X-1.643 Y-2.176 Z-10.438  
1987 L X-1.683 Y-2.226 Z-10.356  
1988 L X-1.726 Y-2.281 Z-10.278  
1989 L X-1.772 Y-2.342 Z-10.201  
1990 L X-1.818 Y-2.405 Z-10.132  
1991 L X-1.9 Y-2.517 Z-10.013  
1992 L X-1.979 Y-2.624 Z-9.888  
1993 L X-2.057 Y-2.727 Z-9.758  
1994 L X-2.132 Y-2.824 Z-9.624  
1995 L X-2.206 Y-2.917 Z-9.484  
1996 L X-4.181 Y-5.387 Z-5.611  
FMAX  
1997 L X-4.573 Y-5.16 Z-5.667  
FMAX  
1998 L X-2.598 Y-2.691 Z-9.54  
F300.  
1999 L X-2.524 Y-2.598 Z-9.679  
F297.  
2000 L X-2.449 Y-2.5 Z-9.814  
2001 L X-2.371 Y-2.398 Z-9.944

2002 L X-2.292 Y-2.29 Z-10.068  
2003 L X-2.21 Y-2.179 Z-10.188  
2004 L X-2.163 Y-2.115 Z-10.258  
2005 L X-2.118 Y-2.055 Z-10.333  
2006 L X-2.075 Y-2. Z-10.412  
2007 L X-2.034 Y-1.949 Z-10.495  
2008 L X-1.996 Y-1.904 Z-10.581  
2009 L X-1.97 Y-1.875 Z-10.643  
2010 L X-1.946 Y-1.849 Z-10.707  
2011 L X-1.914 Y-1.816 Z-10.801  
2012 L X-1.884 Y-1.788 Z-10.897  
2013 L X-1.857 Y-1.765 Z-10.996  
2014 L X-1.832 Y-1.748 Z-11.099  
2015 L X-1.811 Y-1.736 Z-11.201  
2016 L X-1.8 Y-1.729 Z-11.248  
2017 L X-1.786 Y-1.715 Z-11.292  
2018 L X-1.768 Y-1.695 Z-11.332  
2019 L X-1.749 Y-1.669 Z-11.368  
2020 L X-1.726 Y-1.638 Z-11.398  
2021 L X-1.703 Y-1.603 Z-11.422  
2022 L X-1.678 Y-1.565 Z-11.439  
2023 L X-1.654 Y-1.524 Z-11.448  
2024 L X-1.629 Y-1.483 Z-11.45  
2025 L X-1.606 Y-1.441 Z-11.444  
2026 L X-1.584 Y-1.4 Z-11.43  
2027 L X-1.565 Y-1.361 Z-11.409  
2028 L X-1.524 Y-1.277 Z-11.358  
2029 L X-1.48 Y-1.191 Z-11.313  
2030 L X-1.435 Y-1.104 Z-11.275  
2031 L X-1.389 Y-1.015 Z-11.243  
2032 L X-1.341 Y-.926 Z-11.217  
2033 L X-1.306 Y-.863 Z-11.202  
2034 L X-1.272 Y-.799 Z-11.191  
2035 L X-1.221 Y-.708 Z-11.18  
2036 L X-1.169 Y-.618 Z-11.175  
2037 L X-1.116 Y-.527 Z-11.177  
2038 L X-1.062 Y-.435 Z-11.186  
2039 L X-1.008 Y-.346 Z-11.2  
2040 L X-.917 Y-.194 Z-11.228  
2041 L X-.825 Y-.041 Z-11.248  
2042 L X-.735 Y+.113 Z-11.262  
2043 L X-.644 Y+.268 Z-11.269  
2044 L X-.554 Y+.424  
2045 L X-.465 Y+.579 Z-11.262  
2046 L X-.377 Y+.735 Z-11.248  
2047 L X-.29 Y+.891 Z-11.228  
2048 L X-.205 Y+1.046 Z-11.2  
2049 L X-.154 Y+1.138 Z-11.185  
2050 L X-.102 Y+1.23 Z-11.177  
2051 L X-.049 Y+1.322 Z-11.175  
2052 L X+.004 Y+1.412 Z-11.18  
2053 L X+.057 Y+1.502 Z-11.191  
2054 L X+.094 Y+1.564 Z-11.202  
2055 L X+.132 Y+1.625 Z-11.217  
2056 L X+.185 Y+1.711 Z-11.243  
2057 L X+.238 Y+1.795 Z-11.275  
2058 L X+.291 Y+1.877 Z-11.313  
2059 L X+.345 Y+1.959 Z-11.359  
2060 L X+.396 Y+2.035 Z-11.409  
2061 L X+.42 Y+2.072 Z-11.43  
2062 L X+.445 Y+2.111 Z-11.444  
2063 L X+.469 Y+2.152 Z-11.45

Katedra technologie obrábění  
 2064 L X+.493 Y+2.194 Z-11.448  
 2065 L X+.516 Y+2.236 Z-11.439  
 2066 L X+.537 Y+2.276 Z-11.422  
 2067 L X+.555 Y+2.314 Z-11.398  
 2068 L X+.571 Y+2.349 Z-11.368  
 2069 L X+.583 Y+2.379 Z-11.332  
 2070 L X+.592 Y+2.404 Z-11.292  
 2071 L X+.597 Y+2.423 Z-11.248  
 2072 L X+.598 Y+2.436 Z-11.201  
 2073 L X+.597 Y+2.461 Z-11.098  
 2074 L X+.6 Y+2.49 Z-10.996  
 2075 L X+.606 Y+2.525 Z-10.897  
 2076 L X+.616 Y+2.565 Z-10.8  
 2077 L X+.628 Y+2.61 Z-10.706  
 2078 L X+.639 Y+2.645 Z-10.642  
 2079 L X+.651 Y+2.681 Z-10.58  
 2080 L X+.671 Y+2.737 Z-10.494  
 2081 L X+.694 Y+2.797 Z-10.411  
 2082 L X+.72 Y+2.861 Z-10.333  
 2083 L X+.75 Y+2.932 Z-10.257  
 2084 L X+.782 Y+3.003 Z-10.188  
 2085 L X+.838 Y+3.13 Z-10.068  
 2086 L X+.891 Y+3.252 Z-9.944  
 2087 L X+.941 Y+3.371 Z-9.814  
 2088 L X+.988 Y+3.485 Z-9.679  
 2089 L X+.031 Y+3.595 Z-9.54  
 2090 L X+.2183 Y+.654 Z-5.667  
 FMAX  
 2091 L X+.791 Y+.6766 Z-5.722  
 FMAX  
 2092 L X+.64 Y+.821 Z-9.596  
 F300.  
 2093 L X+.596 Y+.712 Z-9.735  
 F297.  
 2094 L X+.549 Y+.597 Z-9.869  
 2095 L X+.499 Y+.479 Z-9.999  
 2096 L X+.446 Y+.356 Z-10.124  
 2097 L X+.39 Y+.323 Z-10.243  
 2098 L X+.358 Y+.3157 Z-10.314  
 2099 L X+.328 Y+.088 Z-10.388  
 2100 L X+.302 Y+.023 Z-10.467  
 2101 L X+.279 Y+.2963 Z-10.55  
 2102 L X+.259 Y+.2907 Z-10.637  
 2103 L X+.247 Y+.287 Z-10.699  
 2104 L X+.236 Y+.2836 Z-10.763  
 2105 L X+.224 Y+.2791 Z-10.857  
 2106 L X+.214 Y+.2752 Z-10.953  
 2107 L X+.208 Y+.2717 Z-11.052  
 2108 L X+.205 Y+.2687 Z-11.155  
 2109 L X+.206 Y+.2663 Z-11.257  
 2110 L X+.205 Y+.265 Z-11.304  
 2111 L X+.2 Y+.263 Z-11.348  
 2112 L X+.191 Y+.2605 Z-11.388  
 2113 L X+.179 Y+.2575 Z-11.424  
 2114 L X+.164 Y+.2541 Z-11.454  
 2115 L X+.145 Y+.2503 Z-11.478  
 2116 L X+.124 Y+.2462 Z-11.494  
 2117 L X+.101 Y+.2421 Z-11.504  
 2118 L X+.077 Y+.2379 Z-11.505  
 2119 L X+.053 Y+.2337 Z-11.499  
 2120 L X+.028 Y+.2298 Z-11.485  
 2121 L X+.004 Y+.2262 Z-11.464

2122 L X-.048 Y+.2.184 Z-11.414  
 2123 L X-.101 Y+.2.104 Z-11.369  
 2124 L X-.154 Y+.2.021 Z-11.331  
 2125 L X-.207 Y+.1.937 Z-11.298  
 2126 L X-.261 Y+.1.85 Z-11.272  
 2127 L X-.298 Y+.1.789 Z-11.258  
 2128 L X-.336 Y+.1.727 Z-11.246  
 2129 L X-.389 Y+.1.638 Z-11.235  
 2130 L X-.442 Y+.1.547 Z-11.231  
 2131 L X-.494 Y+.1.457 Z-11.233  
 2132 L X-.546 Y+.1.363 Z-11.241  
 2133 L X-.597 Y+.1.272 Z-11.256  
 2134 L X-.682 Y+.1.117 Z-11.283  
 2135 L X-.769 Y+.962 Z-11.304  
 2136 L X-.857 Y+.806 Z-11.318  
 2137 L X-.946 Y+.65 Z-11.325  
 2138 L X-1.036 Y+.495  
 2139 L X-1.126 Y+.34 Z-11.318  
 2140 L X-1.217 Y+.186 Z-11.304  
 2141 L X-1.309 Y+.032 Z-11.283  
 2142 L X-1.4 Y-.119 Z-11.256  
 2143 L X-1.454 Y-.21 Z-11.241  
 2144 L X-1.508 Y-.3 Z-11.233  
 2145 L X-1.561 Y-.392 Z-11.231  
 2146 L X-1.613 Y-.483 Z-11.235  
 2147 L X-1.664 Y-.574 Z-11.246  
 2148 L X-1.699 Y-.637 Z-11.258  
 2149 L X-1.733 Y-.701 Z-11.272  
 2150 L X-1.781 Y-.79 Z-11.298  
 2151 L X-1.828 Y-.878 Z-11.331  
 2152 L X-1.872 Y-.964 Z-11.369  
 2153 L X-1.916 Y-1.052 Z-11.414  
 2154 L X-1.957 Y-1.134 Z-11.464  
 2155 L X-1.976 Y-1.173 Z-11.485  
 2156 L X-1.998 Y-1.214 Z-11.499  
 2157 L X-2.021 Y-1.256 Z-11.505  
 2158 L X-2.046 Y-1.298 Z-11.504  
 2159 L X-2.07 Y-1.339 Z-11.494  
 2160 L X-2.095 Y-1.377 Z-11.478  
 2161 L X-2.118 Y-1.412 Z-11.454  
 2162 L X-2.14 Y-1.443 Z-11.424  
 2163 L X-2.16 Y-1.468 Z-11.388  
 2164 L X-2.178 Y-1.489 Z-11.348  
 2165 L X-2.192 Y-1.502 Z-11.304  
 2166 L X-2.203 Y-1.51 Z-11.257  
 2167 L X-2.224 Y-1.521 Z-11.154  
 2168 L X-2.249 Y-1.539 Z-11.052  
 2169 L X-2.276 Y-1.561 Z-10.953  
 2170 L X-2.306 Y-1.59 Z-10.856  
 2171 L X-2.338 Y-1.623 Z-10.762  
 2172 L X-2.363 Y-1.649 Z-10.698  
 2173 L X-2.388 Y-1.678 Z-10.635  
 2174 L X-2.427 Y-1.723 Z-10.549  
 2175 L X-2.467 Y-1.774 Z-10.467  
 2176 L X-2.51 Y-1.828 Z-10.389  
 2177 L X-2.556 Y-1.889 Z-10.313  
 2178 L X-2.602 Y-1.952 Z-10.243  
 2179 L X-2.684 Y-2.064 Z-10.124  
 2180 L X-2.763 Y-2.171 Z-9.999  
 2181 L X-2.841 Y-2.274 Z-9.869  
 2182 L X-2.916 Y-2.372 Z-9.735  
 2183 L X-2.99 Y-2.465 Z-9.596

Radek Veselý

2184 L X-4.965 Y-4.934 Z-5.722  
 FMAX  
 2185 L X-5.356 Y-4.708 Z-5.778  
 FMAX  
 2186 L X-3.382 Y-2.238 Z-9.651  
 F300.  
 2187 L X-3.308 Y-2.145 Z-9.79  
 F297.  
 2188 L X-3.233 Y-2.048 Z-9.925  
 2189 L X-3.155 Y-1.945 Z-10.055  
 2190 L X-3.076 Y-1.838 Z-10.179  
 2191 L X-2.994 Y-1.726 Z-10.299  
 2192 L X-2.947 Y-1.662 Z-10.369  
 2193 L X-2.902 Y-1.602 Z-10.444  
 2194 L X-2.859 Y-1.547 Z-10.523  
 2195 L X-2.818 Y-1.497 Z-10.606  
 2196 L X-2.78 Y-1.451 Z-10.692  
 2197 L X-2.754 Y-1.422 Z-10.755  
 2198 L X-2.73 Y-1.396 Z-10.819  
 2199 L X-2.698 Y-1.363 Z-10.912  
 2200 L X-2.668 Y-1.335 Z-11.009  
 2201 L X-2.641 Y-1.312 Z-11.107  
 2202 L X-2.616 Y-1.295 Z-11.21  
 2203 L X-2.595 Y-1.284 Z-11.312  
 2204 L X-2.584 Y-1.276 Z-11.359  
 2205 L X-2.57 Y-1.262 Z-11.403  
 2206 L X-2.552 Y-1.242 Z-11.444  
 2207 L X-2.532 Y-1.216 Z-11.479  
 2208 L X-2.51 Y-1.186 Z-11.51  
 2209 L X-2.487 Y-1.151 Z-11.533  
 2210 L X-2.462 Y-1.112 Z-11.55  
 2211 L X-2.438 Y-1.072 Z-11.559  
 2212 L X-2.413 Y-1.03 Z-11.561  
 2213 L X-2.39 Y-0.988 Z-11.555  
 2214 L X-2.368 Y-0.947 Z-11.541  
 2215 L X-2.349 Y-0.908 Z-11.52  
 2216 L X-2.308 Y-0.824 Z-11.469  
 2217 L X-2.264 Y-0.739 Z-11.425  
 2218 L X-2.219 Y-0.651 Z-11.386  
 2219 L X-2.173 Y-0.563 Z-11.354  
 2220 L X-2.125 Y-0.473 Z-11.328  
 2221 L X-2.09 Y-0.41 Z-11.313  
 2222 L X-2.055 Y-0.347 Z-11.302  
 2223 L X-2.005 Y-0.256 Z-11.291  
 2224 L X-1.953 Y-0.165 Z-11.286  
 2225 L X-1.9 Y-0.075 Z-11.288  
 2226 L X-1.846 Y-0.018 Z-11.297  
 2227 L X-1.792 Y-0.107 Z-11.312  
 2228 L X-1.701 Y-0.259 Z-11.339  
 2229 L X-1.609 Y-0.412 Z-11.36  
 2230 L X-1.518 Y-0.566 Z-11.373  
 2231 L X-1.428 Y-0.721 Z-11.38  
 2232 L X-1.338 Y-0.876  
 2233 L X-1.249 Y-0.1032 Z-11.373  
 2234 L X-1.161 Y-0.188 Z-11.36  
 2235 L X-1.074 Y-0.1343 Z-11.339  
 2236 L X-0.989 Y-0.1499 Z-11.312  
 2237 L X-0.938 Y-0.1591 Z-11.297  
 2238 L X-0.886 Y-0.1683 Z-11.288  
 2239 L X-0.833 Y-0.1774 Z-11.286  
 2240 L X-0.78 Y-0.1865 Z-11.291  
 2241 L X-0.727 Y-0.1955 Z-11.302

## Katedra technologie obrábění

2242 L X-.689 Y+2.017 Z-11.313  
 2243 L X-.652 Y+2.078 Z-11.328  
 2244 L X-.599 Y+2.164 Z-11.354  
 2245 L X-.546 Y+2.248 Z-11.386  
 2246 L X-.493 Y+2.33 Z-11.424  
 2247 L X-.439 Y+2.412 Z-11.47  
 2248 L X-.388 Y+2.488 Z-11.52  
 2249 L X-.364 Y+2.524 Z-11.541  
 2250 L X-.339 Y+2.564 Z-11.555  
 2251 L X-.315 Y+2.605 Z-11.561  
 2252 L X-.291 Y+2.647 Z-11.559  
 2253 L X-.268 Y+2.689 Z-11.55  
 2254 L X-.247 Y+2.729 Z-11.533  
 2255 L X-.228 Y+2.767 Z-11.51  
 2256 L X-.213 Y+2.801 Z-11.479  
 2257 L X-.2 Y+2.832 Z-11.444  
 2258 L X-.192 Y+2.857 Z-11.403  
 2259 L X-.187 Y+2.876 Z-11.359  
 2260 L X-.186 Y+2.889 Z-11.312  
 2261 L X-.187 Y+2.913 Z-11.209  
 2262 L X-.184 Y+2.943 Z-11.108  
 2263 L X-.178 Y+2.978 Z-11.008  
 2264 L X-.168 Y+3.018 Z-10.911  
 2265 L X-.156 Y+3.063 Z-10.817  
 2266 L X-.145 Y+3.097 Z-10.753  
 2267 L X-.133 Y+3.134 Z-10.691  
 2268 L X-.113 Y+3.189 Z-10.605  
 2269 L X-.09 Y+3.25 Z-10.523  
 2270 L X-.064 Y+3.314 Z-10.444  
 2271 L X-.034 Y+3.384 Z-10.368  
 2272 L X-.002 Y+3.456 Z-10.299  
 2273 L X+.054 Y+3.582 Z-10.179  
 2274 L X+.107 Y+3.705 Z-10.055  
 2275 L X+.157 Y+3.824 Z-9.925  
 2276 L X+.204 Y+3.938 Z-9.79  
 2277 L X+.248 Y+4.048 Z-9.651  
 2278 L X+.399 Y+6.993 Z-5.778  
 F1000.  
 ; DOKONČENÍ LÚŽKA 1  
 2279 L X+.81.113 Y-51.352  
 Z+.14.117 FMAX  
 2280 L X-.4.844 Y-1.725 Z+.1.93  
 FMAX  
 2281 L X-.4.824 Y-1.734 Z+.1.759  
 F300.  
 2282 L X-.4.801 Y-1.736 Z+.1.588  
 2283 L X-.4.775 Y-1.732 Z+.1.419  
 2284 L X-.4.745 Y-1.721 Z+.1.252  
 2285 L X-.4.712 Y-1.705 Z+.1.086  
 2286 L X-.4.676 Y-1.682 Z+.923  
 2287 L X-.4.637 Y-1.654 Z+.763  
 2288 L X-.4.595 Y-1.619 Z+.605  
 2289 L X-.4.55 Y-1.579 Z+.45  
 2290 L X-.4.502 Y-1.534 Z+.298  
 2291 L X-.4.451 Y-1.483 Z+.149  
 2292 L X-.4.398 Y-1.427 Z+.004  
 2293 L X-.4.337 Y-1.358 Z-.152  
 2294 L X-.4.285 Y-1.299 Z-.274  
 2295 L X-.4.219 Y-1.22 Z-.422  
 2296 L X-.4.163 Y-1.153 Z-.537  
 2297 L X-.4.092 Y-1.063 Z-.675  
 2298 L X-.4.034 Y-.988 Z-.782

2299 L X-3.959 Y-.89 Z-.91  
 2300 L X-3.897 Y-.807 Z-1.008  
 2301 L X-3.834 Y-.722 Z-1.102  
 2302 L X-3.754 Y-.611 Z-1.215  
 2303 L X-3.689 Y-.519 Z-1.3  
 2304 L X-3.607 Y-.401 Z-1.401  
 2305 L X-3.54 Y-.303 Z-1.477  
 2306 L X-3.455 Y-.178 Z-1.566  
 2307 L X-3.386 Y-.075 Z-1.632  
 2308 L X-3.299 Y+.056 Z-1.708  
 2309 L X-3.229 Y+.163 Z-1.765  
 2310 L X-3.142 Y+.3 Z-1.829  
 2311 L X-3.071 Y+.411 Z-1.875  
 2312 L X-2.982 Y+.552 Z-1.926  
 2313 L X-2.911 Y+.666 Z-1.961  
 2314 L X-2.823 Y+.811 Z-1.999  
 2315 L X-2.752 Y+.927 Z-2.024  
 2316 L X-2.663 Y+.105 Z-2.049  
 2317 L X-2.593 Y+.193 Z-2.063  
 2318 L X-2.505 Y+.1343 Z-2.074  
 2319 L X-2.437 Y+.146 Z-2.078  
 2320 L X-2.34 Y+.1625 Z-2.084  
 F297.  
 2321 L X-2.243 Y+.179 Z-2.097  
 2322 L X-2.146 Y+.1954 Z-2.118  
 2323 L X-2.048 Y+.2117 Z-2.147  
 2324 L X-1.95 Y+.2278 Z-2.183  
 2325 L X-1.852 Y+.2437 Z-2.227  
 2326 L X-1.754 Y+.2593 Z-2.278  
 2327 L X-1.656 Y+.2748 Z-2.337  
 2328 L X-1.559 Y+.29 Z-2.403  
 2329 L X-1.463 Y+.3049 Z-2.476  
 2330 L X-1.367 Y+.3194 Z-2.557  
 2331 L X-1.273 Y+.3337 Z-2.644  
 2332 L X-1.179 Y+.3476 Z-2.738  
 2333 L X-1.087 Y+.3611 Z-2.839  
 2334 L X-.996 Y+.3741 Z-2.946  
 2335 L X-.907 Y+.3868 Z-3.059  
 2336 L X-.82 Y+.399 Z-3.179  
 2337 L X-.734 Y+.4107 Z-3.304  
 2338 L X-.651 Y+.422 Z-3.435  
 2339 L X-.569 Y+.4327 Z-3.572  
 2340 L X-.49 Y+.4429 Z-3.714  
 2341 L X-.414 Y+.4526 Z-3.86  
 2342 L X-.339 Y+.4617 Z-4.012  
 2343 L X-.268 Y+.4703 Z-4.168  
 2344 L X-.199 Y+.4782 Z-4.329  
 2345 L X-.133 Y+.4856 Z-4.493  
 2346 L X-.071 Y+.4923 Z-4.662  
 2347 L X-.011 Y+.4985 Z-4.834  
 2348 L X+.046 Y+.504 Z-5.009  
 2349 L X+.099 Y+.5088 Z-5.186  
 2350 L X+.149 Y+.513 Z-5.367  
 2351 L X+.195 Y+.5166 Z-5.55  
 2352 L X+.238 Y+.5194 Z-5.734  
 2353 L X+.277 Y+.5217 Z-5.921  
 2354 L X+.313 Y+.5232 Z-6.109  
 2355 L X+.345 Y+.5241 Z-6.298  
 2356 L X+.373 Y+.5243 Z-6.488  
 2357 L X+.502 Y+.5234 Z-7.434  
 2358 L X+.638 Y+.5222 Z-8.443  
 2359 L X+.729 Y+.5211 Z-9.133

## Radek Veselý

2360 L X+.674 Y+.5.113 Z-9.143  
 2361 L X+.62 Y+.5.015 Z-9.16  
 2362 L X+.568 Y+.4.919 Z-9.184  
 2363 L X+.517 Y+.4.823 Z-9.217  
 2364 L X+.469 Y+.4.729 Z-9.257  
 2365 L X+.423 Y+.4.638 Z-9.304  
 2366 L X+.379 Y+.4.549 Z-9.358  
 2367 L X+.339 Y+.4.464 Z-9.42  
 2368 L X+.301 Y+.4.382 Z-9.487  
 2369 L X+.266 Y+.4.304 Z-9.561  
 2370 L X+.235 Y+.4.23 Z-9.641  
 2371 L X+.207 Y+.4.161 Z-9.725  
 2372 L X+.163 Y+.4.049 Z-9.868  
 2373 L X+.115 Y+.3.932 Z-10.005  
 2374 L X+.064 Y+.3.811 Z-10.138  
 2375 L X+.009 Y+.3.686 Z-10.265  
 2376 L X-.048 Y+.3.557 Z-10.387  
 2377 L X-.082 Y+.3.48 Z-10.462  
 2378 L X-.112 Y+.3.407 Z-10.543  
 2379 L X-.139 Y+.3.339 Z-10.629  
 2380 L X-.163 Y+.3.276 Z-10.72  
 2381 L X-.182 Y+.3.219 Z-10.815  
 2382 L X-.198 Y+.3.167 Z-10.915  
 2383 L X-.21 Y+.3.121 Z-11.017  
 2384 L X-.218 Y+.3.082 Z-11.123  
 2385 L X-.221 Y+.3.049 Z-11.231  
 2386 L Y+.3.023 Z-11.341  
 2387 L X-.222 Y+.3.009 Z-11.394  
 2388 L X-.226 Y+.2.988 Z-11.446  
 2389 L X-.235 Y+.2.962 Z-11.493  
 2390 L X-.247 Y+.2.93 Z-11.537  
 2391 L X-.262 Y+.2.894 Z-11.576  
 2392 L X-.281 Y+.2.853 Z-11.609  
 2393 L X-.302 Y+.2.81 Z-11.635  
 2394 L X-.326 Y+.2.764 Z-11.655  
 2395 L X-.352 Y+.2.716 Z-11.668  
 2396 L X-.379 Y+.2.668 Z-11.673  
 2397 L X-.407 Y+.2.621 Z-11.67  
 2398 L X-.435 Y+.2.574 Z-11.66  
 2399 L X-.463 Y+.2.53 Z-11.642  
 2400 L X-.49 Y+.2.488 Z-11.618  
 2401 L X-.546 Y+.2.406 Z-11.564  
 2402 L X-.602 Y+.2.32 Z-11.518  
 2403 L X-.659 Y+.2.23 Z-11.479  
 2404 L X-.717 Y+.2.138 Z-11.447  
 2405 L X-.774 Y+.2.044 Z-11.423  
 2406 L X-.832 Y+.1.948 Z-11.407  
 2407 L X-.889 Y+.1.851 Z-11.399  
 2408 L X-.946 Y+.1.753 Z-11.398  
 2409 L X-1.001 Y+.1.655 Z-11.406  
 2410 L X-1.056 Y+.1.557 Z-11.422  
 2411 L X-1.143 Y+.1.399 Z-11.45  
 2412 L X-1.232 Y+.1.24 Z-11.471  
 2413 L X-1.322 Y+.1.081 Z-11.485  
 2414 L X-1.413 Y+.922 Z-11.492  
 2415 L X-1.504 Y+.763  
 2416 L X-1.597 Y+.605 Z-11.485  
 2417 L X-1.69 Y+.447 Z-11.471  
 2418 L X-1.783 Y+.291 Z-11.45  
 2419 L X-1.876 Y+.135 Z-11.422  
 2420 L X-1.934 Y+.04 Z-11.406  
 2421 L X-1.991 Y-.058 Z-11.398

## Katedra technologie obrábění

2422 L X-2.048 Y-.156 Z-11.399	2484 L X-4.296 Y-2.39 Z-4.64	Radek Veselý
2423 L X-2.103 Y-.254 Z-11.407	2485 L X-4.268 Y-2.3 Z-4.47	2546 L X-.071 Y+4.461 Z-6.541
2424 L X-2.157 Y-.351 Z-11.423	2486 L X-4.236 Y-2.204 Z-4.304	2547 L X+.058 Y+4.453 Z-7.485
2425 L X-2.21 Y-.449 Z-11.447	2487 L X-4.201 Y-2.102 Z-4.142	2548 L X+.137 Y+4.446 Z-8.072
2426 L X-2.261 Y-.544 Z-11.479	2488 L X-4.161 Y-1.995 Z-3.985	2549 L X+.144 Y+4.442 Z-8.135
2427 L X-2.31 Y-.638 Z-11.518	2489 L X-4.118 Y-1.883 Z-3.832	2550 L X+.147 Y+4.432 Z-8.199
2428 L X-2.356 Y-.73 Z-11.564	2490 L X-4.071 Y-1.766 Z-3.684	2551 L Y+4.417 Z-8.261
2429 L X-2.4 Y-.82 Z-11.618	2491 L X-4.021 Y-1.644 Z-3.541	2552 L X+.143 Y+4.395 Z-8.322
2430 L X-2.422 Y-.864 Z-11.642	2492 L X-3.967 Y-1.517 Z-3.404	2553 L X+.136 Y+4.369 Z-8.38
2431 L X-2.447 Y-.911 Z-11.66	2493 L X-3.91 Y-1.386 Z-3.273	2554 L X+.126 Y+4.337 Z-8.435
2432 L X-2.473 Y-.958 Z-11.67	2494 L X-3.85 Y-1.25 Z-3.147	2555 L X+.112 Y+4.301 Z-8.486
2433 L X-2.5 Y-1.006 Z-11.673	2495 L X-3.786 Y-1.111 Z-3.028	2556 L X+.095 Y+4.26 Z-8.533
2434 L X-2.528 Y-1.054 Z-11.668	2496 L X-3.719 Y-.967 Z-2.915	2557 L X+.076 Y+4.216 Z-8.574
2435 L X-2.556 Y-1.1 Z-11.655	2497 L X-3.65 Y-.821 Z-2.808	2558 L X+.053 Y+4.168 Z-8.611
2436 L X-2.584 Y-1.143 Z-11.635	2498 L X-3.577 Y-.67 Z-2.708	2559 L X+.009 Y+4.076 Z-8.677
2437 L X-2.611 Y-1.183 Z-11.609	2499 L X-3.502 Y-.517 Z-2.615	2560 L X-.032 Y+3.987 Z-8.748
2438 L X-2.637 Y-1.22 Z-11.576	2500 L X-3.424 Y-.361 Z-2.529	2561 L X-.071 Y+3.9 Z-8.823
2439 L X-2.661 Y-1.251 Z-11.537	2501 L X-3.344 Y-.203 Z-2.45	2562 L X-.108 Y+3.817 Z-8.903
2440 L X-2.682 Y-1.278 Z-11.493	2502 L X-3.261 Y-.042 Z-2.379	2563 L X-.142 Y+3.737 Z-8.987
2441 L X-2.701 Y-1.298 Z-11.446	2503 L X-3.176 Y+.12 Z-2.314	2564 L X-.174 Y+3.66 Z-9.075
2442 L X-2.716 Y-1.312 Z-11.394	2504 L X-3.09 Y+.285 Z-2.258	2565 L X-.203 Y+3.587 Z-9.167
2443 L X-2.728 Y-1.32 Z-11.341	2505 L X-3.001 Y+.451 Z-2.209	2566 L X-.24 Y+3.496 Z-9.283
2444 L X-2.751 Y-1.333 Z-11.231	2506 L X-2.91 Y+.618 Z-2.167	2567 L X-.278 Y+3.401 Z-9.394
2445 L X-2.778 Y-1.353 Z-11.123	2507 L X-2.818 Y+.785 Z-2.134	2568 L X-.32 Y+3.303 Z-9.501
2446 L X-2.808 Y-1.379 Z-11.017	2508 L X-2.725 Y+.954 Z-2.108	2569 L X-.364 Y+3.202 Z-9.604
2447 L X-2.842 Y-1.412 Z-10.915	2509 L X-2.63 Y+1.122 Z-2.09	2570 L X-.41 Y+3.097 Z-9.703
2448 L X-2.879 Y-1.451 Z-10.815	2510 L X-2.534 Y+1.291 Z-2.08	2571 L X-.448 Y+3.012 Z-9.785
2449 L X-2.918 Y-1.497 Z-10.72	2511 L X-2.437 Y+1.46 Z-2.078	2572 L X-.483 Y+2.929 Z-9.871
2450 L X-2.961 Y-1.549 Z-10.629	2512 L X-2.391 Y+1.428 Z-2.524	2573 L X-.516 Y+2.851 Z-9.961
2451 L X-3.007 Y-1.606 Z-10.543	2513 L X-2.346 Y+1.397 Z-2.971	2574 L X-.546 Y+2.776 Z-10.056
2452 L X-3.054 Y-1.669 Z-10.462	2514 L X-2.258 Y+1.548 Z-2.977	2575 L X-.573 Y+2.705 Z-10.154
2453 L X-3.104 Y-1.737 Z-10.387	2515 L X-2.17 Y+1.697 Z-2.99	2576 L X-.597 Y+2.638 Z-10.256
2454 L X-3.187 Y-1.851 Z-10.265	2516 L X-2.081 Y+1.846 Z-3.011	2577 L X-.611 Y+2.6 Z-10.31
2455 L X-3.269 Y-1.961 Z-10.138	2517 L X-1.993 Y+1.993 Z-3.04	2578 L X-.629 Y+2.558 Z-10.359
2456 L X-3.348 Y-2.065 Z-10.005	2518 L X-1.904 Y+2.138 Z-3.077	2579 L X-.649 Y+2.511 Z-10.403
2457 L X-3.425 Y-2.165 Z-9.868	2519 L X-1.815 Y+2.281 Z-3.121	2580 L X-.673 Y+2.461 Z-10.441
2458 L X-3.5 Y-2.26 Z-9.725	2520 L X-1.726 Y+2.422 Z-3.173	2581 L X-.699 Y+2.408 Z-10.472
2459 L X-3.542 Y-2.314 Z-9.647	2521 L X-1.638 Y+2.56 Z-3.233	2582 L X-.728 Y+2.352 Z-10.497
2460 L X-3.586 Y-2.372 Z-9.573	2522 L X-1.55 Y+2.695 Z-3.299	2583 L X-.758 Y+2.295 Z-10.515
2461 L X-3.632 Y-2.435 Z-9.503	2523 L X-1.464 Y+2.827 Z-3.373	2584 L X-.79 Y+2.237 Z-10.525
2462 L X-3.68 Y-2.502 Z-9.439	2524 L X-1.378 Y+2.955 Z-3.454	2585 L X-.824 Y+2.178 Z-10.528
2463 L X-3.729 Y-2.572 Z-9.381	2525 L X-1.294 Y+3.08 Z-3.542	2586 L X-.858 Y+2.121 Z-10.524
2464 L X-3.78 Y-2.646 Z-9.328	2526 L X-1.211 Y+3.2 Z-3.636	2587 L X-.921 Y+2.014 Z-10.511
2465 L X-3.831 Y-2.724 Z-9.281	2527 L X-1.129 Y+3.317 Z-3.737	2588 L X-.983 Y+1.907 Z-10.505
2466 L X-3.883 Y-2.804 Z-9.24	2528 L X-1.05 Y+3.429 Z-3.844	2589 L X-1.046 Y+1.8
2467 L X-3.936 Y-2.887 Z-9.206	2529 L X-.972 Y+3.536 Z-3.957	2590 L X-1.107 Y+1.692 Z-10.511
2468 L X-3.989 Y-2.972 Z-9.178	2530 L X-.896 Y+3.638 Z-4.076	2591 L X-1.167 Y+1.584 Z-10.523
2469 L X-4.042 Y-3.059 Z-9.156	2531 L X-822 Y+3.735 Z-4.201	2592 L X-1.227 Y+1.477 Z-10.542
2470 L X-4.095 Y-3.148 Z-9.141	2532 L X-751 Y+3.826 Z-4.331	2593 L X-1.307 Y+1.332 Z-10.567
2471 L X-4.148 Y-3.237 Z-9.133	2533 L X-682 Y+3.912 Z-4.466	2594 L X-1.388 Y+1.187 Z-10.585
2472 L X-4.217 Y-3.144 Z-8.269	2534 L X-.616 Y+3.993 Z-4.606	2595 L X-1.47 Y+1.042 Z-10.596
2473 L X-4.298 Y-3.028 Z-7.227	2535 L X-.552 Y+4.067 Z-4.75	2596 L X-1.553 Y+.897 Z-10.599
2474 L X-4.354 Y-2.944 Z-6.488	2536 L X-.492 Y+4.135 Z-4.898	2597 L X-1.637 Y+.752 Z-10.596
2475 L X-4.366 Y-2.918 Z-6.296	2537 L X-.435 Y+4.198 Z-5.05	2598 L X-1.722 Y+.609 Z-10.585
2476 L X-4.375 Y-2.886 Z-6.104	2538 L X-.38 Y+4.253 Z-5.206	2599 L X-1.807 Y+.466 Z-10.567
2477 L X-4.379 Y-2.847 Z-5.914	2539 L X-.329 Y+4.303 Z-5.365	2600 L X-1.892 Y+.324 Z-10.542
2478 L Y-2.801 Z-5.725	2540 L X-.281 Y+4.346 Z-5.527	2601 L X-1.956 Y+.219 Z-10.523
2479 L X-4.376 Y-2.748 Z-5.538	2541 L X-.237 Y+4.382 Z-5.692	2602 L X-2.019 Y+.113 Z-10.511
2480 L X-4.368 Y-2.689 Z-5.353	2542 L X-.197 Y+4.411 Z-5.859	2603 L X-2.081 Y+.006 Z-10.505
2481 L X-4.356 Y-2.624 Z-5.17	2543 L X-.159 Y+4.434 Z-6.027	2604 L X-2.144 Y-.102
2482 L X-4.34 Y-2.552 Z-4.99	2544 L X-.126 Y+4.45 Z-6.198	2605 L X-2.205 Y-.21 Z-10.511
2483 L X-4.32 Y-2.474 Z-4.814	2545 L X-.097 Y+4.459 Z-6.369	2606 L X-2.265 Y-.318 Z-10.524
		2607 L X-2.298 Y-.376 Z-10.528

## Katedra technologie obrábění

2608 L X-2.332 Y-.434 Z-10.525	2670 L X-3.138 Y-.062 Z-3.329	Radek Veselý
2609 L X-2.367 Y-.491 Z-10.515	2671 L X-3.067 Y+.078 Z-3.26	2732 L X-.855 Y+2.45 Z-9.204
2610 L X-2.401 Y-.546 Z-10.497	2672 L X-2.994 Y+.22 Z-3.199	2733 L X-.892 Y+2.361 Z-9.302
2611 L X-2.435 Y-.598 Z-10.472	2673 L X-2.918 Y+.364 Z-3.144	2734 L X-.927 Y+2.275 Z-9.404
2612 L X-2.468 Y-.648 Z-10.441	2674 L X-2.841 Y+.509 Z-3.097	2735 L X-.944 Y+2.234 Z-9.45
2613 L X-2.5 Y-.693 Z-10.403	2675 L X-2.762 Y+.656 Z-3.057	2736 L X-.964 Y+2.189 Z-9.49
2614 L X-2.53 Y-.735 Z-10.359	2676 L X-2.681 Y+.803 Z-3.025	2737 L X-.987 Y+2.142 Z-9.526
2615 L X-2.557 Y-.771 Z-10.31	2677 L X-2.599 Y+.951 Z-3.	2738 L X-1.012 Y+2.091 Z-9.556
2616 L X-2.583 Y-.802 Z-10.256	2678 L X-2.516 Y+1.1 Z-2.983	2739 L X-1.039 Y+2.039 Z-9.579
2617 L X-2.629 Y-.856 Z-10.154	2679 L X-2.432 Y+1.249 Z-2.973	2740 L X-1.068 Y+1.984 Z-9.596
2618 L X-2.677 Y-.915 Z-10.056	2680 L X-2.346 Y+1.397 Z-2.971	2741 L X-1.098 Y+1.929 Z-9.607
2619 L X-2.727 Y-.979 Z-9.961	2681 L X-2.301 Y+1.366 Z-3.418	2742 L X-1.129 Y+1.874 Z-9.611
2620 L X-2.779 Y-1.046 Z-9.871	2682 L X-2.255 Y+1.335 Z-3.864	2743 L X-1.198 Y+1.754 Z-9.616
2621 L X-2.832 Y-1.118 Z-9.785	2683 L X-2.179 Y+1.466 Z-3.87	2744 L X-1.266 Y+1.635 Z-9.626
2622 L X-2.887 Y-1.193 Z-9.703	2684 L X-2.102 Y+1.596 Z-3.883	2745 L X-1.332 Y+1.515 Z-9.641
2623 L X-2.955 Y-1.286 Z-9.605	2685 L X-2.025 Y+1.725 Z-3.904	2746 L X-1.398 Y+1.396 Z-9.662
2624 L X-3.02 Y-1.374 Z-9.502	2686 L X-1.947 Y+1.852 Z-3.932	2747 L X-1.468 Y+1.269 Z-9.683
2625 L X-3.084 Y-1.459 Z-9.395	2687 L X-1.87 Y+1.977 Z-3.968	2748 L X-1.54 Y+1.142 Z-9.698
2626 L X-3.147 Y-1.54 Z-9.283	2688 L X-1.793 Y+2.1 Z-4.012	2749 L X-1.612 Y+1.015 Z-9.705
2627 L X-3.207 Y-1.616 Z-9.168	2689 L X-1.716 Y+2.221 Z-4.063	2750 L X-1.685 Y+.888
2628 L X-3.257 Y-1.679 Z-9.075	2690 L X-1.64 Y+2.338 Z-4.121	2751 L X-1.759 Y+.762 Z-9.698
2629 L X-3.307 Y-1.745 Z-8.987	2691 L X-1.565 Y+2.453 Z-4.186	2752 L X-1.833 Y+.637 Z-9.683
2630 L X-3.36 Y-1.815 Z-8.902	2692 L X-1.49 Y+2.563 Z-4.259	2753 L X-1.908 Y+.513 Z-9.662
2631 L X-3.413 Y-1.888 Z-8.822	2693 L X-1.417 Y+2.67 Z-4.337	2754 L X-1.978 Y+.396 Z-9.641
2632 L X-3.469 Y-1.965 Z-8.747	2694 L X-1.346 Y+2.773 Z-4.423	2755 L X-2.049 Y+.279 Z-9.626
2633 L X-3.525 Y-2.046 Z-8.676	2695 L X-1.276 Y+2.872 Z-4.515	2756 L X-2.118 Y+.16 Z-9.616
2634 L X-3.583 Y-2.13 Z-8.61	2696 L X-1.208 Y+2.965 Z-4.613	2757 L X-2.188 Y+.041 Z-9.611
2635 L X-3.613 Y-2.173 Z-8.574	2697 L X-1.142 Y+3.054 Z-4.716	2758 L X-2.22 Y-.014 Z-9.607
2636 L X-3.642 Y-2.213 Z-8.532	2698 L X-1.078 Y+3.138 Z-4.825	2759 L X-2.252 Y-.067 Z-9.596
2637 L X-3.669 Y-2.248 Z-8.485	2699 L X-1.017 Y+3.217 Z-4.939	2760 L X-2.285 Y-.119 Z-9.579
2638 L X-3.693 Y-2.278 Z-8.434	2700 L X-.958 Y+3.29 Z-5.059	2761 L X-2.317 Y-.169 Z-9.556
2639 L X-3.716 Y-2.303 Z-8.379	2701 L X-.901 Y+3.357 Z-5.182	2762 L X-2.348 Y-.216 Z-9.526
2640 L X-3.735 Y-2.322 Z-8.321	2702 L X-.848 Y+3.418 Z-5.31	2763 L X-2.378 Y-.26 Z-9.49
2641 L X-3.751 Y-2.336 Z-8.26	2703 L X-.797 Y+3.473 Z-5.442	2764 L X-2.407 Y-.299 Z-9.45
2642 L X-3.765 Y-2.344 Z-8.198	2704 L X-.75 Y+3.522 Z-5.578	2765 L X-2.434 Y-.334 Z-9.404
2643 L X-3.775 Y-2.345 Z-8.134	2705 L X-.706 Y+3.564 Z-5.717	2766 L X-2.491 Y-.408 Z-9.302
2644 L X-3.782 Y-2.341 Z-8.07	2706 L X-.665 Y+3.6 Z-5.858	2767 L X-2.549 Y-.485 Z-9.204
2645 L X-3.843 Y-2.254 Z-7.28	2707 L X-.627 Y+3.63 Z-6.002	2768 L X-2.609 Y-.566 Z-9.109
2646 L X-3.899 Y-2.169 Z-6.542	2708 L X-.594 Y+3.652 Z-6.148	2769 L X-2.671 Y-.65 Z-9.019
2647 L X-3.91 Y-2.146 Z-6.372	2709 L X-.563 Y+3.668 Z-6.296	2770 L X-2.735 Y-.738 Z-8.925
2648 L X-3.917 Y-2.117 Z-6.204	2710 L X-.537 Y+3.678 Z-6.445	2771 L X-2.797 Y-.821 Z-8.825
2649 L X-3.92 Y-2.081 Z-6.036	2711 L X-.514 Y+3.68 Z-6.595	2772 L X-2.857 Y-.9 Z-8.72
2650 L X-3.919 Y-2.039 Z-5.87	2712 L X-.373 Y+3.67 Z-7.634	2773 L X-2.915 Y-.973 Z-8.611
2651 L X-3.914 Y-1.99 Z-5.706	2713 L X-.366 Y+3.667 Z-7.696	2774 L X-2.971 Y-1.043 Z-8.505
2652 L X-3.905 Y-1.935 Z-5.544	2714 L X-.362 Y+3.658 Z-7.758	2775 L X-3.027 Y-1.116 Z-8.405
2653 L X-3.893 Y-1.874 Z-5.385	2715 L Y+3.643 Z-7.818	2776 L X-3.085 Y-1.193 Z-8.308
2654 L X-3.876 Y-1.807 Z-5.228	2716 L X-.365 Y+3.624 Z-7.877	2777 L X-3.144 Y-1.273 Z-8.215
2655 L X-3.856 Y-1.734 Z-5.074	2717 L X-.371 Y+3.599 Z-7.934	2778 L X-3.205 Y-1.357 Z-8.126
2656 L X-3.832 Y-1.656 Z-4.924	2718 L X-.381 Y+3.569 Z-7.988	2779 L X-3.232 Y-1.394 Z-8.085
2657 L X-3.804 Y-1.572 Z-4.777	2719 L X-.394 Y+3.535 Z-8.038	2780 L X-3.258 Y-1.426 Z-8.038
2658 L X-3.773 Y-1.482 Z-4.635	2720 L X-.409 Y+3.496 Z-8.085	2781 L X-3.281 Y-1.454 Z-7.988
2659 L X-3.738 Y-1.388 Z-4.496	2721 L X-.428 Y+3.454 Z-8.127	2782 L X-3.302 Y-1.477 Z-7.934
2660 L X-3.699 Y-1.288 Z-4.363	2722 L X-.469 Y+3.36 Z-8.216	2783 L X-3.32 Y-1.495 Z-7.878
2661 L X-3.657 Y-1.183 Z-4.234	2723 L X-.509 Y+3.268 Z-8.308	2784 L X-3.336 Y-1.508 Z-7.819
2662 L X-3.612 Y-1.074 Z-4.11	2724 L X-.547 Y+3.18 Z-8.405	2785 L X-3.349 Y-1.515 Z-7.758
2663 L X-3.563 Y-961 Z-3.991	2725 L X-.582 Y+3.095 Z-8.505	2786 L X-3.358 Y-1.516 Z-7.697
2664 L X-3.511 Y-843 Z-3.878	2726 L X-.614 Y+3.013 Z-8.609	2787 L X-3.365 Y-1.512 Z-7.635
2665 L X-3.456 Y-721 Z-3.771	2727 L X-.649 Y+2.925 Z-8.719	2788 L X-3.388 Y-1.479 Z-7.333
2666 L X-3.398 Y-.596 Z-3.67	2728 L X-.687 Y+2.833 Z-8.824	2789 L X-3.444 Y-1.395 Z-6.596
2667 L X-3.337 Y-.467 Z-3.575	2729 L X-.728 Y+2.737 Z-8.924	2790 L X-3.453 Y-1.374 Z-6.449
2668 L X-3.273 Y-.335 Z-3.486	2730 L X-.772 Y+2.638 Z-9.019	2791 L X-3.458 Y-1.348 Z-6.303
2669 L X-3.207 Y-.2 Z-3.404	2731 L X-.815 Y+2.542 Z-9.109	2792 L X-3.46 Y-1.315 Z-6.158

## Katedra technologie obrábění

2794 L X-3.451 Y-1.23 Z-5.874	2856 L X-.952 Y+2.621 Z-7.826	Radek Veselý
2795 L X-3.441 Y-1.178 Z-5.735	2857 L X-.989 Y+2.528 Z-7.937	2918 L X-2.752 Y+.152 Z-5.179
2796 L X-3.427 Y-1.121 Z-5.599	2858 L X-1.025 Y+2.439 Z-8.05	2919 L X-2.71 Y+.243 Z-5.107
2797 L X-3.41 Y-1.058 Z-5.465	2859 L X-1.049 Y+2.378 Z-8.127	2920 L X-2.665 Y+3.37 Z-5.041
2798 L X-3.388 Y-.989 Z-5.335	2860 L X-1.076 Y+2.314 Z-8.2	2921 L X-2.617 Y+.434 Z-4.982
2799 L X-3.364 Y-.915 Z-5.209	2861 L X-1.104 Y+2.247 Z-8.27	2922 L X-2.567 Y+.534 Z-4.929
2800 L X-3.335 Y-.835 Z-5.087	2862 L X-1.135 Y+2.178 Z-8.335	2923 L X-2.515 Y+.636 Z-4.883
2801 L X-3.303 Y-.751 Z-4.969	2863 L X-1.188 Y+2.058 Z-8.449	2924 L X-2.46 Y+.74 Z-4.844
2802 L X-3.267 Y-.661 Z-4.856	2864 L X-1.238 Y+1.942 Z-8.567	2925 L X-2.404 Y+.845 Z-4.812
2803 L X-3.229 Y-.567 Z-4.748	2865 L X-1.259 Y+1.895 Z-8.612	2926 L X-2.346 Y+.951 Z-4.787
2804 L X-3.186 Y-.469 Z-4.645	2866 L X-1.283 Y+1.844 Z-8.651	2927 L X-2.287 Y+1.058 Z-4.77
2805 L X-3.141 Y-.367 Z-4.547	2867 L X-1.31 Y+1.79 Z-8.683	2928 L X-2.226 Y+1.165 Z-4.76
2806 L X-3.093 Y-.261 Z-4.455	2868 L X-1.339 Y+1.733 Z-8.708	2929 L X-2.165 Y+1.273 Z-4.758
2807 L X-3.042 Y-.151 Z-4.369	2869 L X-1.37 Y+1.675 Z-8.726	2930 L X-2.12 Y+1.241 Z-5.204
2808 L X-2.988 Y-.038 Z-4.289	2870 L X-1.403 Y+1.615 Z-8.736	2931 L X-2.074 Y+1.21 Z-5.651
2809 L X-2.931 Y+.078 Z-4.216	2871 L X-1.487 Y+1.465 Z-8.756	2932 L X-2.027 Y+1.291 Z-5.656
2810 L X-2.872 Y+.197 Z-4.149	2872 L X-1.57 Y+1.315 Z-8.782	2933 L X-1.979 Y+1.371 Z-5.668
2811 L X-2.811 Y+.318 Z-4.089	2873 L X-1.626 Y+1.213 Z-8.799	2934 L X-1.931 Y+1.45 Z-5.688
2812 L X-2.747 Y+.441 Z-4.035	2874 L X-1.685 Y+1.11 Z-8.809	2935 L X-1.883 Y+1.526 Z-5.716
2813 L X-2.682 Y+.566 Z-3.989	2875 L X-1.743 Y+1.007 Z-8.813	2936 L X-1.835 Y+1.599 Z-5.751
2814 L X-2.614 Y+.693 Z-3.95	2876 L X-1.803 Y+.904 Z-8.809	2937 L X-1.789 Y+1.67 Z-5.793
2815 L X-2.545 Y+.82 Z-3.918	2877 L X-1.863 Y+.802 Z-8.799	2938 L X-1.743 Y+1.736 Z-5.841
2816 L X-2.474 Y+.948 Z-3.894	2878 L X-1.924 Y+.702 Z-8.782	2939 L X-1.7 Y+1.799 Z-5.897
2817 L X-2.403 Y+1.077 Z-3.876	2879 L X-2.012 Y+.555 Z-8.756	2940 L X-1.658 Y+1.856 Z-5.958
2818 L X-2.329 Y+1.206 Z-3.867	2880 L X-2.1 Y+.407 Z-8.736	2941 L X-1.618 Y+1.909 Z-6.025
2819 L X-2.255 Y+1.335 Z-3.864	2881 L X-2.135 Y+.349 Z-8.726	2942 L X-1.58 Y+1.957 Z-6.097
2820 L X-2.21 Y+1.304 Z-4.311	2882 L X-2.17 Y+.293 Z-8.708	2943 L X-1.545 Y+1.999 Z-6.173
2821 L X-2.165 Y+1.273 Z-4.758	2883 L X-2.205 Y+.239 Z-8.683	2944 L X-1.513 Y+2.035 Z-6.254
2822 L X-2.101 Y+1.382 Z-4.763	2884 L X-2.238 Y+.189 Z-8.651	2945 L X-1.484 Y+2.064 Z-6.339
2823 L X-2.036 Y+1.491 Z-4.776	2885 L X-2.271 Y+.143 Z-8.612	2946 L X-1.458 Y+2.087 Z-6.426
2824 L X-1.972 Y+1.598 Z-4.796	2886 L X-2.301 Y+.101 Z-8.567	2947 L X-1.435 Y+2.104 Z-6.516
2825 L X-1.907 Y+1.703 Z-4.825	2887 L X-2.377 Y-.001 Z-8.449	2948 L X-1.417 Y+2.114 Z-6.608
2826 L X-1.842 Y+1.806 Z-4.861	2888 L X-2.454 Y-.106 Z-8.335	2949 L X-1.402 Y+2.117 Z-6.701
2827 L X-1.778 Y+1.907 Z-4.905	2889 L X-2.498 Y-.167 Z-8.27	2950 L X-1.401 Z-6.706
2828 L X-1.714 Y+2.004 Z-4.955	2890 L X-2.541 Y-.225 Z-8.201	2951 L X-1.369 Y+2.115 Z-6.941
2829 L X-1.652 Y+2.098 Z-5.013	2891 L X-2.583 Y-.279 Z-8.128	2952 L X-1.362 Y+2.111 Z-7.006
2830 L X-1.59 Y+2.189 Z-5.078	2892 L X-2.623 Y-.331 Z-8.053	2953 L X-1.358 Y+2.101 Z-7.071
2831 L X-1.531 Y+2.275 Z-5.149	2893 L X-2.684 Y-.407 Z-7.937	2954 L Y+2.085 Z-7.135
2832 L X-1.472 Y+2.357 Z-5.227	2894 L X-2.745 Y-.486 Z-7.826	2955 L X-1.362 Y+2.064 Z-7.196
2833 L X-1.416 Y+2.434 Z-5.311	2895 L X-2.808 Y-.569 Z-7.718	2956 L X-1.37 Y+2.036 Z-7.256
2834 L X-1.362 Y+2.506 Z-5.4	2896 L X-2.834 Y-.602 Z-7.671	2957 L X-1.381 Y+2.003 Z-7.311
2835 L X-1.31 Y+2.572 Z-5.495	2897 L X-2.858 Y-.631 Z-7.621	2958 L X-1.395 Y+1.965 Z-7.363
2836 L X-1.261 Y+2.633 Z-5.595	2898 L X-2.879 Y-.655 Z-7.566	2959 L X-1.435 Y+1.865 Z-7.492
2837 L X-1.214 Y+2.688 Z-5.699	2899 L X-2.898 Y-.673 Z-7.509	2960 L X-1.453 Y+1.819 Z-7.548
2838 L X-1.17 Y+2.737 Z-5.808	2900 L X-2.914 Y-.686 Z-7.45	2961 L X-1.474 Y+1.772 Z-7.6
2839 L X-1.129 Y+2.78 Z-5.92	2901 L X-2.927 Y-.693 Z-7.389	2962 L X-1.496 Y+1.722 Z-7.649
2840 L X-1.092 Y+2.817 Z-6.036	2902 L X-2.936 Y-.694 Z-7.326	2963 L X-1.54 Y+1.621 Z-7.743
2841 L X-1.058 Y+2.847 Z-6.155	2903 L X-2.943 Y-.69 Z-7.264	2964 L X-1.562 Y+1.573 Z-7.783
2842 L X-1.027 Y+2.87 Z-6.276	2904 L X-2.989 Y-.62 Z-6.65	2965 L X-1.587 Y+1.522 Z-7.817
2843 L X-1. Y+2.886 Z-6.398	2905 L X-2.996 Y-.602 Z-6.528	2966 L X-1.614 Y+1.469 Z-7.845
2844 L X-.977 Y+2.896 Z-6.523	2906 L X-3. Y-.579 Z-6.406	2967 L X-1.643 Y+1.413 Z-7.866
2845 L X-.958 Y+2.899 Z-6.648	2907 L X-2.999 Y-.548 Z-6.287	2968 L X-1.674 Y+1.356 Z-7.88
2846 L Z-6.651	2908 L X-2.995 Y-.512 Z-6.169	2969 L X-1.743 Y+1.231 Z-7.903
2847 L X-.874 Y+2.893 Z-7.265	2909 L X-2.987 Y-.47 Z-6.053	2970 L X-1.781 Y+1.163 Z-7.913
2848 L X-.867 Y+2.889 Z-7.328	2910 L X-2.975 Y-.421 Z-5.94	2971 L X-1.819 Y+1.095 Z-7.919
2849 L X-.863 Y+2.88 Z-7.39	2911 L X-2.959 Y-.367 Z-5.83	2972 L X-1.858 Y+1.028
2850 L Y+2.866 Z-7.451	2912 L X-2.94 Y-.308 Z-5.724	2973 L X-1.898 Y+.961 Z-7.913
2851 L X-.866 Y+2.846 Z-7.51	2913 L X-2.917 Y-.243 Z-5.621	2974 L X-1.937 Y+.894 Z-7.903
2852 L X-.873 Y+2.82 Z-7.568	2914 L X-2.891 Y-.173 Z-5.523	2975 L X-2.011 Y+.771 Z-7.88
2853 L X-.883 Y+2.79 Z-7.622	2915 L X-2.861 Y-.098 Z-5.429	2976 L X-2.045 Y+.716 Z-7.866
2854 L X-.896 Y+2.755 Z-7.672	2916 L X-2.828 Y-.019 Z-5.34	2977 L X-2.079 Y+.664 Z-7.845
2855 L X-.912 Y+2.716 Z-7.719	2917 L X-2.792 Y+.065 Z-5.257	2978 L X-2.112 Y+.613 Z-7.817
		2979 L X-2.144 Y+.567 Z-7.783

## Katedra technologie obrábění

2980 L X-2.174 Y+.524 Z-7.743	3041 L X-.507 Y+4.45 Z-3.509	Radek Veselý
2981 L X-2.239 Y+.434 Z-7.649	3042 L X-.485 Y+4.526 Z-3.353	3097 L X-2.329 Y+1.84 Z-2.109
2982 L X-2.271 Y+.391 Z-7.601	3043 L X-.471 Y+4.583 Z-3.227	3098 L X-2.231 Y+2.004 Z-2.13
2983 L X-2.302 Y+.35 Z-7.549	3044 L X-.455 Y+4.649 Z-3.066	3099 L X-2.134 Y+2.166 Z-2.159
2984 L X-2.331 Y+.312 Z-7.495	3045 L X-.446 Y+4.697 Z-2.935	3100 L X-2.036 Y+2.327 Z-2.195
2985 L X-2.332 Y+.311 Z-7.492	3046 L X-.438 Y+4.752 Z-2.77	3101 L X-1.937 Y+2.486 Z-2.239
2986 L X-2.4 Y+.225 Z-7.363	3047 L X-.434 Y+4.791 Z-2.637	3102 L X-1.84 Y+2.643 Z-2.291
2987 L X-2.425 Y+.194 Z-7.311	3048 L X-.433 Y+4.834 Z-2.468	3103 L X-1.742 Y+2.798 Z-2.349
2988 L X-2.448 Y+.168 Z-7.255	3049 L X-.435 Y+4.864 Z-2.333	3104 L X-1.645 Y+2.949 Z-2.415
2989 L X-2.468 Y+.148 Z-7.196	3050 L X-.441 Y+4.896 Z-2.162	3105 L X-1.549 Y+3.098 Z-2.489
2990 L X-2.486 Y+.134 Z-7.134	3051 L X-.448 Y+4.917 Z-2.025	3106 L X-1.453 Y+3.244 Z-2.569
2991 L X-2.499 Y+.125 Z-7.07	3052 L X-.461 Y+4.938 Z-1.854	3107 L X-1.359 Y+3.386 Z-2.656
2992 L X-2.51 Y+.123 Z-7.005	3053 L X-.473 Y+4.949 Z-1.719	3108 L X-1.265 Y+3.525 Z-2.75
2993 L X-2.516 Y+.128 Z-6.94	3054 L X+85.484 Y-44.678	3109 L X-1.173 Y+3.66 Z-2.851
2994 L X-2.534 Y+.154 Z-6.707	Z+10.468 FMAX	3110 L X-1.082 Y+3.791 Z-2.958
2995 L Y+.155 Z-6.703	; DOKONČENÍ LŮŽKA 2	3111 L X-.993 Y+3.918 Z-3.071
2996 L X-2.539 Y+.169 Z-6.614	3055 L X+81.027 Y-51.303	3112 L X-.906 Y+4.04 Z-3.191
2997 L X-2.54 Y+.189 Z-6.525	Z+14.105 FMAX	3113 L X-.82 Y+4.157 Z-3.316
2998 L X-2.537 Y+.214 Z-6.439	3056 L X-4.93 Y-1.675 Z+1.918	3114 L X-.737 Y+4.269 Z-3.447
2999 L X-2.531 Y+.246 Z-6.354	FMAX	3115 L X-.655 Y+4.377 Z-3.584
3000 L X-2.521 Y+.284 Z-6.272	3057 L X-4.91 Y-1.684 Z+1.746	3116 L X-.576 Y+4.479 Z-3.726
3001 L X-2.508 Y+.326 Z-6.194	F300.	3117 L X-.5 Y+4.576 Z-3.873
3002 L X-2.491 Y+.374 Z-6.119	3058 L X-4.887 Y-1.686 Z+1.576	3118 L X-.425 Y+4.667 Z-4.024
3003 L X-2.47 Y+.427 Z-6.048	3059 L X-4.861 Y-1.682 Z+1.407	3119 L X-.354 Y+4.752 Z-4.181
3004 L X-2.447 Y+.484 Z-5.982	3060 L X-4.831 Y-1.672 Z+1.239	3120 L X-.285 Y+4.832 Z-4.341
3005 L X-2.42 Y+.545 Z-5.921	3061 L X-4.798 Y-1.655 Z+1.074	3121 L X-.219 Y+4.906 Z-4.506
3006 L X-2.39 Y+.61 Z-5.866	3062 L X-4.762 Y-1.632 Z+9.11	3122 L X-.157 Y+4.973 Z-4.674
3007 L X-2.358 Y+.678 Z-5.816	3063 L X-4.723 Y-1.604 Z+.75	3123 L X-.097 Y+5.034 Z-4.846
3008 L X-2.323 Y+.749 Z-5.772	3064 L X-4.681 Y-1.57 Z+.592	3124 L X-.04 Y+5.089 Z-5.021
3009 L X-2.286 Y+.823 Z-5.735	3065 L X-4.636 Y-1.53 Z+.438	3125 L X+.013 Y+5.138 Z-5.199
3010 L X-2.247 Y+.898 Z-5.704	3066 L X-4.588 Y-1.484 Z+.286	3126 L X+.063 Y+5.18 Z-5.379
3011 L X-2.206 Y+.975 Z-5.68	3067 L X-4.537 Y-1.433 Z+.137	3127 L X+.109 Y+5.215 Z-5.562
3012 L X-2.163 Y+.1053 Z-5.663	3068 L X-4.484 Y-1.377 Z-.008	3128 L X+.152 Y+5.244 Z-5.747
3013 L X-2.119 Y+.1132 Z-5.654	3069 L X-4.423 Y-1.309 Z-.164	3129 L X+.191 Y+5.266 Z-5.933
3014 L X-2.074 Y+.121 Z-5.651	3070 L X-4.371 Y-1.25 Z-.286	3130 L X+.227 Y+5.282 Z-6.121
3015 L X-1.988 Y+.136 Z-5.649	3071 L X-4.305 Y-1.17 Z-.434	3131 L X+.259 Y+5.29 Z-6.31
F1000.	3072 L X-4.249 Y-1.103 Z-.549	3132 L X+.287 Y+5.292 Z-6.5
3016 L X-1.903 Y+.151 Z-5.639	3073 L X-4.178 Y-1.014 Z-.687	3133 L X+.416 Y+5.284 Z-7.446
3017 L X-1.819 Y+.1658 Z-5.623	3074 L X-4.12 Y-.939 Z-.794	3134 L X+.552 Y+5.271 Z-8.455
3018 L X-1.738 Y+.1806 Z-5.599	3075 L X-4.045 Y-.84 Z-.922	3135 L X+.651 Y+5.26 Z-9.201
3019 L X-1.658 Y+.1952 Z-5.568	3076 L X-3.983 Y-.758 Z-1.02	3136 L X+.597 Y+5.165 Z-9.208
3020 L X-1.579 Y+.2097 Z-5.531	3077 L X-3.92 Y-.672 Z-1.114	3137 L X+.545 Y+5.07 Z-9.224
3021 L X-1.503 Y+.2239 Z-5.487	3078 L X-3.84 Y-.561 Z-1.227	3138 L X+.494 Y+4.976 Z-9.247
3022 L X-1.429 Y+.238 Z-5.436	3079 L X-3.775 Y-.469 Z-1.312	3139 L X+.445 Y+4.884 Z-9.277
3023 L X-1.357 Y+.2519 Z-5.38	3080 L X-3.693 Y-.351 Z-1.413	3140 L X+.397 Y+4.793 Z-9.315
3024 L X-1.287 Y+.2655 Z-5.317	3081 L X-3.626 Y-.253 Z-1.489	3141 L X+.353 Y+4.704 Z-9.361
3025 L X-1.22 Y+.2789 Z-5.248	3082 L X-3.541 Y-.128 Z-1.578	3142 L X+.31 Y+4.618 Z-9.413
3026 L X-1.155 Y+.292 Z-5.173	3083 L X-3.472 Y-.025 Z-1.644	3143 L X+.271 Y+4.535 Z-9.472
3027 L X-1.085 Y+.062 Z-5.084	3084 L X-3.385 Y+.106 Z-1.721	3144 L X+.234 Y+4.456 Z-9.537
3028 L X-1.032 Y+.173 Z-5.008	3085 L X-3.315 Y+.213 Z-1.777	3145 L X+.201 Y+4.38 Z-9.609
3029 L X-.968 Y+.308 Z-4.907	3086 L X-3.228 Y+.35 Z-1.841	3146 L X+.171 Y+4.309 Z-9.686
3030 L X-.92 Y+.3414 Z-4.821	3087 L X-3.157 Y+.461 Z-1.887	3147 L X+.144 Y+4.243 Z-9.769
3031 L X-.862 Y+.3541 Z-4.709	3088 L X-3.068 Y+.602 Z-1.938	3148 L X+.099 Y+4.129 Z-9.912
3032 L X-.818 Y+.364 Z-4.616	3089 L X-2.997 Y+.716 Z-1.973	3149 L X+.051 Y+4.011 Z-10.051
3033 L X-.767 Y+.3759 Z-4.494	3090 L X-2.909 Y+.86 Z-2.011	3150 L X-.001 Y+3.889 Z-10.185
3034 L X-.728 Y+.3851 Z-4.392	3091 L X-2.838 Y+.977 Z-2.036	3151 L X-.056 Y+3.762 Z-10.314
3035 L X-.691 Y+.394 Z-4.288	3092 L X-2.749 Y+.124 Z-2.061	3152 L X-.114 Y+3.632 Z-10.437
3036 L X-.649 Y+.4046 Z-4.153	3093 L X-2.679 Y+.124 Z-2.075	3153 L X-.147 Y+3.557 Z-10.51
3037 L X-.618 Y+.4128 Z-4.041	3094 L X-2.591 Y+.1392 Z-2.086	3154 L X-.176 Y+3.487 Z-10.588
3038 L X-.582 Y+.4224 Z-3.899	3095 L X-2.523 Y+.1509 Z-2.09	3155 L X-.202 Y+3.421 Z-10.672
3039 L X-.557 Y+.4298 Z-3.781	3096 L X-2.426 Y+.1675 Z-2.096	3156 L X-.225 Y+3.36 Z-10.76
3040 L X-.528 Y+.385 Z-3.632	F297.	3157 L X-.244 Y+3.304 Z-10.852

## Katedra technologie obrábění

3159 L X-.271 Y+3.21 Z-11.048	3221 L X-2.838 Y-1.314 Z-11.361	Radek Veselý
3160 L X-.278 Y+3.172 Z-11.15	3222 L X-2.86 Y-1.326 Z-11.255	3283 L X-2.996 Y+.667 Z-2.179
3161 L X-.282 Y+3.14 Z-11.255	3223 L X-2.886 Y-1.345 Z-11.15	3284 L X-2.904 Y+.835 Z-2.146
3162 L X-.281 Y+3.115 Z-11.361	3224 L X-2.915 Y-1.371 Z-11.048	3285 L X-2.811 Y+1.003 Z-2.12
3163 L X-.282 Y+3.1 Z-11.418	3225 L X-2.948 Y-1.403 Z-10.948	3286 L X-2.716 Y+1.172 Z-2.102
3164 L X-.286 Y+3.079 Z-11.472	3226 L X-2.984 Y-1.441 Z-10.852	3287 L X-2.62 Y+1.341 Z-2.092
3165 L X-.295 Y+3.052 Z-11.522	3227 L X-3.022 Y-1.485 Z-10.76	3288 L X-2.523 Y+1.509 Z-2.09
3166 L X-.306 Y+3.02 Z-11.569	3228 L X-3.064 Y-1.535 Z-10.672	3289 L X-2.477 Y+1.478 Z-2.537
3167 L X-.322 Y+2.983 Z-11.612	3229 L X-3.108 Y-1.591 Z-10.588	3290 L X-2.432 Y+1.447 Z-2.983
3168 L X-.34 Y+2.942 Z-11.649	3230 L X-3.154 Y-1.652 Z-10.51	3291 L X-2.344 Y+1.597 Z-2.989
3169 L X-.361 Y+2.898 Z-11.68	3231 L X-3.202 Y-1.717 Z-10.437	3292 L X-2.256 Y+1.747 Z-3.002
3170 L X-.385 Y+2.851 Z-11.704	3232 L X-3.286 Y-1.833 Z-10.314	3293 L X-2.167 Y+1.895 Z-3.024
3171 L X-.411 Y+2.802 Z-11.721	3233 L X-3.368 Y-1.944 Z-10.185	3294 L X-2.078 Y+2.042 Z-3.053
3172 L X-.438 Y+2.752 Z-11.732	3234 L X-3.449 Y-2.049 Z-10.051	3295 L X-1.989 Y+2.187 Z-3.089
3173 L X-.467 Y+2.701 Z-11.734	3235 L X-3.527 Y-2.15 Z-9.912	3296 L X-1.901 Y+2.331 Z-3.134
3174 L X-.496 Y+2.652 Z-11.73	3236 L X-3.602 Y-2.246 Z-9.769	3297 L X-1.812 Y+2.471 Z-3.186
3175 L X-.526 Y+2.603 Z-11.718	3237 L X-3.646 Y-2.302 Z-9.686	3298 L X-1.724 Y+2.609 Z-3.245
3176 L X-.556 Y+2.557 Z-11.699	3238 L X-3.693 Y-2.364 Z-9.609	3299 L X-1.636 Y+2.744 Z-3.312
3177 L X-.584 Y+2.513 Z-11.673	3239 L X-3.742 Y-2.431 Z-9.537	3300 L X-1.55 Y+2.876 Z-3.385
3178 L X-.638 Y+2.433 Z-11.621	3240 L X-3.792 Y-2.502 Z-9.472	3301 L X-1.464 Y+3.005 Z-3.466
3179 L X-.693 Y+2.35 Z-11.576	3241 L X-3.844 Y-2.578 Z-9.413	3302 L X-1.38 Y+3.129 Z-3.554
3180 L X-.748 Y+2.263 Z-11.538	3242 L X-3.898 Y-2.657 Z-9.361	3303 L X-1.297 Y+3.25 Z-3.648
3181 L X-.804 Y+2.174 Z-11.507	3243 L X-3.952 Y-2.741 Z-9.315	3304 L X-1.215 Y+3.366 Z-3.749
3182 L X-.86 Y+2.083 Z-11.484	3244 L X-4.007 Y-2.827 Z-9.277	3305 L X-1.135 Y+3.478 Z-3.856
3183 L X-.915 Y+1.99 Z-11.469	3245 L X-4.063 Y-2.916 Z-9.247	3306 L X-1.058 Y+3.585 Z-3.97
3184 L X-.971 Y+1.896 Z-11.461	3246 L X-4.119 Y-3.007 Z-9.223	3307 L X-.982 Y+3.687 Z-4.089
3185 L X-1.026 Y+1.801 Z-11.46	3247 L X-4.174 Y-3.099 Z-9.208	3308 L X-.908 Y+3.784 Z-4.213
3186 L X-1.079 Y+1.706 Z-11.468	3248 L X-4.23 Y-3.193 Z-9.201	3309 L X-.837 Y+3.876 Z-4.343
3187 L X-1.132 Y+1.611 Z-11.483	3249 L X-4.303 Y-3.094 Z-8.281	3310 L X-.768 Y+3.962 Z-4.478
3188 L X-1.221 Y+1.451 Z-11.511	3250 L X-4.384 Y-2.979 Z-7.239	3311 L X-.702 Y+4.042 Z-4.618
3189 L X-1.31 Y+1.291 Z-11.532	3251 L X-4.44 Y-2.894 Z-6.5	3312 L X-.638 Y+4.117 Z-4.762
3190 L X-1.401 Y+1.13 Z-11.546	3252 L X-4.452 Y-2.869 Z-6.308	3313 L X-.578 Y+4.185 Z-4.91
3191 L X-1.493 Y+.969 Z-11.553	3253 L X-4.461 Y-2.836 Z-6.116	3314 L X-.52 Y+4.247 Z-5.063
3192 L X-1.586 Y+.808	3254 L X-4.465 Y-2.797 Z-5.926	3315 L X-4.466 Y+4.303 Z-5.219
3193 L X-1.679 Y+.649 Z-11.546	3255 L Y-2.751 Z-5.737	3316 L X-.415 Y+4.352 Z-5.378
3194 L X-1.773 Y+.489 Z-11.532	3256 L X-4.462 Y-2.699 Z-5.55	3317 L X-.367 Y+4.395 Z-5.54
3195 L X-1.867 Y+.331 Z-11.511	3257 L X-4.454 Y-2.639 Z-5.365	3318 L X-.323 Y+4.432 Z-5.704
3196 L X-1.962 Y+.175 Z-11.483	3258 L X-4.442 Y-2.574 Z-5.182	3319 L X-.282 Y+4.461 Z-5.871
3197 L X-2.017 Y+.082 Z-11.468	3259 L X-4.426 Y-2.502 Z-5.003	3320 L X-.245 Y+4.484 Z-6.04
3198 L X-2.073 Y-.012 Z-11.46	3260 L X-4.406 Y-2.424 Z-4.826	3321 L X-.212 Y+4.5 Z-6.21
3199 L X-2.127 Y-.107 Z-11.461	3261 L X-4.382 Y-2.34 Z-4.652	3322 L X-.183 Y+4.509 Z-6.381
3200 L X-2.181 Y-.202 Z-11.469	3262 L X-4.354 Y-2.25 Z-4.482	3323 L X-.157 Y+4.511 Z-6.554
3201 L X-2.234 Y-.297 Z-11.484	3263 L X-4.322 Y-2.154 Z-4.316	3324 L X-.028 Y+4.502 Z-7.497
3202 L X-2.285 Y-.391 Z-11.507	3264 L X-4.286 Y-2.053 Z-4.154	3325 L X+.059 Y+4.494 Z-8.14
3203 L X-2.334 Y-.484 Z-11.538	3265 L X-4.247 Y-1.946 Z-3.997	3326 L X+.065 Y+4.491 Z-8.203
3204 L X-2.381 Y-.575 Z-11.576	3266 L X-4.204 Y-1.834 Z-3.844	3327 L X+.069 Y+4.481 Z-8.266
3205 L X-2.426 Y-.664 Z-11.621	3267 L X-4.157 Y-1.716 Z-3.696	3328 L Y+4.466 Z-8.328
3206 L X-2.469 Y-.751 Z-11.673	3268 L X-4.107 Y-1.594 Z-3.554	3329 L X+.065 Y+4.445 Z-8.388
3207 L X-2.492 Y-.797 Z-11.699	3269 L X-4.053 Y-1.467 Z-3.416	3330 L X+.058 Y+4.419 Z-8.446
3208 L X-2.517 Y-.846 Z-11.718	3270 L X-3.996 Y-1.336 Z-3.285	3331 L X+.048 Y+4.388 Z-8.5
3209 L X-2.545 Y-.896 Z-11.73	3271 L X-3.936 Y-1.201 Z-3.159	3332 L X+.034 Y+4.352 Z-8.551
3210 L X-2.573 Y-.946 Z-11.734	3272 L X-3.872 Y-1.061 Z-3.04	3333 L X+.018 Y+4.312 Z-8.598
3211 L X-2.602 Y-.996 Z-11.732	3273 L X-3.805 Y-.918 Z-2.927	3334 L X-.002 Y+4.268 Z-8.64
3212 L X-2.632 Y-1.045 Z-11.721	3274 L X-3.736 Y-.771 Z-2.82	3335 L X-.024 Y+4.22 Z-8.676
3213 L X-2.662 Y-1.092 Z-11.704	3275 L X-3.663 Y-.621 Z-2.72	3336 L X-.072 Y+4.119 Z-8.751
3214 L X-2.69 Y-1.136 Z-11.68	3276 L X-3.588 Y-.468 Z-2.627	3337 L X-.117 Y+4.021 Z-8.832
3215 L X-2.718 Y-1.177 Z-11.649	3277 L X-3.51 Y-.312 Z-2.541	3338 L X-.159 Y+3.926 Z-8.919
3216 L X-2.745 Y-1.213 Z-11.612	3278 L X-3.43 Y-.153 Z-2.462	3339 L X-.198 Y+3.836 Z-9.011
3217 L X-2.769 Y-1.245 Z-11.569	3279 L X-3.347 Y+.007 Z-2.391	3340 L X-.234 Y+3.75 Z-9.108
3218 L X-2.791 Y-1.271 Z-11.522	3280 L X-3.262 Y+.17 Z-2.327	3341 L X-.267 Y+3.668 Z-9.211
3219 L X-2.81 Y-1.291 Z-11.472	3281 L X-3.175 Y+.334 Z-2.27	3342 L Y+3.666 Z-9.213
3220 L X-2.826 Y-1.306 Z-11.418	3282 L X-3.087 Y+.5 Z-2.221	3343 L X-.304 Y+3.574 Z-9.329
		3344 L X-.343 Y+3.479 Z-9.442

## Katedra technologie obrábění

3345 L X-.385 Y+3.38 Z-9.55	3407 L X-3.421 Y-1.746 Z-9.011	Radek Veselý
3346 L X-.429 Y+3.278 Z-9.654	3408 L X-3.48 Y-1.825 Z-8.919	3469 L X-1.576 Y+2.613 Z-4.271
3347 L X-.476 Y+3.172 Z-9.753	3409 L X-3.54 Y-1.909 Z-8.832	3470 L X-1.503 Y+2.72 Z-4.35
3348 L X-.514 Y+3.086 Z-9.836	3410 L X-3.603 Y-1.997 Z-8.751	3471 L X-1.432 Y+2.823 Z-4.435
3349 L X-.55 Y+3.002 Z-9.924	3411 L X-3.667 Y-2.09 Z-8.676	3472 L X-1.362 Y+2.921 Z-4.527
3350 L X-.583 Y+2.923 Z-10.016	3412 L X-3.697 Y-2.133 Z-8.64	3473 L X-1.294 Y+3.015 Z-4.625
3351 L X-.613 Y+2.848 Z-10.112	3413 L X-3.725 Y-2.171 Z-8.598	3474 L X-1.228 Y+3.104 Z-4.728
3352 L X-.64 Y+2.776 Z-10.212	3414 L X-3.752 Y-2.206 Z-8.551	3475 L X-1.164 Y+3.188 Z-4.837
3353 L X-.664 Y+2.709 Z-10.316	3415 L X-3.776 Y-2.236 Z-8.5	3476 L X-1.103 Y+3.266 Z-4.952
3354 L X-.678 Y+2.671 Z-10.371	3416 L X-3.798 Y-2.26 Z-8.445	3477 L X-1.044 Y+3.339 Z-5.071
3355 L X-.695 Y+2.628 Z-10.422	3417 L X-3.817 Y-2.279 Z-8.388	3478 L X-.987 Y+3.406 Z-5.195
3356 L X-.716 Y+2.581 Z-10.467	3418 L X-3.833 Y-2.293 Z-8.327	3479 L X-.934 Y+3.468 Z-5.323
3357 L X-.74 Y+2.53 Z-10.506	3419 L X-3.847 Y-2.3 Z-8.265	3480 L X-.883 Y+3.523 Z-5.455
3358 L X-.767 Y+2.476 Z-10.538	3420 L X-3.857 Y-2.302 Z-8.202	3481 L X-.836 Y+3.571 Z-5.59
3359 L X-.796 Y+2.419 Z-10.563	3421 L X-3.863 Y-2.298 Z-8.139	3482 L X-.792 Y+3.614 Z-5.729
3360 L X-.827 Y+2.361 Z-10.581	3422 L X-3.929 Y-2.204 Z-7.292	3483 L X-.751 Y+3.65 Z-5.87
3361 L X-.86 Y+2.302 Z-10.591	3423 L X-3.985 Y-2.12 Z-6.554	3484 L X-.713 Y+3.679 Z-6.014
3362 L X-.894 Y+2.242 Z-10.593	3424 L X-3.996 Y-2.097 Z-6.385	3485 L X-.68 Y+3.702 Z-6.161
3363 L X-.929 Y+2.183 Z-10.588	3425 L X-4.003 Y-2.067 Z-6.216	3486 L X-.649 Y+3.718 Z-6.308
3364 L X-.993 Y+2.076 Z-10.575	3426 L X-4.006 Y-2.031 Z-6.049	3487 L X-.623 Y+3.727 Z-6.457
3365 L X-1.056 Y+1.967 Z-10.567	3427 L X-4.005 Y-1.989 Z-5.883	3488 L X-.6 Y+3.73 Z-6.607
3366 L X-1.119 Y+1.858	3428 L X-4. Y-1.94 Z-5.718	3489 L X-.472 Y+3.721 Z-7.548
3367 L X-1.182 Y+1.749 Z-10.572	3429 L X-3.991 Y-1.886 Z-5.556	3490 L X-.45 Y+3.719 Z-7.709
3368 L X-1.243 Y+1.64 Z-10.584	3430 L X-3.979 Y-1.825 Z-5.397	3491 L X-.443 Y+3.715 Z-7.778
3369 L X-1.303 Y+1.531 Z-10.603	3431 L X-3.962 Y-1.758 Z-5.24	3492 L X-.44 Y+3.704 Z-7.846
3370 L X-1.384 Y+1.384 Z-10.628	3432 L X-3.942 Y-1.685 Z-5.086	3493 L X-.441 Y+3.686 Z-7.913
3371 L X-1.467 Y+1.237 Z-10.646	3433 L X-3.918 Y-1.606 Z-4.936	3494 L X-.445 Y+3.661 Z-7.977
3372 L X-1.55 Y+1.09 Z-10.657	3434 L X-3.89 Y-1.522 Z-4.79	3495 L X-.454 Y+3.631 Z-8.039
3373 L X-1.634 Y+.943 Z-10.661	3435 L X-3.859 Y-1.433 Z-4.647	3496 L X-.467 Y+3.595 Z-8.096
3374 L X-1.719 Y+.797 Z-10.657	3436 L X-3.824 Y-1.338 Z-4.509	3497 L X-.484 Y+3.553 Z-8.149
3375 L X-1.805 Y+.651 Z-10.646	3437 L X-3.785 Y-1.238 Z-4.375	3498 L X-.503 Y+3.507 Z-8.196
3376 L X-1.891 Y+.507 Z-10.628	3438 L X-3.743 Y-1.134 Z-4.246	3499 L X-.552 Y+3.397 Z-8.302
3377 L X-1.977 Y+.363 Z-10.603	3439 L X-3.697 Y-1.024 Z-4.122	3500 L X-.597 Y+3.291 Z-8.414
3378 L X-2.042 Y+.257 Z-10.584	3440 L X-3.649 Y-.911 Z-4.003	3501 L X-.639 Y+3.19 Z-8.531
3379 L X-2.106 Y+.149 Z-10.572	3441 L X-3.597 Y-.793 Z-3.89	3502 L X-.678 Y+3.093 Z-8.654
3380 L X-2.169 Y+.04 Z-10.567	3442 L X-3.542 Y-.671 Z-3.783	3503 L Y+3.091 Z-8.656
3381 L X-2.232 Y-.069	3443 L X-3.484 Y-.546 Z-3.682	3504 L X-.714 Y+3.003 Z-8.767
3382 L X-2.294 Y-.178 Z-10.575	3444 L X-3.423 Y-.417 Z-3.587	3505 L X-.752 Y+2.91 Z-8.873
3383 L X-2.355 Y-.287 Z-10.588	3445 L X-3.359 Y-.285 Z-3.498	3506 L X-.794 Y+2.813 Z-8.974
3384 L X-2.389 Y-.347 Z-10.593	3446 L X-3.293 Y-.15 Z-3.416	3507 L X-.838 Y+2.713 Z-9.069
3385 L X-2.423 Y-.406 Z-10.591	3447 L X-3.224 Y-.013 Z-3.341	3508 L X-.881 Y+2.616 Z-9.161
3386 L X-2.458 Y-.464 Z-10.581	3448 L X-3.153 Y+.127 Z-3.272	3509 L X-.922 Y+2.522 Z-9.258
3387 L X-2.493 Y-.52 Z-10.563	3449 L X-3.08 Y+.269 Z-3.211	3510 L X-.96 Y+2.431 Z-9.358
3388 L X-2.528 Y-.574 Z-10.538	3450 L X-3.004 Y+.413 Z-3.156	3511 L X-.996 Y+2.344 Z-9.463
3389 L X-2.561 Y-.624 Z-10.506	3451 L X-2.927 Y+.559 Z-3.109	3512 L X-1.013 Y+2.303 Z-9.509
3390 L X-2.593 Y-.67 Z-10.467	3452 L X-2.848 Y+.705 Z-3.07	3513 L X-1.033 Y+2.257 Z-9.551
3391 L X-2.624 Y-.712 Z-10.422	3453 L X-2.767 Y+.853 Z-3.037	3514 L X-1.056 Y+2.209 Z-9.587
3392 L X-2.652 Y-.749 Z-10.371	3454 L X-2.685 Y+1.001 Z-3.012	3515 L X-1.081 Y+2.158 Z-9.617
3393 L X-2.678 Y-.78 Z-10.316	3455 L X-2.602 Y+1.15 Z-2.995	3516 L X-1.108 Y+2.104 Z-9.641
3394 L X-2.724 Y-.834 Z-10.212	3456 L X-2.517 Y+1.298 Z-2.985	3517 L X-1.138 Y+2.05 Z-9.658
3395 L X-2.772 Y-.893 Z-10.112	3457 L X-2.432 Y+1.447 Z-2.983	3518 L X-1.168 Y+1.994 Z-9.669
3396 L X-2.823 Y-.957 Z-10.016	3458 L X-2.387 Y+1.416 Z-3.43	3519 L X-1.2 Y+1.938 Z-9.673
3397 L X-2.875 Y-1.025 Z-9.924	3459 L X-2.341 Y+1.385 Z-3.877	3520 L X-1.27 Y+1.816 Z-9.677
3398 L X-2.929 Y-1.097 Z-9.836	3460 L X-2.265 Y+1.515 Z-3.882	3521 L X-1.339 Y+1.694 Z-9.686
3399 L X-2.985 Y-1.174 Z-9.753	3461 L X-2.188 Y+1.645 Z-3.895	3522 L X-1.407 Y+1.572 Z-9.702
3400 L X-3.053 Y-1.267 Z-9.654	3462 L X-2.111 Y+1.774 Z-3.916	3523 L X-1.475 Y+1.45 Z-9.723
3401 L X-3.12 Y-1.357 Z-9.55	3463 L X-2.033 Y+1.902 Z-3.944	3524 L X-1.546 Y+1.321 Z-9.745
3402 L X-3.185 Y-1.442 Z-9.442	3464 L X-1.956 Y+2.027 Z-3.98	3525 L X-1.618 Y+1.192 Z-9.759
3403 L X-3.248 Y-1.524 Z-9.329	3465 L X-1.879 Y+2.15 Z-4.024	3526 L X-1.692 Y+1.063 Z-9.767
3404 L X-3.309 Y-1.601 Z-9.213	3466 L X-1.802 Y+2.27 Z-4.075	3527 L X-1.766 Y+.934
3405 L X-3.31 Y-1.603 Z-9.211	3467 L X-1.726 Y+2.388 Z-4.133	3528 L X-1.842 Y+.806 Z-9.759
3406 L X-3.364 Y-1.672 Z-9.108	3468 L X-1.651 Y+2.502 Z-4.198	3529 L X-1.917 Y+.678 Z-9.745

## Katedra technologie obrábění

3531 L X-2.065 Y+.433 Z-9.702	3593 L X-2.488 Y+1.127 Z-3.889	Radek Veselý
3532 L X-2.136 Y+.313 Z-9.686	3594 L X-2.415 Y+1.256 Z-3.879	3655 L X-1.947 Y+.844 Z-8.86
3533 L X-2.208 Y+.192 Z-9.677	3595 L X-2.341 Y+1.385 Z-3.877	3656 L X-2.009 Y+.741 Z-8.843
3534 L X-2.278 Y+.071 Z-9.673	3596 L X-2.296 Y+1.353 Z-4.323	3657 L X-2.1 Y+.589 Z-8.816
3535 L X-2.311 Y+.015 Z-9.669	3597 L X-2.251 Y+1.322 Z-4.77	3658 L X-2.191 Y+.437 Z-8.796
3536 L X-2.344 Y-.04 Z-9.658	3598 L X-2.187 Y+1.432 Z-4.775	3659 L X-2.222 Y+.386 Z-8.788
3537 L X-2.377 Y-.092 Z-9.641	3599 L X-2.122 Y+1.54 Z-4.788	3660 L X-2.252 Y+.337 Z-8.774
3538 L X-2.409 Y-.143 Z-9.617	3600 L X-2.057 Y+1.647 Z-4.809	3661 L X-2.282 Y+.29 Z-8.755
3539 L X-2.441 Y-.19 Z-9.587	3601 L X-1.993 Y+1.753 Z-4.837	3662 L X-2.312 Y+.244 Z-8.73
3540 L X-2.471 Y-.234 Z-9.551	3602 L X-1.928 Y+1.856 Z-4.873	3663 L X-2.34 Y+.202 Z-8.7
3541 L X-2.5 Y-.274 Z-9.509	3603 L X-1.864 Y+1.956 Z-4.917	3664 L X-2.368 Y+.163 Z-8.665
3542 L X-2.528 Y-.31 Z-9.463	3604 L X-1.8 Y+2.054 Z-4.968	3665 L X-2.394 Y+.127 Z-8.625
3543 L X-2.585 Y-.384 Z-9.358	3605 L X-1.738 Y+2.148 Z-5.025	3666 L X-2.472 Y+.022 Z-8.503
3544 L X-2.645 Y-.462 Z-9.258	3606 L X-1.676 Y+2.238 Z-5.09	3667 L X-2.552 Y-.087 Z-8.386
3545 L X-2.706 Y-.545 Z-9.161	3607 L X-1.616 Y+2.325 Z-5.162	3668 L X-2.597 Y-.149 Z-8.319
3546 L X-2.769 Y-.63 Z-9.069	3608 L X-1.558 Y+2.406 Z-5.239	3669 L X-2.641 Y-.207 Z-8.249
3547 L X-2.833 Y-.719 Z-8.974	3609 L X-1.502 Y+2.483 Z-5.323	3670 L X-2.683 Y-.263 Z-8.175
3548 L X-2.896 Y-.804 Z-8.873	3610 L X-1.448 Y+2.555 Z-5.413	3671 L X-2.724 Y-.315 Z-8.098
3549 L X-2.957 Y-.883 Z-8.767	3611 L X-1.396 Y+2.622 Z-5.507	3672 L X-2.725 Y-.317 Z-8.096
3550 L X-3.016 Y-.958 Z-8.656	3612 L X-1.346 Y+2.683 Z-5.607	3673 L X-2.78 Y-.385 Z-7.992
3551 L X-3.018 Y-.96 Z-8.654	3613 L X-1.3 Y+2.738 Z-5.712	3674 L X-2.835 Y-.456 Z-7.891
3552 L X-3.082 Y-1.041 Z-8.531	3614 L X-1.256 Y+2.787 Z-5.82	3675 L X-2.892 Y-.53 Z-7.793
3553 L X-3.149 Y-1.128 Z-8.414	3615 L X-1.215 Y+2.83 Z-5.933	3676 L X-2.917 Y-.563 Z-7.746
3554 L X-3.218 Y-1.22 Z-8.303	3616 L X-1.178 Y+2.866 Z-6.048	3677 L X-2.94 Y-.591 Z-7.696
3555 L X-3.289 Y-1.317 Z-8.196	3617 L X-1.144 Y+2.896 Z-6.167	3678 L X-2.961 Y-.614 Z-7.642
3556 L X-3.319 Y-1.358 Z-8.149	3618 L X-1.113 Y+2.92 Z-6.288	3679 L X-2.98 Y-.632 Z-7.585
3557 L X-3.347 Y-1.393 Z-8.096	3619 L X-1.086 Y+2.936 Z-6.411	3680 L X-2.995 Y-.644 Z-7.526
3558 L X-3.372 Y-1.422 Z-8.039	3620 L X-1.063 Y+2.946 Z-6.535	3681 L X-3.008 Y-.651 Z-7.466
3559 L X-3.394 Y-1.445 Z-7.977	3621 L X-1.044 Y+2.948 Z-6.661	3682 L X-3.017 Y-.652 Z-7.404
3560 L X-3.412 Y-1.461 Z-7.913	3622 L X-1.043 Z-6.663	3683 L X-3.023 Y-.648 Z-7.343
3561 L X-3.427 Y-1.471 Z-7.846	3623 L X-.951 Y+2.942 Z-7.343	3684 L X-3.075 Y-.57 Z-6.662
3562 L X-3.439 Y-1.474 Z-7.778	3624 L X-.944 Y+2.939 Z-7.405	3685 L X-3.082 Y-.553 Z-6.54
3563 L X-3.446 Y-1.47 Z-7.709	3625 L X-.94 Y+2.93 Z-7.466	3686 L X-3.086 Y-.529 Z-6.419
3564 L X-3.474 Y-1.429 Z-7.346	3626 L Y+2.916 Z-7.527	3687 L X-3.085 Y-.499 Z-6.299
3565 L X-3.53 Y-1.345 Z-6.608	3627 L X-.943 Y+2.896 Z-7.585	3688 L X-3.081 Y-.462 Z-6.181
3566 L X-3.539 Y-1.325 Z-6.461	3628 L X-.949 Y+2.871 Z-7.642	3689 L X-3.073 Y-.42 Z-6.065
3567 L X-3.544 Y-1.298 Z-6.315	3629 L X-.959 Y+2.842 Z-7.696	3690 L X-3.061 Y-.372 Z-5.952
3568 L X-3.546 Y-1.265 Z-6.17	3630 L X-.971 Y+2.807 Z-7.746	3691 L X-3.045 Y-.318 Z-5.842
3569 L X-3.543 Y-1.226 Z-6.027	3631 L X-.987 Y+2.769 Z-7.793	3692 L X-3.026 Y-.258 Z-5.736
3570 L X-3.537 Y-1.18 Z-5.886	3632 L X-1.023 Y+2.683 Z-7.891	3693 L X-3.003 Y-.193 Z-5.633
3571 L X-3.527 Y-1.129 Z-5.747	3633 L X-1.056 Y+2.6 Z-7.992	3694 L X-2.977 Y-.123 Z-5.535
3572 L X-3.513 Y-1.071 Z-5.611	3634 L X-1.088 Y+2.519 Z-8.096	3695 L X-2.947 Y-.049 Z-5.441
3573 L X-3.496 Y-1.008 Z-5.477	3635 L X-1.089 Y+2.517 Z-8.098	3696 L X-2.914 Y+.031 Z-5.353
3574 L X-3.474 Y-.939 Z-5.348	3636 L X-1.114 Y+2.455 Z-8.175	3697 L X-2.877 Y+.114 Z-5.269
3575 L X-3.449 Y-.865 Z-5.221	3637 L X-1.141 Y+2.391 Z-8.249	3698 L X-2.838 Y+.202 Z-5.191
3576 L X-3.421 Y-.785 Z-5.099	3638 L X-1.17 Y+2.323 Z-8.319	3699 L X-2.796 Y+.293 Z-5.119
3577 L X-3.389 Y-.701 Z-4.981	3639 L X-1.201 Y+2.253 Z-8.386	3700 L X-2.751 Y+.387 Z-5.053
3578 L X-3.353 Y-.612 Z-4.868	3640 L X-1.255 Y+2.13 Z-8.503	3701 L X-2.703 Y+.484 Z-4.994
3579 L X-3.314 Y-.518 Z-4.76	3641 L X-1.307 Y+2.01 Z-8.625	3702 L X-2.653 Y+.584 Z-4.941
3580 L X-3.272 Y-.42 Z-4.657	3642 L X-1.325 Y+1.969 Z-8.665	3703 L X-2.6 Y+.686 Z-4.895
3581 L X-3.227 Y-.317 Z-4.559	3643 L X-1.345 Y+1.926 Z-8.7	3704 L X-2.546 Y+.789 Z-4.856
3582 L X-3.179 Y-.211 Z-4.467	3644 L X-1.367 Y+1.88 Z-8.73	3705 L X-2.49 Y+.895 Z-4.824
3583 L X-3.128 Y-.101 Z-4.381	3645 L X-1.392 Y+1.832 Z-8.755	3706 L X-2.432 Y+1.001 Z-4.8
3584 L X-3.074 Y+.012 Z-4.301	3646 L X-1.418 Y+1.782 Z-8.774	3707 L X-2.373 Y+1.108 Z-4.782
3585 L X-3.017 Y+.128 Z-4.228	3647 L X-1.445 Y+1.731 Z-8.788	3708 L X-2.312 Y+1.215 Z-4.772
3586 L X-2.958 Y+.247 Z-4.161	3648 L X-1.474 Y+1.679 Z-8.796	3709 L X-2.251 Y+1.322 Z-4.77
3587 L X-2.897 Y+.368 Z-4.101	3649 L X-1.56 Y+1.524 Z-8.816	3710 L X-2.205 Y+1.291 Z-5.216
3588 L X-2.833 Y+.491 Z-4.048	3650 L X-1.646 Y+1.369 Z-8.843	3711 L X-2.16 Y+1.26 Z-5.663
3589 L X-2.768 Y+.616 Z-4.001	3651 L X-1.704 Y+1.264 Z-8.86	3712 L X-2.113 Y+1.341 Z-5.668
3590 L X-2.7 Y+.742 Z-3.962	3652 L X-1.764 Y+1.159 Z-8.871	3713 L X-2.065 Y+1.421 Z-5.68
3591 L X-2.631 Y+.87 Z-3.93	3653 L X-1.824 Y+1.053 Z-8.874	3714 L X-2.016 Y+1.499 Z-5.7
3592 L X-2.56 Y+.998 Z-3.906	3654 L X-1.885 Y+.948 Z-8.871	3715 L X-1.969 Y+1.576 Z-5.728

## Katedra technologie obrábění

3717 L X-1.875 Y+1.719 Z-5.805	3779 L X-2.626 Y+.238 Z-6.538	Radek Veselý
3718 L X-1.829 Y+1.786 Z-5.854	3780 L X-2.623 Y+.264 Z-6.451	3837 L X-5.585 Y-4.733 Z-5.911
3719 L X-1.785 Y+1.848 Z-5.909	3781 L X-2.617 Y+.296 Z-6.366	F300.
3720 L X-1.743 Y+1.906 Z-5.97	3782 L X-2.607 Y+.333 Z-6.285	3838 L X-3.61 Y-2.264 Z-9.784
3721 L X-1.703 Y+1.959 Z-6.037	3783 L X-2.594 Y+.376 Z-6.206	3839 L X-3.534 Y-2.168 Z-9.929
3722 L X-1.666 Y+2.007 Z-6.109	3784 L X-2.577 Y+.424 Z-6.131	F297.
3723 L X-1.631 Y+2.048 Z-6.186	3785 L X-2.556 Y+.476 Z-6.061	3840 L X-3.456 Y-2.066 Z-10.068
3724 L X-1.598 Y+2.084 Z-6.267	3786 L X-2.533 Y+.533 Z-5.994	3841 L X-3.375 Y-1.96 Z-10.203
3725 L X-1.569 Y+2.114 Z-6.351	3787 L X-2.506 Y+.595 Z-5.933	3842 L X-3.293 Y-1.849 Z-10.332
3726 L X-1.544 Y+2.137 Z-6.439	3788 L X-2.476 Y+.66 Z-5.878	3843 L X-3.208 Y-1.733 Z-10.456
3727 L X-1.521 Y+2.154 Z-6.529	3789 L X-2.444 Y+.728 Z-5.828	3844 L X-3.161 Y-1.669 Z-10.527
3728 L X-1.502 Y+2.164 Z-6.621	3790 L X-2.409 Y+.799 Z-5.784	3845 L X-3.117 Y-1.61 Z-10.602
3729 L X-1.487 Y+2.167 Z-6.714	3791 L X-2.372 Y+.872 Z-5.747	3846 L X-3.074 Y-1.556 Z-10.682
3730 L Z-6.718	3792 L X-2.333 Y+.948 Z-5.716	3847 L X-3.034 Y-1.507 Z-10.767
3731 L X-1.445 Y+2.164 Z-7.024	3793 L X-2.292 Y+.1025 Z-5.692	3848 L X-3.003 Y-1.471 Z-10.84
3732 L X-1.438 Y+2.161 Z-7.087	3794 L X-2.249 Y+.1103 Z-5.676	3849 L X-2.983 Y-1.449 Z-10.891
3733 L X-1.435 Y+2.151 Z-7.15	3795 L X-2.205 Y+.1181 Z-5.666	3850 L X-2.95 Y-1.415 Z-10.982
3734 L X-1.434 Y+2.136 Z-7.212	3796 L X-2.16 Y+.126 Z-5.663	3851 L X-2.92 Y-1.386 Z-11.076
3735 L X-1.438 Y+2.115 Z-7.273	3797 L X-2.074 Y+.141 Z-5.661	3852 L X-2.893 Y-1.363 Z-11.175
3736 L X-1.445 Y+2.089 Z-7.331	F1000.	3853 L X-2.872 Y-1.348 Z-11.258
3737 L X-1.455 Y+2.058 Z-7.385	3798 L X-1.989 Y+.1559 Z-5.652	3854 L X-2.85 Y-1.336 Z-11.365
3738 L X-1.468 Y+2.023 Z-7.437	3799 L X-1.905 Y+.1708 Z-5.635	3855 L X-2.837 Y-1.327 Z-11.425
3739 L X-1.5 Y+1.941 Z-7.542	3800 L X-1.824 Y+.1855 Z-5.611	3856 L X-2.82 Y-1.312 Z-11.482
3740 L X-1.519 Y+1.895 Z-7.598	3801 L X-1.744 Y+.2002 Z-5.581	3857 L X-2.8 Y-1.29 Z-11.535
3741 L X-1.54 Y+1.846 Z-7.652	3802 L X-1.665 Y+.2146 Z-5.543	3858 L X-2.777 Y-1.263 Z-11.585
3742 L X-1.563 Y+1.794 Z-7.702	3803 L X-1.589 Y+.2289 Z-5.499	3859 L X-2.751 Y-1.229 Z-11.63
3743 L X-1.608 Y+1.693 Z-7.796	3804 L X-1.515 Y+.243 Z-5.449	3860 L X-2.724 Y-1.191 Z-11.669
3744 L X-1.626 Y+1.652 Z-7.832	3805 L X-1.443 Y+.2568 Z-5.392	3861 L X-2.694 Y-1.148 Z-11.701
3745 L X-1.647 Y+1.608 Z-7.864	3806 L X-1.373 Y+.2705 Z-5.329	3862 L X-2.664 Y-1.101 Z-11.727
3746 L X-1.67 Y+1.561 Z-7.891	3807 L X-1.306 Y+.2839 Z-5.26	3863 L X-2.632 Y-1.052 Z-11.745
3747 L X-1.695 Y+1.513 Z-7.913	3808 L X-1.241 Y+.297 Z-5.186	3864 L X-2.601 Y-1. Z-11.756
3748 L X-1.721 Y+1.464 Z-7.929	3809 L X-1.171 Y+.3112 Z-5.096	3865 L X-2.57 Y-.947 Z-11.759
3749 L X-1.748 Y+1.414 Z-7.94	3810 L X-1.118 Y+.3223 Z-5.02	3866 L X-2.54 Y-.894 Z-11.754
3750 L X-1.817 Y+1.289 Z-7.963	3811 L X-1.054 Y+.3358 Z-4.919	3867 L X-2.511 Y-.841 Z-11.742
3751 L X-1.857 Y+1.217 Z-7.975	3812 L X-1.006 Y+.3463 Z-4.834	3868 L X-2.485 Y-.79 Z-11.721
3752 L X-1.898 Y+1.144 Z-7.98	3813 L X-.948 Y+.3591 Z-4.722	3869 L X-2.46 Y-.741 Z-11.694
3753 L X-1.94 Y+1.072	3814 L X-.904 Y+.369 Z-4.628	3870 L X-2.419 Y-.657 Z-11.644
3754 L X-1.982 Y+1. Z-7.975	3815 L X-.852 Y+.3809 Z-4.506	3871 L X-2.375 Y-.571 Z-11.6
3755 L X-2.025 Y+.93 Z-7.963	3816 L X-.814 Y+.3901 Z-4.404	3872 L X-2.33 Y-.483 Z-11.563
3756 L X-2.099 Y+.807 Z-7.94	3817 L X-.777 Y+.399 Z-4.3	3873 L X-2.283 Y-.394 Z-11.533
3757 L X-2.128 Y+.758 Z-7.929	3818 L X-.735 Y+.4096 Z-4.165	3874 L X-2.242 Y-.319 Z-11.514
3758 L X-2.158 Y+.711 Z-7.913	3819 L X-.704 Y+.4177 Z-4.054	3875 L X-2.215 Y-.269 Z-11.504
3759 L X-2.187 Y+.666 Z-7.891	3820 L X-.668 Y+.4274 Z-3.911	3876 L X-2.165 Y-.179 Z-11.491
3760 L X-2.216 Y+.623 Z-7.864	3821 L X-.643 Y+.4347 Z-3.794	3877 L X-2.114 Y-.09 Z-11.485
3761 L X-2.244 Y+.583 Z-7.832	3822 L X-.614 Y+.4434 Z-3.644	3878 L X-2.061 Y+.001 Z-11.486
3762 L X-2.27 Y+.546 Z-7.796	3823 L X-.593 Y+.45 Z-3.521	3879 L X-2.017 Y+.076 Z-11.492
3763 L X-2.335 Y+.456 Z-7.702	3824 L X-.571 Y+.4576 Z-3.366	3880 L X-1.961 Y+.169 Z-11.507
3764 L X-2.369 Y+.411 Z-7.652	3825 L X-.556 Y+.4633 Z-3.239	3881 L X-1.866 Y+.327 Z-11.535
3765 L X-2.401 Y+.368 Z-7.598	3826 L X-.541 Y+.4698 Z-3.078	3882 L X-1.771 Y+.486 Z-11.557
3766 L X-2.432 Y+.328 Z-7.541	3827 L X-.532 Y+.4747 Z-2.947	3883 L X-1.677 Y+.646 Z-11.571
3767 L X-2.434 Y+.326 Z-7.537	3828 L X-.524 Y+.4801 Z-2.782	3884 L X-1.583 Y+.807 Z-11.578
3768 L X-2.483 Y+.264 Z-7.442	3829 L X-.52 Y+.484 Z-2.649	3885 L X-1.49 Y+.968
3769 L X-2.508 Y+.233 Z-7.39	3830 L X-.519 Y+.4884 Z-2.481	3886 L X-1.398 Y+.129 Z-11.571
3770 L X-2.53 Y+.208 Z-7.335	3831 L X-.521 Y+.4914 Z-2.345	3887 L X-1.306 Y+.129 Z-11.557
3771 L X-2.55 Y+.188 Z-7.276	3832 L X-.527 Y+.4946 Z-2.174	3888 L X-1.216 Y+.1453 Z-11.535
3772 L X-2.567 Y+.175 Z-7.215	3833 L X-.534 Y+.4967 Z-2.037	3889 L X-1.127 Y+.1614 Z-11.507
3773 L X-2.58 Y+.167 Z-7.152	3834 L X-.547 Y+.4987 Z-1.866	3890 L X-1.076 Y+.1706 Z-11.492
3774 L X-2.59 Y+.165 Z-7.088	3835 L X-.559 Y+.4999 Z-1.731	3891 L X-1.024 Y+.1798 Z-11.485
3775 L X-2.597 Y+.169 Z-7.024	3836 L X+.85.398 Y-44.629	3892 L X-.971 Y+.1889
3776 L X-2.62 Y+.204 Z-6.719	Z+10.456 FMAX	3893 L X-.918 Y+.1979 Z-11.492
3777 L Z-6.715	; DOKONČENÍ LŮŽKA 3	3894 L X-.874 Y+.2054 Z-11.504
3778 L X-2.625 Y+.218 Z-6.626		3895 L X-.844 Y+.2103 Z-11.514
		3896 L X-.791 Y+.2188 Z-11.538

## Katedra technologie obrábění

3897 L X-.739 Y+2.272 Z-11.568	3954 L X-2.833 Y-1.335 Z-11.485	Radek Veselý
3898 L X-.686 Y+2.354 Z-11.606	3955 L X-2.813 Y-1.314 Z-11.538	4016 L Y+3.182 Z-11.266
3899 L X-.642 Y+2.42 Z-11.642	3956 L X-2.791 Y-1.288 Z-11.588	4017 L X-.253 Y+3.213 Z-11.165
3900 L X-.588 Y+2.501 Z-11.694	3957 L X-2.767 Y-1.257 Z-11.634	4018 L X-.245 Y+3.249 Z-11.067
3901 L X-.558 Y+2.547 Z-11.721	3958 L X-2.74 Y-1.221 Z-11.674	4019 L X-.235 Y+3.292 Z-10.971
3902 L X-.527 Y+2.596 Z-11.742	3959 L X-2.712 Y-1.18 Z-11.709	4020 L X-.223 Y+3.331 Z-10.894
3903 L X-.496 Y+2.647 Z-11.754	3960 L X-2.682 Y-1.136 Z-11.738	4021 L X-.213 Y+3.36 Z-10.843
3904 L X-.465 Y+2.7 Z-11.759	3961 L X-2.651 Y-1.088 Z-11.76	4022 L X-.194 Y+3.414 Z-10.757
3905 L X-.434 Y+2.753 Z-11.756	3962 L X-2.62 Y-1.038 Z-11.775	4023 L X-.172 Y+3.473 Z-10.676
3906 L X-.405 Y+2.806 Z-11.745	3963 L X-2.59 Y-.987 Z-11.783	4024 L X-.146 Y+3.535 Z-10.6
3907 L X-.378 Y+2.857 Z-11.727	3964 L X-2.559 Y-.935 Z-11.784	4025 L X-.122 Y+3.592 Z-10.538
3908 L X-.353 Y+2.907 Z-11.701	3965 L X-2.53 Y-.882 Z-11.777	4026 L X-.094 Y+3.657 Z-10.475
3909 L X-.331 Y+2.954 Z-11.669	3966 L X-2.502 Y-.83 Z-11.763	4027 L X-.035 Y+3.789 Z-10.351
3910 L X-.311 Y+2.997 Z-11.63	3967 L X-2.476 Y-.78 Z-11.743	4028 L X+.02 Y+3.917 Z-10.221
3911 L X-.295 Y+3.036 Z-11.585	3968 L X-2.452 Y-.731 Z-11.715	4029 L X+.072 Y+4.041 Z-10.085
3912 L X-.283 Y+3.07 Z-11.535	3969 L X-2.41 Y-.647 Z-11.665	4030 L X+.121 Y+4.16 Z-9.945
3913 L X-.274 Y+3.098 Z-11.482	3970 L X-2.367 Y-.561 Z-11.622	4031 L X+.167 Y+4.274 Z-9.8
3914 L X-.269 Y+3.12 Z-11.425	3971 L X-2.321 Y-.474 Z-11.585	4032 L X+1.318 Y+7.219 Z-5.926
3915 L X-.268 Y+3.136 Z-11.365	3972 L X-2.274 Y-.384 Z-11.556	F1000.
3916 L X-.269 Y+3.161 Z-11.262	3973 L X-2.233 Y-.309 Z-11.537	4033 CYCL DEF 7.0 DATUM
3917 L X-.266 Y+3.191 Z-11.161	3974 L X-2.206 Y-.259 Z-11.527	SHIFT
3918 L X-.258 Y+3.228 Z-11.062	3975 L X-2.155 Y-.168 Z-11.514	4034 CYCL DEF 7.1 X+0
3919 L X-.248 Y+3.27 Z-10.966	3976 L X-2.105 Y-.08 Z-11.509	4035 CYCL DEF 7.2 Y+0
3920 L X-.236 Y+3.309 Z-10.889	3977 L X-2.053 Y+.009 Z-11.511	4036 CYCL DEF 7.3 Z+0
3921 L X-.227 Y+3.337 Z-10.839	3978 L X-2.009 Y+.083 Z-11.518	4037 L Z+0 R0 FMAX M92
3922 L X-.208 Y+3.391 Z-10.753	3979 L X-1.961 Y+.164 Z-11.531	4038 L Y+0 R0 FMAX M92
3923 L X-.186 Y+3.449 Z-10.671	3980 L X-1.865 Y+.323 Z-11.56	4039 TOOL CALL 5 Z S70
3924 L X-.16 Y+3.513 Z-10.591	3981 L X-1.77 Y+.482 Z-11.582	; VRTANI OTVORU 3,3
3925 L X-.137 Y+3.569 Z-10.529	3982 L X-1.675 Y+.643 Z-11.596	4040 L X+4.014 Y-2.317 Z-16.51
3926 L X-.104 Y+3.645 Z-10.456	3983 L X-1.581 Y+.805 Z-11.603	FMAX M03
3927 L X-.046 Y+3.776 Z-10.332	3984 L X-1.487 Y+.967	4041 L X-1.832 Y+1.057 Z-17.339
3928 L X+.01 Y+3.903 Z-10.203	3985 L X-1.394 Y+1.129 Z-11.596	F1000.
3929 L X+.061 Y+4.026 Z-10.068	3986 L X-1.303 Y+1.292 Z-11.582	4042 L X+4.014 Y-2.317 Z-16.51
3930 L X+.11 Y+4.145 Z-9.929	3987 L X-1.212 Y+1.454 Z-11.56	4043 L X+89.971 Y-51.945 Z-
3931 L X+.155 Y+4.259 Z-9.784	3988 L X-1.123 Y+1.616 Z-11.531	4.323
3932 L X+1.307 Y+7.204 Z-5.911	3989 L X-1.071 Y+1.708 Z-11.517	4044 CYCL DEF 7.0 DATUM
F1000.	3990 L X-1.019 Y+1.8 Z-11.51	SHIFT
3933 L X+9.902 Y+2.241 Z-4.692	3991 L X-.967 Y+1.891	4045 CYCL DEF 7.1 X+0
FMAX	3992 L X-.913 Y+1.981 Z-11.518	4046 CYCL DEF 7.2 Y+0
3934 L X+3.002 Y-9.714 Z-4.708	3993 L X-.869 Y+2.056 Z-11.53	4047 CYCL DEF 7.3 Z+0
FMAX	3994 L X-.839 Y+2.105 Z-11.54	4048 L Z+0 R0 FMAX M92
3935 L X-5.593 Y-4.751 Z-5.926	3995 L X-.786 Y+2.191 Z-11.565	4049 L Y+0 R0 FMAX M92
F300.	3996 L X-.734 Y+2.273 Z-11.596	4050 TOOL CALL 6 Z S8913
3936 L X-3.618 Y-2.282 Z-9.8	3997 L X-.682 Y+2.353 Z-11.633	; HRUBOVANI ZAMKU
3937 L X-3.542 Y-2.185 Z-9.945	3998 L X-.639 Y+2.419 Z-11.67	4051 L X+92.895 Y-53.84 Z-3.942
F297.	3999 L X-.592 Y+2.489 Z-11.715	FMAX M03
3938 L X-3.463 Y-2.083 Z-10.085	4000 L X-.563 Y+2.534 Z-11.743	4052 L X+6.938 Y-4.213 Z-16.129
3939 L X-3.382 Y-1.976 Z-10.221	4001 L X-.532 Y+2.582 Z-11.763	FMAX
3940 L X-3.299 Y-1.864 Z-10.351	4002 L X-.501 Y+2.632 Z-11.777	4053 L X+2.64 Y-1.732 Z-16.738
3941 L X-3.214 Y-1.748 Z-10.475	4003 L X-.47 Y+2.684 Z-11.784	F300.
3942 L X-3.167 Y-1.684 Z-10.546	4004 L X-.44 Y+2.736 Z-11.783	4054 L X+2.158 Y-2.598 Z-16.868
3943 L X-3.123 Y-1.625 Z-10.621	4005 L X-.411 Y+2.789 Z-11.775	4055 L X+2.18 Y-2.576 Z-16.93
3944 L X-3.08 Y-1.571 Z-10.702	4006 L X-.383 Y+2.84 Z-11.76	F356.
3945 L X-3.041 Y-1.523 Z-10.786	4007 L X-.357 Y+2.89 Z-11.738	4056 L X+2.2 Y-2.556 Z-16.993
3946 L X-3.01 Y-1.487 Z-10.86	4008 L X-.334 Y+2.938 Z-11.709	4057 L X+2.219 Y-2.539 Z-17.058
3947 L X-2.99 Y-1.466 Z-10.911	4009 L X-.313 Y+2.983 Z-11.674	4058 L X+2.246 Y-2.515 Z-17.146
3948 L X-2.957 Y-1.431 Z-11.003	4010 L X-.295 Y+3.024 Z-11.634	4059 L X+2.275 Y-2.484 Z-17.231
3949 L X-2.927 Y-1.404 Z-11.097	4011 L X-.28 Y+3.061 Z-11.588	4060 L X+2.308 Y-2.447 Z-17.313
3950 L X-2.901 Y-1.382 Z-11.193	4012 L X-.268 Y+3.093 Z-11.538	4061 L X+2.344 Y-2.404 Z-17.39
3951 L X-2.881 Y-1.368 Z-11.277	4013 L X-.261 Y+3.12 Z-11.485	4062 L X+2.383 Y-2.356 Z-17.463
3952 L X-2.862 Y-1.357 Z-11.37	4014 L X-.256 Y+3.142 Z-11.428	4063 L X+2.423 Y-2.301 Z-17.53
3953 L X-2.849 Y-1.349 Z-11.428	4015 L Y+3.157 Z-11.37	4064 L X+2.466 Y-2.242 Z-17.591
		4065 L X+2.511 Y-2.179 Z-17.647

Katedra technologie obrábění

4066 L X+2.557 Y-2.111 Z-17.695  
 4067 L X+2.604 Y-2.039 Z-17.737  
 4068 L X+2.652 Y-1.964 Z-17.772  
 4069 L X+2.701 Y-1.887 Z-17.799  
 4070 L X+2.75 Y-1.807 Z-17.818  
 4071 L X+2.798 Y-1.726 Z-17.83  
 4072 L X+2.846 Y-1.643 Z-17.834  
 4073 L X+2.894 Y-1.561 Z-17.83  
 4074 L X+2.94 Y-1.478 Z-17.818  
 4075 L X+2.984 Y-1.396 Z-17.799  
 4076 L X+3.027 Y-1.315 Z-17.772  
 4077 L X+3.068 Y-1.236 Z-17.737  
 4078 L X+3.106 Y-1.159 Z-17.695  
 4079 L X+3.142 Y-1.085 Z-17.647  
 4080 L X+3.175 Y-1.015 Z-17.591  
 4081 L X+3.205 Y-.948 Z-17.53  
 4082 L X+3.231 Y-.886 Z-17.463  
 4083 L X+3.254 Y-.828 Z-17.39  
 4084 L X+3.274 Y-.775 Z-17.313  
 4085 L X+3.289 Y-.728 Z-17.231  
 4086 L X+3.301 Y-.687 Z-17.146  
 4087 L X+3.309 Y-.652 Z-17.058  
 4088 L X+3.315 Y-.622 Z-16.98  
 4089 L X+3.324 Y-.588 Z-16.905  
 4090 L X+3.335 Y-.55 Z-16.831  
 4091 L X+3.349 Y-.509 Z-16.761  
 4092 L X+3.366 Y-.464 Z-16.693  
 4093 L X+3.335 Y-.501 Z-16.624  
 4094 L X+3.306 Y-.533 Z-16.554  
 4095 L X+3.279 Y-.562 Z-16.48  
 4096 L X+3.254 Y-.587 Z-16.405  
 4097 L X+3.231 Y-.607 Z-16.327  
 4098 L X+3.204 Y-.632 Z-16.239  
 4099 L X+3.175 Y-.662 Z-16.154  
 4100 L X+3.142 Y-.699 Z-16.072  
 4101 L X+3.106 Y-.742 Z-15.995  
 4102 L X+3.067 Y-.791 Z-15.922  
 4103 L X+3.027 Y-.845 Z-15.855  
 4104 L X+2.984 Y-.904 Z-15.794  
 4105 L X+2.939 Y-.968 Z-15.738  
 4106 L X+2.893 Y-1.036 Z-15.69  
 4107 L X+2.846 Y-1.108 Z-15.648  
 4108 L X+2.798 Y-1.182 Z-15.613  
 4109 L X+2.749 Y-1.26 Z-15.586  
 4110 L X+2.7 Y-1.34 Z-15.567  
 4111 L X+2.652 Y-1.421 Z-15.555  
 4112 L X+2.604 Y-1.503 Z-15.551  
 4113 L X+2.556 Y-1.586 Z-15.555  
 4114 L X+2.51 Y-1.669 Z-15.567  
 4115 L X+2.466 Y-1.751 Z-15.586  
 4116 L X+2.423 Y-1.832 Z-15.613  
 4117 L X+2.382 Y-1.911 Z-15.648  
 4118 L X+2.344 Y-1.987 Z-15.69  
 4119 L X+2.308 Y-2.061 Z-15.738  
 4120 L X+2.275 Y-2.132 Z-15.794  
 4121 L X+2.245 Y-2.199 Z-15.855  
 4122 L X+2.219 Y-2.261 Z-15.922  
 4123 L X+2.196 Y-2.319 Z-15.995  
 4124 L X+2.176 Y-2.371 Z-16.072  
 4125 L X+2.161 Y-2.418 Z-16.154  
 4126 L X+2.149 Y-2.459 Z-16.239  
 4127 L X+2.141 Y-2.494 Z-16.327

Radek Veselý

4128 L X+2.135 Y-2.524 Z-16.405  
 4129 L X+2.126 Y-2.558 Z-16.48  
 4130 L X+2.115 Y-2.596 Z-16.554  
 4131 L X+2.101 Y-2.638 Z-16.624  
 4132 L X+2.084 Y-2.683 Z-16.693  
 4133 L X+2.11 Y-2.652 Z-16.749  
 4134 L X+2.135 Y-2.624 Z-16.808  
 4135 L X+2.158 Y-2.598 Z-16.868  
 4136 L X+2.64 Y-1.732 Z-16.738  
 FMAX  
 4137 L X+2.211 Y-1.484 Z-16.799  
 FMAX  
 4138 L X+1.729 Y-2.351 Z-16.929  
 F300.  
 4139 L X+1.751 Y-2.328 Z-16.991  
 F356.  
 4140 L X+1.771 Y-2.308 Z-17.054  
 4141 L X+1.79 Y-2.292 Z-17.119  
 4142 L X+1.817 Y-2.267 Z-17.207  
 4143 L X+1.847 Y-2.237 Z-17.292  
 4144 L X+1.879 Y-2.2 Z-17.374  
 4145 L X+1.915 Y-2.157 Z-17.451  
 4146 L X+1.954 Y-2.108 Z-17.524  
 4147 L X+1.994 Y-2.054 Z-17.591  
 4148 L X+2.037 Y-1.995 Z-17.652  
 4149 L X+2.082 Y-1.931 Z-17.707  
 4150 L X+2.128 Y-1.863 Z-17.756  
 4151 L X+2.175 Y-1.791 Z-17.798  
 4152 L X+2.223 Y-1.717 Z-17.832  
 4153 L X+2.272 Y-1.639 Z-17.86  
 4154 L X+2.321 Y-1.559 Z-17.879  
 4155 L X+2.369 Y-1.478 Z-17.891  
 4156 L X+2.417 Y-1.396 Z-17.895  
 4157 L X+2.465 Y-1.313 Z-17.891  
 4158 L X+2.511 Y-1.23 Z-17.879  
 4159 L X+2.555 Y-1.148 Z-17.86  
 4160 L X+2.598 Y-1.067 Z-17.832  
 4161 L X+2.639 Y-.988 Z-17.798  
 4162 L X+2.677 Y-.911 Z-17.756  
 4163 L X+2.713 Y-.838 Z-17.707  
 4164 L X+2.746 Y-.767 Z-17.652  
 4165 L X+2.776 Y-.7 Z-17.591  
 4166 L X+2.802 Y-.638 Z-17.524  
 4167 L X+2.825 Y-.58 Z-17.451  
 4168 L X+2.845 Y-.528 Z-17.374  
 4169 L X+2.86 Y-.481 Z-17.292  
 4170 L X+2.872 Y-.44 Z-17.207  
 4171 L X+2.88 Y-.405 Z-17.119  
 4172 L X+2.886 Y-.375 Z-17.041  
 4173 L X+2.895 Y-.341 Z-16.966  
 4174 L X+2.906 Y-.303 Z-16.892  
 4175 L X+2.92 Y-.261 Z-16.821  
 4176 L X+2.937 Y-.216 Z-16.753  
 4177 L X+2.906 Y-.253 Z-16.685  
 4178 L X+2.877 Y-.286 Z-16.614  
 4179 L X+2.85 Y-.315 Z-16.541  
 4180 L X+2.825 Y-.339 Z-16.466  
 4181 L X+2.802 Y-.36 Z-16.388  
 4182 L X+2.776 Y-.384 Z-16.3  
 4183 L X+2.746 Y-.415 Z-16.214  
 4184 L X+2.713 Y-.452 Z-16.133  
 4185 L X+2.677 Y-.495 Z-16.056

## Katedra technologie obrábění

4244 L X+2.169 Y-.82 Z-17.893	4305 L X+1.353 Y-.989 Z-16.921	Radek Veselý
4245 L X+2.21 Y-.741 Z-17.859	FMAX	4364 L X+1.317 Y-.76 Z-15.734
4246 L X+2.248 Y-.664 Z-17.817	4306 L X+.871 Y-1.855 Z-17.05	4365 L X+1.27 Y-.843 Z-15.737
4247 L X+2.284 Y-.59 Z-17.768	F300.	4366 L X+1.224 Y-.926 Z-15.749
4248 L X+2.317 Y-.519 Z-17.713	4307 L X+.893 Y-1.833 Z-17.112	4367 L X+1.179 Y-1.008 Z-15.769
4249 L X+2.347 Y-.453 Z-17.652	F356.	4368 L X+1.136 Y-1.089 Z-15.796
4250 L X+2.373 Y-.39 Z-17.584	4308 L X+.914 Y-1.813 Z-17.176	4369 L X+1.095 Y-1.168 Z-15.83
4251 L X+2.396 Y-.333 Z-17.512	4309 L X+.932 Y-1.796 Z-17.24	4370 L X+1.057 Y-1.245 Z-15.872
4252 L X+2.416 Y-.28 Z-17.435	4310 L X+.959 Y-1.772 Z-17.329	4371 L X+1.021 Y-1.318 Z-15.921
4253 L X+2.431 Y-.233 Z-17.353	4311 L X+.989 Y-1.741 Z-17.414	4372 L X+.988 Y-1.389 Z-15.976
4254 L X+2.443 Y-.192 Z-17.268	4312 L X+1.022 Y-1.704 Z-17.495	4373 L X+.959 Y-1.456 Z-16.037
4255 L X+2.451 Y-.157 Z-17.179	4313 L X+1.057 Y-1.661 Z-17.573	4374 L X+.932 Y-1.518 Z-16.105
4256 L X+2.457 Y-.127 Z-17.102	4314 L X+1.096 Y-1.613 Z-17.645	4375 L X+.909 Y-1.576 Z-16.177
4257 L X+2.466 Y-.093 Z-17.026	4315 L X+1.137 Y-1.559 Z-17.712	4376 L X+.89 Y-1.628 Z-16.254
4258 L X+2.477 Y-.055 Z-16.953	4316 L X+1.179 Y-1.499 Z-17.774	4377 L X+.874 Y-1.675 Z-16.336
4259 L X+2.491 Y-.014 Z-16.882	4317 L X+1.224 Y-1.436 Z-17.829	4378 L X+.862 Y-1.716 Z-16.421
4260 L X+2.508 Y+.031 Z-16.814	4318 L X+1.27 Y-1.368 Z-17.878	4379 L X+.855 Y-1.752 Z-16.51
4261 L X+2.477 Y-.005 Z-16.746	4319 L X+1.317 Y-1.296 Z-17.919	4380 L X+.848 Y-1.781 Z-16.587
4262 L X+2.448 Y-.038 Z-16.675	4320 L X+1.366 Y-1.221 Z-17.954	4381 L X+.839 Y-1.815 Z-16.663
4263 L X+2.421 Y-.067 Z-16.602	4321 L X+1.414 Y-1.144 Z-17.981	4382 L X+.828 Y-1.853 Z-16.736
4264 L X+2.396 Y-.092 Z-16.526	4322 L X+1.463 Y-1.064 Z-18.001	4383 L X+.814 Y-1.895 Z-16.807
4265 L X+2.373 Y-.112 Z-16.449	4323 L X+1.512 Y-.983 Z-18.012	4384 L X+.798 Y-1.94 Z-16.875
4266 L X+2.347 Y-.136 Z-16.36	4324 L X+1.56 Y-.9 Z-18.016	4385 L X+.824 Y-1.909 Z-16.931
4267 L X+2.317 Y-.167 Z-16.275	4325 L X+1.607 Y-.818 Z-18.012	4386 L X+.848 Y-1.881 Z-16.99
4268 L X+2.284 Y-.204 Z-16.194	4326 L X+1.653 Y-.735 Z-18.001	4387 L X+.871 Y-1.855 Z-17.05
4269 L X+2.248 Y-.247 Z-16.116	4327 L X+1.698 Y-.653 Z-17.981	4388 L X+1.353 Y-.989 Z-16.921
4270 L X+2.21 Y-.296 Z-16.044	4328 L X+1.74 Y-.572 Z-17.954	F1000.
4271 L X+2.169 Y-.35 Z-15.977	4329 L X+1.781 Y-.493 Z-17.919	4389 L X+87.31 Y-50.616 Z-4.734
4272 L X+2.126 Y-.409 Z-15.915	4330 L X+1.82 Y-.416 Z-17.878	FMAX
4273 L X+2.081 Y-.473 Z-15.86	4331 L X+1.855 Y-.342 Z-17.829	4390 CYCL DEF 7.0 DATUM
4274 L X+2.035 Y-.541 Z-15.811	4332 L X+1.888 Y-.272 Z-17.774	SHIFT
4275 L X+1.988 Y-.612 Z-15.77	4333 L X+1.918 Y-.205 Z-17.712	4391 CYCL DEF 7.1 X+0
4276 L X+1.94 Y-.687 Z-15.735	4334 L X+1.945 Y-.143 Z-17.645	4392 CYCL DEF 7.2 Y+0
4277 L X+1.891 Y-.765 Z-15.708	4335 L X+1.968 Y-.085 Z-17.573	4393 CYCL DEF 7.3 Z+0
4278 L X+1.843 Y-.844 Z-15.688	4336 L X+1.987 Y-.033 Z-17.495	4394 L Z+0 R0 FMAX M92
4279 L X+1.794 Y-.926 Z-15.677	4337 L X+2.002 Y+.014 Z-17.414	4395 L Y+0 R0 FMAX M92
4280 L X+1.746 Y-1.008 Z-15.673	4338 L X+2.014 Y+.056 Z-17.329	4396 TOOL CALL 7 Z S14854
4281 L X+1.699 Y-1.091 Z-15.677	4339 L X+2.022 Y+.091 Z-17.24	; HRUBOVANI ZAMKU1
4282 L X+1.652 Y-1.173 Z-15.688	4340 L X+2.028 Y+.121 Z-17.163	4397 L X+3.093 Y-1.36 Z-16.666
4283 L X+1.608 Y-1.256 Z-15.708	4341 L X+2.037 Y+.155 Z-17.087	FMAX M03
4284 L X+1.565 Y-1.336 Z-15.735	4342 L X+2.048 Y+.192 Z-17.014	4398 L X+4.093 Y+.372 F300.
4285 L X+1.524 Y-1.415 Z-15.77	4343 L X+2.062 Y+.234 Z-16.943	4399 L X+4.305 Y+.738 F148.
4286 L X+1.486 Y-1.492 Z-15.811	4344 L X+2.079 Y+.279 Z-16.875	4400 L X+4.093 Y+.372
4287 L X+1.45 Y-1.566 Z-15.86	4345 L X+2.048 Y+.242 Z-16.807	4401 L X+3.093 Y-1.36 F1000.
4288 L X+1.417 Y-1.637 Z-15.915	4346 L X+2.019 Y+.21 Z-16.736	4402 L X+2.848 Y-1.219 Z-16.701
4289 L X+1.387 Y-1.703 Z-15.977	4347 L X+1.992 Y+.181 Z-16.663	FMAX
4290 L X+1.361 Y-1.766 Z-16.044	4348 L X+1.967 Y+.156 Z-16.587	4403 L X+3.848 Y+.513 F300.
4291 L X+1.338 Y-1.823 Z-16.116	4349 L X+1.944 Y+.136 Z-16.51	4404 L X+4.059 Y+.879 F148.
4292 L X+1.319 Y-1.876 Z-16.194	4350 L X+1.918 Y+.111 Z-16.421	4405 L X+3.848 Y+.513
4293 L X+1.303 Y-1.923 Z-16.275	4351 L X+1.888 Y+.081 Z-16.336	4406 L X+2.848 Y-1.219 F1000.
4294 L X+1.291 Y-1.964 Z-16.36	4352 L X+1.855 Y+.044 Z-16.254	4407 L X+2.603 Y-1.077 Z-16.736
4295 L X+1.284 Y-1.999 Z-16.449	4353 L X+1.819 Y+.001 Z-16.177	FMAX
4296 L X+1.277 Y-2.029 Z-16.526	4354 L X+1.781 Y-.048 Z-16.105	4408 L X+3.603 Y+.655 F300.
4297 L X+1.268 Y-2.063 Z-16.602	4355 L X+1.74 Y-.102 Z-16.037	4409 L X+3.814 Y+1.021 F148.
4298 L X+1.257 Y-2.101 Z-16.675	4356 L X+1.697 Y-.161 Z-15.976	4410 L X+3.603 Y+.655
4299 L X+1.243 Y-2.142 Z-16.746	4357 L X+1.652 Y-.225 Z-15.921	4411 L X+2.603 Y-1.077 F1000.
4300 L X+1.227 Y-2.188 Z-16.814	4358 L X+1.606 Y-.293 Z-15.872	4412 L X+2.358 Y-.936 Z-16.771
4301 L X+1.252 Y-2.157 Z-16.871	4359 L X+1.559 Y-.365 Z-15.83	FMAX
4302 L X+1.277 Y-2.128 Z-16.929	4360 L X+1.511 Y-.44 Z-15.796	4413 L X+3.358 Y+.796 F300.
4303 L X+1.3 Y-2.103 Z-16.989	4361 L X+1.462 Y-.517 Z-15.769	4414 L X+3.569 Y+1.162 F148.
4304 L X+1.782 Y-1.236 Z-16.86	4362 L X+1.414 Y-.597 Z-15.749	4415 L X+3.358 Y+.796
FMAX	4363 L X+1.365 Y-.678 Z-15.737	4416 L X+2.358 Y-.936 F1000.

Katedra technologie obrábění  
 4417 L X+2.113 Y-.794 Z-16.805  
 FMAX  
 4418 L X+3.113 Y+.938 F300.  
 4419 L X+3.324 Y+1.304 F148.  
 4420 L X+3.113 Y+.938  
 4421 L X+2.113 Y-.794 F1000.  
 4422 L X+1.868 Y-.653 Z-16.84  
 FMAX  
 4423 L X+2.868 Y+1.079 F300.  
 4424 L X+3.079 Y+1.445 F148.  
 4425 L X+2.868 Y+1.079  
 4426 L X+1.868 Y-.653 F1000.  
 4427 L X+1.623 Y-.511 Z-16.875  
 FMAX  
 4428 L X+2.623 Y+1.221 F300.  
 4429 L X+2.834 Y+1.587 F148.  
 4430 L X+2.623 Y+1.221  
 4431 L X+1.623 Y-.511 F1000.  
; HRUBOVANI ZAMKU 2  
 4432 L X+2.725 Y-1.999 Z-16.666  
F300.  
 4433 L X+1.725 Y-3.731  
 4434 L X+1.513 Y-4.097 F148.  
 4435 L X+1.725 Y-3.731  
 4436 L X+2.725 Y-1.999 F1000.  
 4437 L X+2.479 Y-1.857 Z-16.701  
FMAX  
 4438 L X+1.479 Y-3.589 F300.  
 4439 L X+1.268 Y-3.955 F148.  
 4440 L X+1.479 Y-3.589  
 4441 L X+2.479 Y-1.857 F1000.  
 4442 L X+2.234 Y-1.716 Z-16.736  
FMAX  
 4443 L X+1.234 Y-3.448 F300.  
 4444 L X+1.023 Y-3.814 F148.  
 4445 L X+1.234 Y-3.448  
 4446 L X+2.234 Y-1.716 F1000.  
 4447 L X+1.989 Y-1.574 Z-16.771  
FMAX  
 4448 L X+.989 Y-3.306 F300.  
 4449 L X+.778 Y-3.672 F148.  
 4450 L X+.989 Y-3.306  
 4451 L X+1.989 Y-1.574 F1000.  
 4452 L X+1.744 Y-1.433 Z-16.805  
FMAX  
 4453 L X+.744 Y-3.165 F300.  
 4454 L X+.533 Y-3.531 F148.  
 4455 L X+.744 Y-3.165  
 4456 L X+1.744 Y-1.433 F1000.  
 4457 L X+1.499 Y-1.291 Z-16.84  
FMAX  
 4458 L X+.499 Y-3.023 F300.  
 4459 L X+.288 Y-3.389 F148.  
 4460 L X+.499 Y-3.023  
 4461 L X+1.499 Y-1.291 F1000.  
 4462 L X+1.254 Y-1.15 Z-16.875  
FMAX  
 4463 L X+.254 Y-2.882 F300.  
 4464 L X+.043 Y-3.248 F148.  
 4465 L X+.254 Y-2.882  
 4466 L X+1.254 Y-1.15 F1000.  
; DOKONČENÍ ZAMKU

Radek Veselý  
 4467 L X-.074 Y-3.238 Z-16.838  
 F356.  
 4468 L X-.063 Y-3.245 Z-16.937  
 4469 L X+.173 Y-2.835  
 4470 L X+.206 Y-2.779 Z-16.94  
 4471 L X+.245 Y-2.714 Z-16.95  
 4472 L X+.278 Y-2.661 Z-16.964  
 4473 L X+.316 Y-2.601 Z-16.988  
 4474 L X+.353 Y-2.544 Z-17.019  
 4475 L X+.39 Y-2.49 Z-17.056  
 4476 L X+.418 Y-2.449 Z-17.09  
 4477 L X+.451 Y-2.403 Z-17.138  
 4478 L X+.483 Y-2.362 Z-17.191  
 4479 L X+.512 Y-2.326 Z-17.249  
 4480 L X+.538 Y-2.295 Z-17.31  
 4481 L X+.562 Y-2.269 Z-17.377  
 4482 L X+.582 Y-2.251 Z-17.443  
 4483 L X+.615 Y-2.222 Z-17.552  
 4484 L X+.65 Y-2.186 Z-17.659  
 4485 L X+.689 Y-2.144 Z-17.762  
 4486 L X+.731 Y-2.096 Z-17.861  
 4487 L X+.776 Y-2.042 Z-17.955  
 4488 L X+.823 Y-1.982 Z-18.045  
 4489 L X+.873 Y-1.916 Z-18.129  
 4490 L X+.925 Y-1.846 Z-18.208  
 4491 L X+.978 Y-1.771 Z-18.281  
 4492 L X+1.034 Y-1.691 Z-18.348  
 4493 L X+1.091 Y-1.607 Z-18.407  
 4494 L X+1.149 Y-1.519 Z-18.461  
 4495 L X+1.208 Y-1.428 Z-18.506  
 4496 L X+1.268 Y-1.335 Z-18.545  
 4497 L X+1.328 Y-1.238 Z-18.576  
 4498 L X+1.388 Y-1.14 Z-18.6  
 4499 L X+1.448 Y-1.04 Z-18.615  
 4500 L X+1.507 Y-.938 Z-18.623  
 4501 L X+1.566 Y-.836  
 4502 L X+1.624 Y-.734 Z-18.615  
 4503 L X+1.681 Y-.632 Z-18.6  
 4504 L X+1.736 Y-.531 Z-18.576  
 4505 L X+1.79 Y-.431 Z-18.545  
 4506 L X+1.841 Y-.332 Z-18.506  
 4507 L X+1.89 Y-.235 Z-18.461  
 4508 L X+1.937 Y-.141 Z-18.407  
 4509 L X+1.981 Y-.05 Z-18.348  
 4510 L X+2.023 Y+.038 Z-18.281  
 4511 L X+2.061 Y+.122 Z-18.208  
 4512 L X+2.096 Y+.202 Z-18.129  
 4513 L X+2.128 Y+.278 Z-18.045  
 4514 L X+2.156 Y+.349 Z-17.955  
 4515 L X+2.18 Y+.415 Z-17.861  
 4516 L X+2.201 Y+.475 Z-17.762  
 4517 L X+2.218 Y+.53 Z-17.659  
 4518 L X+2.231 Y+.578 Z-17.552  
 4519 L X+2.24 Y+.621 Z-17.443  
 4520 L X+2.246 Y+.645 Z-17.382  
 4521 L X+2.256 Y+.679 Z-17.315  
 4522 L X+2.267 Y+.711 Z-17.261  
 4523 L X+2.283 Y+.754 Z-17.202  
 4524 L X+2.303 Y+.802 Z-17.147  
 4525 L X+2.326 Y+.854 Z-17.098  
 4526 L X+2.346 Y+.898 Z-17.063  
 4527 L X+2.374 Y+.955 Z-17.025

Katedra technologie obrábění  
 4585 L X+.464 Y-.2.182 Z-16.331  
 4586 L X+.459 Y-.2.207 Z-16.392  
 4587 L X+.449 Y-.2.24 Z-16.459  
 4588 L X+.438 Y-.2.273 Z-16.513  
 4589 L X+.422 Y-.2.316 Z-16.572  
 4590 L X+.402 Y-.2.363 Z-16.627  
 4591 L X+.379 Y-.2.415 Z-16.676  
 4592 L X+.358 Y-.2.459 Z-16.711  
 4593 L X+.33 Y-.2.517 Z-16.749  
 4594 L X+.3 Y-.2.577 Z-16.781  
 4595 L X+.268 Y-.2.639 Z-16.806  
 4596 L X+.234 Y-.2.702 Z-16.823  
 4597 L X+.198 Y-.2.767 Z-16.834  
 4598 L X+.163 Y-.2.829 Z-16.838  
 4599 L X-.074 Y-.3.238  
 4600 L X+.426 Y-.2.372 F1000.  
 4601 L X+.86.383 Y-.52. Z-.4.651  
**FMAX**  
 4602 CYCL DEF 7.0 DATUM  
**SHIFT**  
 4603 CYCL DEF 7.1 X+0  
 4604 CYCL DEF 7.2 Y+0  
 4605 CYCL DEF 7.3 Z+0  
 4606 L Z+0 R0 FMAX M92  
 4607 L Y+0 R0 FMAX M92  
 4608 TOOL CALL 9 Z S6923  
 ; SRAŽENÍ 1  
 4609 L X+.095 Y-.055 Z-17.368  
**FMAX M03**  
 4610 L X+.071 Y-.095 Z-17.364  
 F346.  
 4611 L X+.047 Y-.134 Z-17.353  
 4612 L X+.023 Y-.171 Z-17.335  
 4613 L X+.0.0 Y-.204 Z-17.311  
 4614 L X-.021 Y-.233 Z-17.28  
 4615 L X-.04 Y-.257 Z-17.245  
 4616 L X-.056 Y-.276 Z-17.205  
 4617 L X-.07 Y-.289 Z-17.162  
 4618 L X-.08 Y-.296 Z-17.117  
 4619 L X-.087 Z-17.07  
 4620 L X-.09 Y-.29 Z-17.023  
 4621 L X-.089 Y-.278 Z-16.978  
 4622 L X-.085 Y-.26 Z-16.935  
 4623 L X-.077 Y-.236 Z-16.895  
 4624 L X-.066 Y-.207 Z-16.859  
 4625 L X-.051 Y-.174 Z-16.829  
 4626 L X-.033 Y-.138 Z-16.805  
 4627 L X-.014 Y-.099 Z-16.787  
 4628 L X+.008 Y-.059 Z-16.776  
 4629 L X+.031 Y-.018 Z-16.772  
 4630 L X+.055 Y+.022 Z-16.776  
 4631 L X+.079 Y+.061 Z-16.787  
 4632 L X+.103 Y+.098 Z-16.805  
 4633 L X+.126 Y+.131 Z-16.829  
 4634 L X+.147 Y+.16 Z-16.859  
 4635 L X+.166 Y+.185 Z-16.895  
 4636 L X+.182 Y+.203 Z-16.935  
 4637 L X+.196 Y+.216 Z-16.978  
 4638 L X+.206 Y+.223 Z-17.023  
 4639 L X+.213 Z-17.07  
 4640 L X+.216 Y+.217 Z-17.117  
 4641 L X+.215 Y+.205 Z-17.162

Radek Veselý  
 4642 L X+.211 Y+.187 Z-17.205  
 4643 L X+.203 Y+.163 Z-17.245  
 4644 L X+.191 Y+.134 Z-17.28  
 4645 L X+.177 Y+.102 Z-17.311  
 4646 L X+.159 Y+.065 Z-17.335  
 4647 L X+.139 Y+.027 Z-17.353  
 4648 L X+.118 Y-.014 Z-17.364  
 4649 L X+.095 Y-.055 Z-17.368  
 4650 L F1000.  
 4651 L X+.86.052 Y-.49.682 Z-.  
 5.181  
 ; SRAŽENÍ 2  
 4652 L X+.1.654 Y-.4.294 Z-16.942  
 F346.  
 4653 L X+.1.915 Y-.3.841  
 4654 L X+.1.942 Y-.3.795 Z-16.944  
 4655 L X+.1.974 Y-.3.743 Z-16.955  
 4656 L X+.2. Y-.3.7 Z-16.969  
 4657 L X+.2.031 Y-.3.653 Z-16.992  
 4658 L X+.2.061 Y-.3.609 Z-17.022  
 4659 L X+.2.083 Y-.3.577 Z-17.05  
 4660 L X+.2.11 Y-.3.54 Z-17.091  
 4661 L X+.2.134 Y-.3.51 Z-17.135  
 4662 L X+.2.156 Y-.3.484 Z-17.184  
 4663 L X+.2.172 Y-.3.466 Z-17.228  
 4664 L X+.2.188 Y-.3.451 Z-17.279  
 4665 L X+.2.222 Y-.3.421 Z-17.395  
 4666 L X+.2.26 Y-.3.384 Z-17.508  
 4667 L X+.2.3 Y-.3.341 Z-17.617  
 4668 L X+.2.343 Y-.3.291 Z-17.723  
 4669 L X+.2.39 Y-.3.236 Z-17.825  
 4670 L X+.2.439 Y-.3.175 Z-17.922  
 4671 L X+.2.49 Y-.3.109 Z-18.014  
 4672 L X+.2.543 Y-.3.038 Z-18.1  
 4673 L X+.2.599 Y-.2.961 Z-18.181  
 4674 L X+.2.656 Y-.2.88 Z-18.257  
 4675 L X+.2.715 Y-.2.795 Z-18.325  
 4676 L X+.2.776 Y-.2.706 Z-18.388  
 4677 L X+.2.837 Y-.2.613 Z-18.443  
 4678 L X+.2.9 Y-.2.517 Z-18.492  
 4679 L X+.2.963 Y-.2.418 Z-18.534  
 4680 L X+.3.026 Y-.2.316 Z-18.568  
 4681 L X+.3.09 Y-.2.213 Z-18.594  
 4682 L X+.3.153 Y-.2.107 Z-18.614  
 4683 L X+.3.216 Y-.2.001 Z-18.625  
 4684 L X+.3.279 Y-.1.893 Z-18.629  
 4685 L X+.3.341 Y-.1.785 Z-18.625  
 4686 L X+.3.402 Y-.1.677 Z-18.614  
 4687 L X+.3.461 Y-.1.569 Z-18.594  
 4688 L X+.3.519 Y-.1.463 Z-18.568  
 4689 L X+.3.575 Y-.1.357 Z-18.534  
 4690 L X+.3.629 Y-.1.253 Z-18.492  
 4691 L X+.3.681 Y-.1.151 Z-18.443  
 4692 L X+.3.731 Y-.1.051 Z-18.388  
 4693 L X+.3.778 Y-.954 Z-18.325  
 4694 L X+.3.823 Y-.86 Z-18.257  
 4695 L X+.3.864 Y-.77 Z-18.181  
 4696 L X+.3.902 Y-.684 Z-18.1  
 4697 L X+.3.937 Y-.602 Z-18.014  
 4698 L X+.3.969 Y-.524 Z-17.922  
 4699 L X+.3.997 Y-.451 Z-17.825  
 4700 L X+.4.022 Y-.384 Z-17.723

## Katedra technologie obrábění

Radek Veselý

4763 L X+2.857 Y-1.649 Z-14.659  
 4764 L X+2.795 Y-1.757 Z-14.663  
 4765 L X+2.734 Y-1.865 Z-14.674  
 4766 L X+2.675 Y-1.973 Z-14.693  
 4767 L X+2.617 Y-2.08 Z-14.72  
 4768 L X+2.561 Y-2.186 Z-14.754  
 4769 L X+2.507 Y-2.29 Z-14.796  
 4770 L X+2.455 Y-2.392 Z-14.844  
 4771 L X+2.405 Y-2.492 Z-14.9  
 4772 L X+2.358 Y-2.589 Z-14.962  
 4773 L X+2.313 Y-2.682 Z-15.031  
 4774 L X+2.272 Y-2.772 Z-15.106  
 4775 L X+2.234 Y-2.859 Z-15.187  
 4776 L X+2.199 Y-2.941 Z-15.274  
 4777 L X+2.167 Y-3.018 Z-15.366  
 4778 L X+2.139 Y-3.091 Z-15.463  
 4779 L X+2.114 Y-3.159 Z-15.565  
 4780 L X+2.093 Y-3.221 Z-15.67  
 4781 L X+2.076 Y-3.278 Z-15.78  
 4782 L X+2.062 Y-3.329 Z-15.893  
 4783 L X+2.053 Y-3.373 Z-16.009  
 4784 L X+2.048 Y-3.393 Z-16.058  
 4785 L X+2.04 Y-3.422 Z-16.112  
 4786 L X+2.029 Y-3.45 Z-16.154  
 4787 L X+2.014 Y-3.488 Z-16.2  
 4788 L X+1.995 Y-3.53 Z-16.24  
 4789 L X+1.979 Y-3.566 Z-16.268  
 4790 L X+1.955 Y-3.613 Z-16.297  
 4791 L X+1.93 Y-3.662 Z-16.319  
 4792 L X+1.903 Y-3.713 Z-16.335  
 4793 L X+1.88 Y-3.756 Z-16.343  
 4794 L X+1.852 Y-3.804 Z-16.346  
 4795 L X+1.591 Y-4.257  
 4796 L X+1.541 Y-4.344  
 4797 L X+1.528 Y-4.366 Z-16.349  
 4798 L X+1.517 Y-4.388 Z-16.359  
 4799 L X+1.508 Y-4.407 Z-16.375  
 4800 L X+1.503 Y-4.422 Z-16.396  
 4801 L X+1.5 Y-4.432 Z-16.42  
 4802 L X+1.501 Y-4.436 Z-16.445  
 4803 L X+1.543 Y-4.461 Z-16.842  
 4804 L X+1.548 Y-4.459 Z-16.868  
 4805 L X+1.555 Y-4.452 Z-16.892  
 4806 L X+1.566 Y-4.44 Z-16.913  
 4807 L X+1.578 Y-4.423 Z-16.928  
 4808 L X+1.591 Y-4.402 Z-16.938  
 4809 L X+1.604 Y-4.38 Z-16.942  
 4810 L X+1.654 Y-4.294  
 4811 L X+87.611 Y-53.921 Z-  
 4.755 F1000.  
 4812 CYCL DEF 7.0 DATUM  
 SHIFT  
 4813 CYCL DEF 7.1 X+0  
 4814 CYCL DEF 7.2 Y+0  
 4815 CYCL DEF 7.3 Z+0  
 4816 L Z+0 R0 FMAX M92  
 4817 L Y+0 R0 FMAX M92  
 4818 TOOL CALL 11 Z S159  
 ; ZAVIT M4  
 4819 L X+2.212 Y-1.277 Z-16.765  
 FMAX M03